

目 录

| | |
|-----------------------------------|-------|
| 序言 | (1) |
| 第二版序 | (3) |
| 第一部分 习题 | (1) |
| 习题一 复数 | (1) |
| 习题二 解析函数 | (4) |
| 习题三 多值函数 | (10) |
| 习题四 复变积分 | (12) |
| 习题五 无穷级数 | (19) |
| 习题六 奇点、残数 | (26) |
| 习题七 利用残数定理计算定积分 | (30) |
| 习题八 解析延拓、含参数的积分、 Γ 函数和B 函数 | (39) |
| 习题九 拉普拉斯变换 | (45) |
| 习题十 线性常微分方程的级数解法 | (51) |
| 习题十一 数学物理方程和定解条件 | (52) |
| 习题十二 分离变数法 | (54) |
| 习题十三 正交曲线坐标系 | (62) |
| 习题十四 斯特姆-刘维型本征值问题 | (65) |
| 习题十五 球函数 | (70) |
| 习题十六 柱函数 | (77) |
| 习题十七 格临函数 | (86) |
| 习题十八 积分变换 | (90) |
| 习题十九 保角变换 | (92) |
| 习题二十 二阶线性偏微分方程的分类 | (94) |
| 习题二十一 无界空间中的波动方程初值问题 | (98) |
| 习题二十二 变分法 | (101) |

| | |
|---------------------|-------|
| 第二部分 答案 | (104) |
| 第三部分 附录 | (183) |
| 一 拉普拉斯变换表 | (183) |
| 二 傅里叶变换表 | (188) |
| 三 Γ 函数的多项式近似 | (189) |
| 四 柱函数的多项式近似 | (190) |

第一部分 习 题

习题一 复 数

1. 写出下列复数的实部、虚部、模和辐角:

(1) $1 + i\sqrt{3}$; (2) $1 - \cos \alpha + i \sin \alpha$, $0 \leq \alpha < 2\pi$;

(3) $e^{i \sin x}$, x 为实数; (4) e^{iz} ;

(5) e^z ; (6) $\sqrt[4]{-1}$; (7) $\sqrt{1+i}$;

(8) $\sqrt[4]{\frac{1+i}{1-i}}$; (9) e^{1+i} ;

(10) $e^{i\varphi(x)}$, $\varphi(x)$ 是实变数 x 的实函数.

2. 把下列关系用几何图形表示出来:

(1) $|z| < 2$, $|z| = 2$, $|z| > 2$;

(2) $\operatorname{Re} z > \frac{1}{2}$, $1 < \operatorname{Im} z < 2$;

(3) $\arg(1-z) = 0$, $\arg(1+z) = \frac{\pi}{3}$,

$$\arg(z+1-i) = \frac{\pi}{2};$$

(4) $0 < \arg(1-z) < \frac{\pi}{4}$, $0 < \arg(1+z) < \frac{\pi}{4}$,

$$\frac{\pi}{4} < \arg(z-1-2i) < \frac{\pi}{3};$$

(5) $\alpha < \arg z < \beta$ 与 $\gamma < \operatorname{Re} z < \delta$ 的公共区域, α, β, γ 及 δ 均为常数;

(6) $|z-i| < 1, 1 < |z-i| < \sqrt{2}$;

(7) $|z-a| = |z-b|$, a, b 为常数;

(8) $|z-a| + |z-b| = c$, 其中 a, b, c 均为常数, 且 $c > |a-b|$;

(9) $|z| + \operatorname{Re} z < 1$; (10) $0 < \arg \frac{z-i}{z+i} < \frac{\pi}{4}$.

3. 已知一复数 z , 画出 $iz, -z, \bar{z}, \frac{1}{\bar{z}}, \frac{1}{z}$, 并指出它们之间的几何关系.

4. 若 $|z| = 1$, 试证明

$$\left| \frac{az+b}{\bar{b}z+\bar{a}} \right| = 1,$$

a, b 为任意复数.

5. 证明下列各式:

(1) $|z-1| \leq ||z|-1| + |z| |\arg z|$;

(2) 若 $|z_1| = |z_2| = |z_3|$, 则

$$\arg \frac{z_3 - z_2}{z_3 - z_1} = \frac{1}{2} \arg \frac{z_2}{z_1}.$$

6. 用复数 z 表示曲线上的变点.

(1) 试写出经过点 a 且与复数 b 所代表的矢量平行的直线方程;

(2) 写出以 d 和 $-d$ 为焦点、长轴为 $2a$ 的椭圆方程, $a > |d|$.

7. 用复数运算法则推出:
 (1) 平面直角坐标平移公式;
 (2) 平面直角坐标旋转变换公式.
 8. 设复数 z_1, z_2, z_3 满足关系式

$$\frac{z_2 - z_1}{z_3 - z_1} = \frac{z_1 - z_3}{z_2 - z_3},$$

证明: $|z_2 - z_1| = |z_3 - z_2| = |z_1 - z_3|$.

9. (1) 给出 z_1, z_2, z_3 三点共线的充要条件;
 (2) 给出 z_1, z_2, z_3, z_4 四点共圆的充要条件.
 10. 求下列方程的根, 并在复平面上画出它们的位置:
 (1) $z^2 + 1 = 0$; (2) $z^3 + 8 = 0$;
 (3) $z^4 - 1 = 0$; (4) $z^4 + 1 = 0$;
 (5) $z^{2^n} + 1 = 0$, n 为正整数;
 (6) $z^2 + 2z \cos \lambda + 1 = 0$, $0 < \lambda < \pi$.
 11. 设 $z = p + iq$ 是实系数方程

$$a_0 + a_1 z + a_2 z^2 + \cdots + a_n z^n = 0$$

的根, 证明 $\bar{z} = p - iq$ 也必定是此方程的根.

12. 证明: $\sin^4 \varphi = \frac{1}{8}(\cos 4\varphi - 4\cos 2\varphi + 3)$.

13. 把 $\sin n\varphi$ 和 $\cos n\varphi$ 用 $\sin \varphi$ 和 $\cos \varphi$ 表示出来.

14. 将下列和式表示成有限形式:

- (1) $\cos \varphi + \cos 2\varphi + \cos 3\varphi + \cdots + \cos n\varphi$;
 (2) $\sin \varphi + \sin 2\varphi + \sin 3\varphi + \cdots + \sin n\varphi$.

15. 证明:

$$\sin \frac{\pi}{n} \cdot \sin \frac{2\pi}{n} \cdot \cdots \cdot \sin \frac{(n-1)\pi}{n} = \frac{n}{2^{n-1}}.$$

16. 求下列序列 $\{a_n\}$ 的聚点和极限, 如果是实数序列,

则同时求出上极限和下极限:

$$(1) a_n = (-)^n \frac{n}{2n+1}; \quad (2) a_n = (-)^n \frac{1}{2n+1},$$

$$(3) a_n = n + (-)^n (2n+1)i;$$

$$(4) a_n = 2n+1 + (-)^n ni;$$

$$(5) a_n = \left(1 + \frac{i}{n}\right) \sin \frac{n\pi}{6}; \quad (6) a_n = \left(1 + \frac{1}{2n}\right) \cos \frac{n\pi}{3}.$$

17. 证明序列 $\{a_n\}$

$$a_n = 1 + \frac{1}{2} + \frac{1}{3} + \cdots + \frac{1}{n} - \ln n$$

的极限 $\lim_{n \rightarrow \infty} a_n$ 存在.

提示: 证明 $\{a_n\}$ 是单调有界序列.

18. 证明拉格朗日恒等式

$$\begin{aligned} \left| \sum_{k=1}^n z_k w_k \right|^2 &= \left(\sum_{k=1}^n |z_k|^2 \right) \left(\sum_{k=1}^n |w_k|^2 \right) \\ &\quad - \sum_{k < j=1}^n |z_k \bar{w}_j - z_j \bar{w}_k|^2. \end{aligned}$$

19. 试证明: 从条件

$$\lim_{n \rightarrow \infty} z_n = A$$

可以导出

$$\lim_{n \rightarrow \infty} \frac{z_1 + z_2 + \cdots + z_n}{n} = A.$$

又当 $A = \infty$ 时, 上述结论还正确吗?

习题二 解析函数

20. 设 $z = x + iy$, $z_0 = x_0 + iy_0$, $c = a + ib$, 并且已知 $f(z) = u(x, y) + iv(x, y)$, 证明

$$\lim_{z \rightarrow z_0} f(z) = v$$

与

$$\lim_{\substack{x \rightarrow x_0 \\ y \rightarrow y_0}} u(x, y) = a, \quad \lim_{\substack{x \rightarrow x_0 \\ y \rightarrow y_0}} v(x, y) = b$$

彼此等价。

21. 证明: $f(z) = \frac{1}{1-z^2}$ 在单位圆 $|z| < 1$ 内连续但不一致连续。

22. 证明下列函数在 $z=0$ 点连续:

$$(1) f(z) = \begin{cases} \frac{[\operatorname{Re}(z^2)]^2}{z^2}, & z \neq 0, \\ 0, & z = 0; \end{cases}$$

$$(2) f(z) = |z|.$$

23. 判断下列函数在何处可导(并求出其导数)、在何处解析:

$$(1) |z|; \quad (2) \bar{z};$$

$$(3) z^m, \quad m = 0, 1, 2, \dots;$$

$$(4) e^z; \quad (5) (x^2 + 2y) + i(x^2 + y^2);$$

$$(6) (x-y)^2 + 2i(x+y);$$

$$(7) z \operatorname{Re} z; \quad (8) 1/z;$$

$$(9) \cos z; \quad (10) \operatorname{sh} z.$$

24. 试证明极坐标下的柯西-黎曼条件:

$$\frac{\partial u}{\partial r} = \frac{1}{r} \frac{\partial v}{\partial \varphi}, \quad \frac{\partial v}{\partial r} = -\frac{1}{r} \frac{\partial u}{\partial \varphi}.$$

25. 证明: 若函数 $f(z)$ 的偏导数在 $z = z_0$ 点连续, 且满足柯西-黎曼方程, 则 $f(z)$ 在 $z = z_0$ 点可导。

26. 设

$$f(z) = \begin{cases} \frac{z^2}{|z|^4}, & z \neq 0, \\ 0, & z = 0. \end{cases}$$

(1) 证明: 当 $z \rightarrow 0$ 时, $\frac{f(z)}{z}$ 的极限不存在;

(2) 若 $u = \operatorname{Re} f(z)$, $v = \operatorname{Im} f(z)$, 证明: $u(x, 0) = x$, $v(0, y) = y$, $u(0, y) = v(x, 0) = 0$;

(3) 证明: u, v 的偏导数存在, 且柯西-黎曼方程成立. 但(1)中已证明 $f'(0)$ 并不存在, 这个结论和第25题矛盾吗?

27. 试利用极坐标形式下的柯西-黎曼方程(第24题), 证明:

$$f'(z) = \frac{r}{z} \left(\frac{\partial u}{\partial r} + i \frac{\partial v}{\partial r} \right) = \frac{1}{z} \left(\frac{\partial v}{\partial \varphi} - i \frac{\partial u}{\partial \varphi} \right).$$

28. 设 $\rho = \rho(x, y)$ 及 $\varphi = \varphi(x, y)$ 是实变量 x, y 的实函数. 若 $f(z) = \rho(\cos \varphi + i \sin \varphi)$ 是 $z = x + iy$ 的解析函数, 证明:

$$\frac{\partial \rho}{\partial x} = \rho \frac{\partial \varphi}{\partial y}, \quad \frac{\partial \rho}{\partial y} = -\rho \frac{\partial \varphi}{\partial x}.$$

29. 设 $\rho = \rho(r, \theta)$ 及 $\varphi = \varphi(r, \theta)$ 是实变数 r, θ 的实函数. 若 $w = f(z)$ 解析, 其中 $w = \rho(\cos \varphi + i \sin \varphi)$, $z = r(\cos \theta + i \sin \theta)$, 试证:

$$\frac{\partial \rho}{\partial r} = \frac{\rho}{r} \frac{\partial \varphi}{\partial \theta}, \quad \frac{\partial \rho}{\partial \theta} = -r \rho \frac{\partial \varphi}{\partial r}.$$

30. 若函数 $f(z) = u + iv$ 在 G 内解析, 且 $f(z) \equiv$ 常数,

试讨论下列函数是否也是 G 内的解析函数:

(1) $u - iv$; (2) $-u - iv$;

(3) $-v + iu$; (4) $v + iu$.

31. 设 $z = x + iy$, 已知解析函数 $f(z) = u(x, y) + iv(x, y)$ 的实部或虚部如下, 试求其导数 $f'(z)$:

(1) $u = e^{-y} \cos x$; (2) $u = \operatorname{ch} x \cos y$;

(3) $v = \sin x \operatorname{sh} y$; (4) $v = \frac{x}{x^2 + y^2}$;

(5) $u = \ln(x^2 + y^2)$; (6) $v = x^3 + 6x^2y - 3xy^2 - 2y^3$.

32. 试根据下列条件确定解析函数 $f(z) = u + iv$:

(1) $u = x + y$; (2) $u = \sin x \operatorname{ch} y$;

(3) $v = \frac{x}{x^2 + y^2}$; (4) $v = \operatorname{tg}^{-1} \frac{y}{x}$.

33. 若 $f(z) = u(x, y) + iv(x, y)$ 解析, 且 $u(x, y) - v(x, y) = (x - y)(x^2 + 4xy + y^2)$, 试求 $f(z)$.

34. 若 $u(x, y)$ 具有连续三阶偏导数, 且 $\frac{\partial^2 u}{\partial x^2} + \frac{\partial^2 u}{\partial y^2} = 0$,

证明函数 $\frac{\partial u}{\partial x} - i \frac{\partial u}{\partial y}$ 解析.

35. 如果 $u(x, y)$ 和 $v(x, y)$ 都是调和函数, 试讨论下列函数是否也是调和函数:

(1) $u(v(x, y), 0)$; (2) $u(0, v(x, y))$;

(3) $u(x, y)v(x, y)$; (4) $u(x, y) + v(x, y)$.

36. 假设函数 $f(z)$ 在区域 G 内的任何一点 z 都可满足 $f'(z) = 0$, 证明 $f(z)$ 在 G 内为常数.

37. 若 $f(z)$ 在区域 G 内解析, 且 $\operatorname{Im} f(z) = 0$, 证明 $f(z)$ 为常数.

38. 若 $f(z) = u(x, y) + iv(x, y)$ 在区域 G 内解析, 且 $au(x, y) + bv(x, y) = c$, a, b, c 是不为 0 的实常数, 证明 $f(z)$ 为常数.

如果 a, b, c 是不为 0 的复常数, 这个结论还成立吗?

39. 若 $f(z), g(z)$ 在 $z = a$ 点解析, 且 $f(a) = g(a) = 0$, 而 $g'(a) \neq 0$, 试证:

$$\lim_{z \rightarrow a} \frac{f(z)}{g(z)} = \frac{f'(a)}{g'(a)}.$$

40. 设点 z 沿着从原点出发的射线运动, 其模无限增大, 试讨论函数 e^z 的变化趋势.

41. 试证明下列公式(z 是任意复数):

$$(1) \sin(z_1 \pm z_2) = \sin z_1 \cos z_2 \pm \cos z_1 \sin z_2;$$

$$(2) \cos(z_1 \pm z_2) = \cos z_1 \cos z_2 \mp \sin z_1 \sin z_2;$$

$$(3) \operatorname{sh} z = -i \sin iz;$$

$$(4) \operatorname{ch} z = \cos iz;$$

$$(5) \cos^{-1} z = -i \ln(z + \sqrt{z^2 - 1});$$

$$(6) \operatorname{tg}^{-1} z = \frac{1}{2i} \ln \frac{1+iz}{1-iz};$$

$$(7) \operatorname{ch}^2 z - \operatorname{sh}^2 z = 1;$$

$$(8) 1 - \operatorname{th}^2 z = \operatorname{sech}^2 z.$$

42. 证明下列公式(z 是任意复数):

$$(1) \frac{d}{dz} \operatorname{sh} z = \operatorname{ch} z; \quad (2) \frac{d}{dz} \operatorname{ch} z = \operatorname{sh} z;$$

$$(3) \frac{d}{dz} \operatorname{th} z = \operatorname{sech}^2 z; \quad (4) \frac{d}{dz} \operatorname{cth} z = -\operatorname{csch}^2 z.$$

43. 证明下列不等式(x, y 是实数):

$$(1) |\operatorname{sh} y| \leq |\sin(x + iy)| \leq \operatorname{ch} y;$$

$$(2) |\operatorname{sh} y| \leq |\cos(x + iy)| \leq \operatorname{ch} y.$$

44. 解下列方程:

(1) $\operatorname{sh} z = 0$;

(2) $2\operatorname{ch}^2 z - 3\operatorname{ch} z + 1 = 0$;

(3) $\sin^2 z - \frac{5}{2}\sin z + 1 = 0$;

(4) $\operatorname{tg} z = i$.

45. 求出下列函数值:

(1) e^{2+i} ;

(2) $\sin i$;

(3) $\cos(5-i)$;

(4) $\ln(-1)$.

46. 扇形区域 $0 < \arg z < \frac{\pi}{3}$ 经变换 $w = z^3$ 后变成什么区域?

47. 试证: 圆 $A(x^2 + y^2) + Bx + Cy + D = 0$ 经变换 $w = \frac{1}{z}$ 后仍为圆, 并讨论 $A = 0$ 及 $D = 0$ 的情形.

48. $w = e^z$ 把实轴上线段 $0 \leq x < 2\pi$ 变为什么图形?

49. 双纽线 $r^2 = 2a^2 \cos 2\theta$ 经变换 $w = z^2$ 后变为什么图形? a 是已知常数.

50. 证明: $w = -i \frac{z-1}{z+1} = -i + i \frac{2}{z+1}$ 将直线 $y = ax$ 变为圆.

51. 证明: 在变换 $w = \frac{1}{2} \left(z - \frac{1}{z} \right)$ 下, z 平面上以原点为圆心、 e^β ($\beta > 0$) 为半径的圆变为 w 平面上的椭圆, 其焦点为 $\pm i$, 长、短半轴分别为 $\operatorname{ch} \beta$ 及 $\operatorname{sh} \beta$.

52. 设 $w = u(x, y) + iv(x, y)$ 解析, 且 $\frac{dw}{dz} \neq 0$, 试证明

曲线族

$$u(x, y) = C_1, \quad v(x, y) = C_2$$

(C_1, C_2 为任意常数) 互相正交.

习题三 多值函数

53. 判断下列函数是单值的还是多值的:

(1) $z + \sqrt{z-1}$; (2) $\frac{1}{1 + \ln z}$,

(3) $\sqrt{\cos z}$; (4) $\ln \sin z$;

(5) $\frac{\cos \sqrt{z}}{\sqrt{z}}$; (6) $\frac{\sin \sqrt{z}}{\sqrt{z}}$.

54. 找出下列函数的枝点, 并讨论 z 绕各个枝点移动一周回到原处后函数值的变化. 若同时绕两个、三个枝点, 又会出现怎样的情况?

(1) $\sqrt{1-z^3}$; (2) $z + \sqrt{z^2-1}$;

(3) $\sqrt{\frac{z-a}{z-b}}$, a, b 为已知复数;

(4) $\frac{1}{1 + \ln z}$; (5) $\frac{\cos \sqrt{z}}{\sqrt{z}}$;

(6) $\sqrt[3]{z^2-4}$; (7) $\sqrt[3]{z^2(z+1)}$;

(8) $\ln(z^2+1)$.

55. 函数 $w = z + \sqrt{z-1}$, 规定 $w(2) = 1$, 试分别求当 z 沿着图中的 C_1 和 C_2 连续变化时 $w(-3)$ 之值.

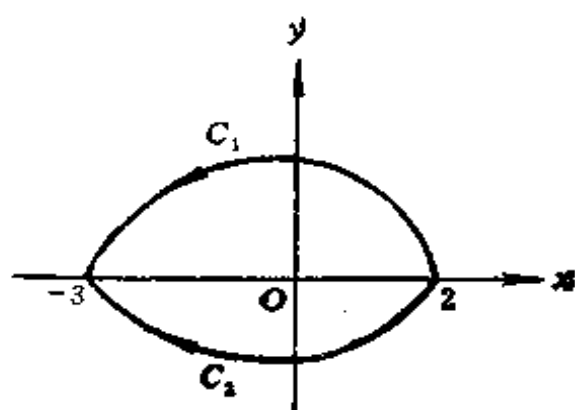


图 1

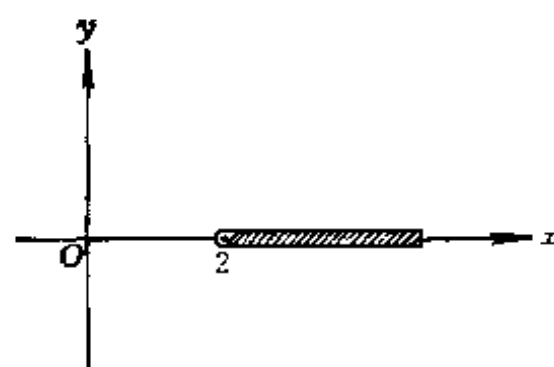


图 2

56. 规定函数 $w = z\sqrt{z-2}$ 在图2中割线上岸的辐角为0, 试求该函数在割线下岸 $z=3$ 处的数值。又问, 这个函数有几个单值分枝? 求出在其它分枝中割线下岸 $z=3$ 处的函数值。

57. 函数 $w = \sqrt{(z-a)(z-b)}$ 的割线有多少种可能的作法? 试在两种不同作法下讨论单值分枝的规定。设 a, b 为实数, 且 $a \neq b$ 。

58. 规定函数 $w = \sqrt{z^2 - 2z + 2}$ 在 $z=0$ 时 $w = \sqrt{2}$, 求当 z 由原点出发沿圆 $|z - (1+i)| = \sqrt{2}$ 逆时针方向通过 x 轴时的函数值。又当 z 回到原点时, 函数之值如何?

59. 函数 $w = \ln(1-z^2)$, 规定 $z=0$ 时 $w=0$, 试讨论当 z 沿图3(a)和(b)中变化时, $z=3$ 处 w 之值。

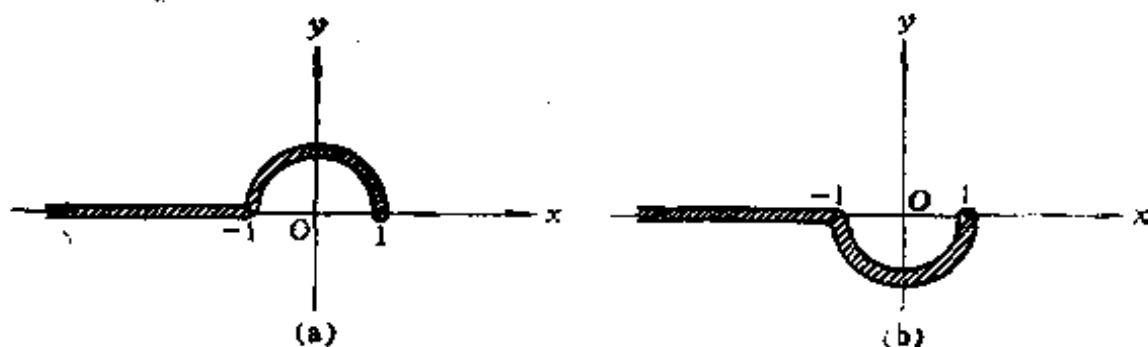
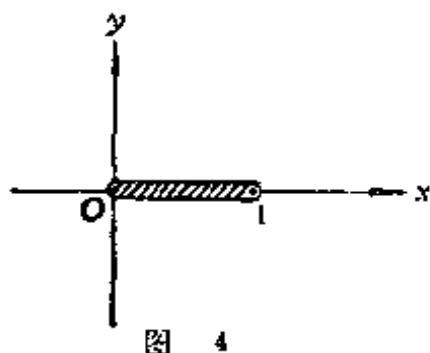


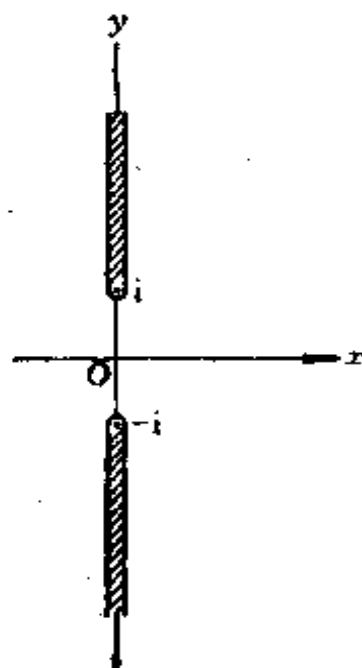
图 3

60. 问函数 $w = \sqrt[4]{z(1-z)^3}$ 在割线上岸的函数值与下岸的函数值有何不同? 割线作法见图 4.



61. 规定 $0 \leq \arg z < 2\pi$, 求 $w = \sqrt{z}$ 在 $z = i$ 处的导数值.

62. 规定 $z = 0$ 处 $\operatorname{tg}^{-1} z = \pi$, 求在 $z = 2$ 处的导数值. 割线作法见图 5.



63. 证明: 如果函数 $f(z)$ 在区域 G 内解析, 而其模为一常数, 则函数 $f(z)$ 本身也必为一常数.

图 5

64. 设 $f(z) = \frac{z^{1-p}(1-z)^p}{2z}$, $-1 < p < 2$. 在实轴上沿 0 到 1 作割线, 规定沿割线上岸 $\arg z = \arg(1-z) = 0$, 求 $f(i)$.

习题四 复变积分

65. 试按给定的路径计算下列积分:

(1) $\int_{-1}^1 \frac{dz}{z},$

(i) 沿路径 $C_1: |z| = 1$ 的上半圆周,

(ii) 沿路径 C_2 : $|z| = 1$ 的下半圆周;

(2) $\int_0^{2+i} \operatorname{Re} z dz,$

(i) 沿路径 C_1 : 直线段 $[0, 2]$ 和 $[2, 2+i]$ 组成的折线,

(ii) 沿路径 C_2 : 直线段 $z = (2+i)t, 0 \leq t \leq 1.$

66. 计算下列积分:

(1) $\int_{|z|=1} \frac{dz}{z};$

(2) $\int_{|z|=1} \frac{dz}{|z|};$

(3) $\int_{|z|=1} \frac{|dz|}{z};$

(4) $\int_{|z|=1} \left| \frac{dz}{z} \right|.$

67. 考虑两简单闭合曲线 C_1, C_2 , 彼此相交于 A, B 两点. 设 C_1 与 C_2 所包围的内部区域分别为 G_1 与 G_2 , 其公共区域为 g . 若 $f(z)$ 在曲线 C_1 及 C_2 上解析, 且在区域 $G_1 - g$ 及 $G_2 - g$ 内解析, 试证明:

$$\oint_{C_1} f(z) dz = \oint_{C_2} f(z) dz.$$

68. 对于任一解析函数的实部或虚部, 柯西定理仍成立吗? 如果成立, 试证明之; 如果不成立, 试说明理由, 并举一例.

69. 证明:

$$\oint_C \frac{dz}{z} = 4\pi i,$$

其中积分路径 C 为闭合曲线 $r = 2 - \sin^2 \frac{\theta}{4}$. 这个结果和围绕原点一周 $\oint \frac{dz}{z} = 2\pi i$ 的结论矛盾吗? 为什么?

70. 计算积分 $\int_{|z|=3} \frac{2z^2 - 15z + 30}{z^3 - 10z^2 + 32z - 32} dz$.

71. 计算下列积分:

(1) $\oint_C \frac{\sin \frac{\pi z}{4}}{z^2 - 1} dz$, C 分别为:

(i) $|z| = \frac{1}{2}$, (ii) $|z - 1| = 1$, (iii) $|z| = 3$;

(2) $\oint_C \frac{e^{iz}}{z^2 + 1} dz$, C 分别为:

(i) $|z - i| = 1$, (ii) $|z| = 2$,

(iii) $|z + i| + |z - i| = 2\sqrt{2}$.

72. 计算下列积分:

(1) $\oint_{|z|=2} \frac{\cos z}{z} dz$; (2) $\oint_{|z|=2} \frac{\sin z}{z^2} dz$;

(3) $\oint_{|z|=2} \frac{z^2}{z-1} dz$; (4) $\oint_{|z|=2} \frac{z^2 - 1}{z^2 + 1} dz$;

(5) $\oint_{|z|=2} \frac{dz}{z^2}$; (6) $\oint_{|z|=2} \frac{dz}{z^2 + z + 1}$;

(7) $\oint_{|z|=2} \frac{dz}{z^2 - 8}$; (8) $\oint_{|z|=2} \frac{dz}{z^2 - 2z + 3}$;

(9) $\oint_{|z|=2} \frac{|z| e^z}{z^2} dz$; (10) $\oint_{|z|=2} \frac{dz}{z^2(z^2 + 16)}$.

73. (1) 计算积分 $\oint_{|z|=1} \frac{e^z}{z^3} dz$;

(2) 对于什么样的 a 值, 函数

$$F(z) = \int_{z_0}^z e^z \left(\frac{1}{z} + \frac{a}{z^3} \right) dz$$

是单值的?

74. 证明: 在挖去 $z=0$ 点的全平面上不存在一个解析函数 $f(z)$, 使满足 $f'(z) = \frac{1}{z}$. 这个结论和 $\frac{d}{dz} \ln z = \frac{1}{z}$ 矛盾吗?

75. 设 G 为单连通区域, C 是它的边界, z_1, z_2, \dots, z_n 是 G 内的 n 个不同的点, 且 $P(z) = (z - z_1)(z - z_2) \cdots (z - z_n)$, $f(z)$ 在 \bar{G} 中解析, 试证明

$$Q(z) = \frac{1}{2\pi i} \oint_C \frac{f(\zeta)}{P(\zeta)} \cdot \frac{P(\zeta) - P(z)}{\zeta - z} d\zeta$$

是一个 $n-1$ 次多项式, 且

$$Q(z_k) = f(z_k), \quad k = 1, 2, \dots, n.$$

如果 G 是复连通区域, 上述结果还正确吗?

76. 设 $f(z)$ 在一个包含圆 $|z| \leq R$ 的区域中解析, 并且 $\zeta = re^{i\theta}$ 为圆内一点, $0 \leq r < R$, 证明圆内的泊松公式:

$$f(\zeta) = \frac{1}{2\pi} \int_0^{2\pi} \frac{R^2 - r^2}{R^2 - 2Rr \cos(\theta - \varphi) + r^2} f(Re^{i\varphi}) d\varphi.$$

77. 若 $f(z)$ 在区域 G 内单值连续, 且沿 G 内任一闭合路径 C 均有 $\oint_C f(z) dz = 0$, 试证 $f(z)$ 在 G 内解析 (这是柯西定理的逆定理, 称为摩列拉定理).

78. 考虑函数 $f(z) = \frac{1}{z^2}$.

(1) 它对于所有不通过原点的闭合围道 C , 都有积分

$\oint_C f(z)dz = 0$, 但 $f(z)$ 在 $z=0$ 点不解析, 这个情况和摩列拉定理 (见上题) 矛盾吗?

(2) 当 $z \rightarrow \infty$ 时, 此函数有界, 但并不是一个常数. 这和刘维定理矛盾吗?

79. 设 G 为单连通区域, 其边界为简单闭合曲线 C . 若函数 $f(z)$ 在 $\bar{G} = G + C$ 中解析, 且在 C 上, $f(z) = 0$. 证明: 在区域 G 内恒有 $f(z) = 0$.

80. 试计算积分 $\int_C \frac{dz}{z}$, 积分路径 C 为

(1) 没有割线的 z 平面上, 由 $-i$ 到 i 的各种可能路径;

(2) 沿负实轴割开的 z 平面上, 由 $-i$ 到 i 的各种可能路径.

81. 证明:

$$\oint_C \frac{dz}{(z-a)^n} = \begin{cases} 2\pi i, & n=1, \\ 0, & n \neq 1, \end{cases}$$

其中 C 为包围 a 点的任一简单闭合圈道, n 为整数.

82. 计算积分 $\int_C \frac{dz}{\sqrt{z}}$. 规定 $z=1$ 时, $\sqrt{z}=1$, 沿路径:

(1) 单位圆的上半周, (2) 单位圆的下半周.

83. 设 $f(z)$ 在区域 G 内解析, C 为 G 内的任一简单闭合曲线, 证明对于 G 内、但不在 C 上的任意一点 z ,

$$\oint_C \frac{f'(\zeta)}{\zeta-z} d\zeta = \oint_C \frac{f(\zeta)}{(\zeta-z)^2} d\zeta.$$

84. 设 $\psi(t, x) = (1 - 2xt + t^2)^{-\frac{1}{2}}$, t 是复变数, 试证:

$$\left. \frac{\partial^n \psi(t, x)}{\partial t^n} \right|_{t=0} = \frac{1}{2^n} \frac{d^n}{dx^n} (x^2 - 1)^n.$$

提示：利用高阶微商公式，将左方表示成围道积分，而后作变换 $(1 - 2xt + t^2)^{\frac{1}{2}} = 1 - ut$ ，即 $t = \frac{2(u-x)}{u^2-1}$ 。

85. 设 $\psi(t, x) = e^{2tx - t^2}$ ， t 是复变数，试证：

$$\left. \frac{\partial^n \psi(t, x)}{\partial t^n} \right|_{t=0} = (-1)^n e^{x^2} \frac{d^n}{dx^n} e^{-x^2}.$$

提示：在阶微商公式中作变换 $u = x - t$ 。

86. $f(z)$ 在 a 点的邻域内解析，当 $\theta_1 \leq \arg(z-a) \leq \theta_2$ ， $z \rightarrow a$ 时， $(z-a)f(z)$ 一致地趋近于 k ，试证：

$$\lim_{\delta \rightarrow 0} \int_{C_\delta} f(z) dz = ik(\theta_2 - \theta_1),$$

其中 C_δ 是以 a 为心、以 δ 为半径的圆弧（逆时针方向），并且 $|z-a| = \delta$ ， $\theta_1 \leq \arg(z-a) \leq \theta_2$ （见图 6）。

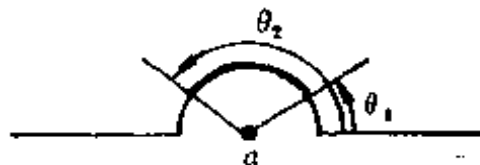


图 6

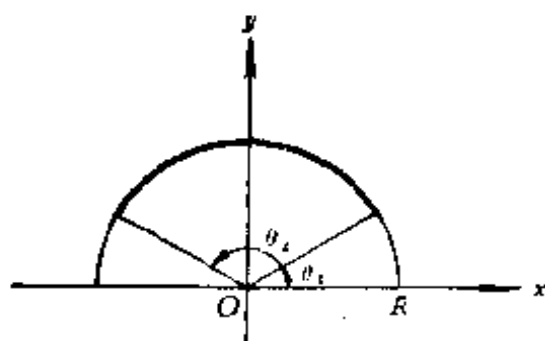


图 7

87. 设 $f(z)$ 在 ∞ 点的邻域内解析，当 $\theta_1 \leq \arg z \leq \theta_2$ ， $z \rightarrow \infty$ 时， $zf(z)$ 一致地趋近于 K ，试证：

$$\lim_{R \rightarrow \infty} \int_{C_R} f(z) dz = iK(\theta_2 - \theta_1),$$

其中 C_R 是以原点为心、 R 为半径的圆弧（逆时针方向），并且 $|z| = R$, $\theta_1 \leq \arg z \leq \theta_2$ （见图 7）。

88. 试证明等式

$$\frac{1}{2\pi i} \oint_{|z|=1} \frac{e^z}{z} dz = \frac{1}{\pi} \int_0^\pi e^{\cos \theta} \cos(\sin \theta) d\theta.$$

从而计算出积分

$$\int_0^\pi e^{\cos \theta} \cos(\sin \theta) d\theta.$$

89. 假设 $f(z)$ 在全平面解析，且 $\lim_{z \rightarrow \infty} \frac{f(z)}{z} = 0$ ，证明 $f(z)$ 必为常数。

90. 假设 $f(z)$ 在全平面解析，且 $|f(z)| \geq 1$ ，证明 $f(z)$ 为常数。

91. 求 $|\sin z|$ 在闭区域 $0 \leq \operatorname{Re} z \leq 2\pi$, $0 \leq \operatorname{Im} z \leq 2\pi$ 中的最大值。

92. 如果函数 $f(z)$ 在 G 内解析，且 z_0 为 G 内一点，有 $f'(z_0) \neq 0$ ，试证明

$$\frac{2\pi i}{f'(z_0)} = \oint_C \frac{dz}{f(z) - f(z_0)},$$

其中 C 是以 z_0 为圆心的一个足够小的圆。

93. 设函数 $f(z)$ 、 $g(z)$ 及 $g(z)$ 的反函数均在 G 内单值解析，且 $g'(z)$ 恒不为 0，试计算积分

$$\frac{1}{2\pi i} \oint_C \frac{f(\zeta)}{g(\zeta) - g(z)} d\zeta,$$

其中 C 是 G 内的简单闭合曲线, z 不在 C 上.

习题五 无穷级数

94. 设 $\sum_{n=1}^{\infty} a_n$ 与 $\sum_{n=1}^{\infty} b_n$ 皆为正项级数, 试举反例, 说明

下列各种说法不正确:

(1) 若 $\lim_{n \rightarrow \infty} n a_n = 0$, 则 $\sum_{n=1}^{\infty} a_n$ 收敛;

(2) 若 $a_{2n} < a_{2n-1}$, 则 $\sum_{n=1}^{\infty} a_n$ 发散;

(3) 若 $\lim_{n \rightarrow \infty} \frac{a_{2n+1}}{a_{2n}} = \infty$, 则 $\sum_{n=1}^{\infty} a_n$ 发散;

(4) 若 $\sum_{n=1}^{\infty} a_n$ 与 $\sum_{n=1}^{\infty} b_n$ 发散, 则 $\sum_{n=1}^{\infty} \sqrt{a_n b_n}$ 发散.

95. 指出下列谬误:

$$\begin{aligned}
 & 1 - \frac{1}{2} + \frac{1}{3} - \frac{1}{4} + \frac{1}{5} - \frac{1}{6} + \cdots \\
 &= 1 + \frac{1}{2} + \frac{1}{3} + \frac{1}{4} + \frac{1}{5} + \frac{1}{6} + \cdots \\
 &\quad - 2\left(\frac{1}{2} + \frac{1}{4} + \frac{1}{6} + \frac{1}{8} + \cdots\right) \\
 &= \left(1 + \frac{1}{2} + \frac{1}{3} + \frac{1}{4} + \cdots\right) \\
 &\quad - \left(1 + \frac{1}{2} + \frac{1}{3} + \frac{1}{4} + \cdots\right) = 0.
 \end{aligned}$$

96. 判断下列级数的收敛性及绝对收敛性:

$$(1) \sum_{n=2}^{\infty} \frac{i^n}{\ln n}; \quad (2) \sum_{n=1}^{\infty} \frac{i^n}{n}.$$

97. 证明级数

$$\sum_{n=1}^{\infty} \frac{z^{n-1}}{(1-z^n)(1-z^{n+1})}, \quad |z| \neq 1$$

收敛, 并求其和.

98. 证明无穷乘积

$$(1+z)(1+z^2)(1+z^4)(1+z^8)\cdots, \quad |z| < 1$$

收敛, 并求其积.

99. 证明:

$$(1) \cos \frac{z}{2} \cdot \cos \frac{z}{2^2} \cdot \cos \frac{z}{2^3} \cdots = \frac{\sin z}{z};$$

$$(2) \frac{1}{2} \operatorname{tg} \frac{z}{2} + \frac{1}{2^2} \operatorname{tg} \frac{z}{2^2} + \frac{1}{2^3} \operatorname{tg} \frac{z}{2^3} + \cdots = \frac{1}{z} - \operatorname{ctg} z.$$

100. 证明级数

$$\sum_{n=1}^{\infty} e^{-n} \sin nz$$

在区域 $-1 < \operatorname{Im} z < 1$ 内解析.

101. 设 x 为实数, 证明:

$$(1) \text{级数 } \sum_{n=1}^{\infty} \frac{x^2}{(1+x^2)^n} \text{ 绝对收敛, 但不一致收敛};$$

$$(2) \text{级数 } \sum_{n=1}^{\infty} \frac{(-)^n}{n+x^2} \text{ 一致收敛, 但不绝对收敛}.$$

102. 试确定下列级数的收敛半径 (或收敛区域);

$$(1) \sum_{n=1}^{\infty} \frac{1}{n^n} z^n;$$

$$(2) \sum_{n=1}^{\infty} \frac{1}{2^n n^n} z^n;$$

$$(3) \sum_{n=1}^{\infty} \frac{n!}{n^n} z^n;$$

$$(4) \sum_{n=0}^{\infty} \frac{(-)^n}{2^{2n} (n!)^2} z^n;$$

$$(5) \sum_{n=1}^{\infty} n^{\ln n} z^n;$$

$$(6) \sum_{n=1}^{\infty} z^{n^n};$$

$$(7) \sum_{n=0}^{\infty} \frac{1}{2^{2^n}} z^{2^n};$$

$$(8) \sum_{n=0}^{\infty} \left(\frac{z}{1+z} \right)^n;$$

$$(9) \sum_{n=0}^{\infty} (-)^n (z^2 + 2z + 2)^n; \quad (10) \sum_{n=0}^{\infty} 2^n \sin \frac{z}{3^n};$$

$$(11) \sum_{n=1}^{\infty} \frac{\ln(n^n)}{n!} z^n;$$

$$(12) \sum_{n=1}^{\infty} \left(1 - \frac{1}{n} \right)^n z^n.$$

103. 已知幂级数 $\sum_{n=1}^{\infty} a_n z^n$ 和 $\sum_{n=1}^{\infty} b_n z^n$ 的收敛半径分别为 R_1 和 R_2 , 试讨论下列幂级数的收敛半径:

$$(1) \sum_{n=1}^{\infty} (a_n + b_n) z^n; \quad (2) \sum_{n=1}^{\infty} a_n b_n z^n;$$

$$(3) \sum_{n=1}^{\infty} \frac{1}{a_n} z^n; \quad (4) \sum_{n=1}^{\infty} \frac{b_n}{a_n} z^n.$$

104. 如果级数 $\sum_{n=1}^{\infty} a_n z^n$ 的收敛半径为 R , 试证明级数

$$\sum_{n=1}^{\infty} (\operatorname{Re} a_n) z^n \text{ 的收敛半径 } \geq R.$$

105. 设级数 $\sum_{n=0}^{\infty} a_n$ 收敛, 而 $\sum_{n=0}^{\infty} |a_n|$ 发散, 证明级数

$\sum_{n=0}^{\infty} a_n z^n$ 的收敛半径为 1.

106. 若级数 $\sum_{n=0}^{\infty} a_n$ 收敛, 而 $\sum_{n=0}^{\infty} n|a_n|$ 发散, 证明级数

$\sum_{n=0}^{\infty} a_n z^n$ 的收敛半径为 1.

107. 证明: 级数 $\sum_{n=1}^{\infty} \frac{z^n}{n^2}$ 在 $|z| \leq 1$ 中一致收敛, 但由它

逐项微商求得的级数在 $|z| < 1$ 内却不一致收敛. 这个结果和外氏 (Weierstrass) 定理矛盾吗?

108. 证明黎曼 ζ 函数

$$\zeta(z) = \sum_{n=1}^{\infty} \frac{1}{n^z}$$

在区域 $\operatorname{Re} z > 1$ 内解析, 并计算 $\zeta'(z)$.

109. 将下列函数在指定点展成泰勒级数, 并给出其收敛半径:

(1) $\sin z$, 在 $z = n\pi$ 展开;

(2) $1 - z^2$, 在 $z = 1$ 展开;

(3) $\frac{1}{1+z+z^2}$, 在 $z = 0$ 展开;

(4) $\ln z$, 在 $z = i$ 展开, 规定:

(i) $0 \leq \arg z < 2\pi$, (ii) $-\pi < \arg z \leq \pi$,

(iii) $(\ln z)_{z=i} = -\frac{3}{2}\pi i$;

(5) $\operatorname{tg}^{-1} z$ 的主值, 在 $z = 0$ 展开;

(6) $\frac{\sin z}{1-z}$, 在 $z=0$ 展开;

(7) $e^{\frac{1}{1-z}}$, 在 $z=0$ 展开 (可只求前四项系数);

(8) $\ln \frac{1+z}{1-z}$, 在 $z=\infty$ 展开.

110. 求下列无穷级数之和:

(1) $\sum_{n=0}^{\infty} \frac{1}{2n+1} z^{2n+1}$, $|z| < 1$;

(2) $\sum_{n=0}^{\infty} \frac{1}{(2n)!} z^{2n}$, $|z| < \infty$.

111. 验证等式

$$\frac{1}{a} - \frac{1}{a+b} + \frac{1}{a+2b} - \frac{1}{a+3b} + \cdots = \int_0^1 \frac{t^{a-1}}{1+t^b} dt$$

$$(a > 0, b > 0).$$

因此, 此类无穷级数的求和就转化为求定积分的问题.
利用这个办法, 求出下列级数之和:

(1) $1 - \frac{1}{4} + \frac{1}{7} - \frac{1}{10} + \cdots$;

(2) $\frac{1}{2} - \frac{1}{5} + \frac{1}{8} - \frac{1}{11} + \cdots$;

(3) $1 - \frac{1}{5} + \frac{1}{9} - \frac{1}{13} + \cdots$.

112. 如果 k 和 n 是自然数, $a > 0$, $b > 0$, 证明:

$$\frac{k!}{(a+nb)(a+nb+1)\cdots(a+nb+k)} = \int_0^1 t^{a+nb-1}(1-t)^k dt,$$

并求出下列级数之和:

$$(1) \frac{1}{1 \cdot 2 \cdot 3} + \frac{1}{3 \cdot 4 \cdot 5} + \frac{1}{5 \cdot 6 \cdot 7} + \cdots;$$

$$(2) \frac{1}{1 \cdot 2 \cdot 3} - \frac{1}{3 \cdot 4 \cdot 5} + \frac{1}{5 \cdot 6 \cdot 7} - \cdots;$$

$$(3) \frac{1}{1 \cdot 2 \cdot 3} + \frac{1}{4 \cdot 5 \cdot 6} + \frac{1}{7 \cdot 8 \cdot 9} + \cdots;$$

$$(4) \frac{1}{2 \cdot 3 \cdot 4} - \frac{1}{4 \cdot 5 \cdot 6} + \frac{1}{6 \cdot 7 \cdot 8} - \cdots.$$

113. 求下列函数的洛朗展开:

$$(1) \frac{1}{z^2(z-1)}, \text{ 在 } z=1 \text{ 附近展开};$$

$$(2) \frac{1}{z^2-3z+2}, \text{ 展开区域为};$$

$$(i) 1 < |z| < 2, (ii) 2 < |z| < \infty;$$

$$(3) \frac{1}{z(z+1)}, \text{ 展开区域为};$$

$$(i) 1 < |z-i| < \sqrt{2}, (ii) 0 < |z| < 1;$$

$$(4) \frac{(z-1)(z-2)}{(z-3)(z-4)}, \text{ 展开区域为};$$

$$(i) 3 < |z| < 4, (ii) 4 < |z| < \infty;$$

(5) $\frac{e^z}{z+2}$, 在 $|z|>2$ 处展开;

(6) $\frac{1}{1-\cos z}$, 在 $z=2n\pi$ 附近展开 (可只求出不为 0 的前四项系数).

114. 用级数相乘的方法求下列函数在 $z=0$ 附近的级数展开:

(1) $-\ln(1-z)\ln(1+z)$; (2) $\ln(1+z^2)\operatorname{tg}^{-1}z$;

(3) $e^{\frac{1}{2}(z-\frac{a^2}{z})}$ (4) $e^z \sin \frac{1}{z}$.

115. 将下列函数在 $z=0$ 点展开 (其中的多值函数均取主值分枝):

(1) $\sqrt{1+z^2}\ln(z+\sqrt{1+z^2})$;

(2) $\ln(1+z^2)\operatorname{tg}^{-1}z$; (3) $\sqrt{1-z^2}\sin^{-1}z$;

(4) $(1+z)^{-n}\ln(1+z)$; (5) $\exp(\operatorname{tg}^{-1}z)$.

提示: 以上各小题可以直接展开或用级数相乘, 也可以先求出函数所满足的一阶常微分方程, 再求微分方程的级数解.

116. 证明: 如果级数 $\sum_{k=1}^{\infty} u_k(z)$ 在区域 G 的边界 C 上一致收敛, $u_k(z) (k=1, 2, \dots)$ 在 \bar{G} 中解析, 则此级数在 \bar{G} 中一致收敛.

117. 利用阿贝尔第二定理证明, 如果 $\sum_{k=0}^{\infty} u_k$, $\sum_{k=0}^{\infty} v_k$ 与

$\sum_{k=0}^{\infty} w_k = \sum_{k=0}^{\infty} \sum_{l=0}^n u_l v_{k-l}$ 分别收敛于 A, B 和 C , 则 $C = A \cdot B$.

118. 定义

$$\sin z = \sum_{k=0}^{\infty} \frac{(-)^k}{(2k+1)!} z^{2k+1}, \quad |z| < \infty,$$

$$\cos z = \sum_{k=0}^{\infty} \frac{(-)^k}{(2k)!} z^{2k}, \quad |z| < \infty.$$

试利用级数乘法证明

$$\sin(z_1 + z_2) = \sin z_1 \cos z_2 + \cos z_1 \sin z_2.$$

119. 计算积分

$$\oint_{\gamma} \left(\sum_{n=-2}^{\infty} z^n \right) dz,$$

其中 γ 是单位圆内任一不经过原点的简单闭合曲线。

习题六 奇点、残数

120. 判断下列函数奇点的性质, 如果是极点, 确定其阶数:

$$(1) \frac{1}{z^2 + a^2}; \quad (2) \frac{\cos az}{z^2}; \quad (3) \frac{\cos az - \cos bz}{z^2};$$

$$(4) \frac{\sin z}{z^2} - \frac{1}{z}; \quad (5) \frac{1}{e^z - 1} - \frac{1}{z}; \quad (6) \sin \frac{1}{z};$$

$$(7) \frac{\sqrt{z}}{\sin \sqrt{z}}; \quad (8) \int_0^z \frac{e^{\sqrt{\zeta}} - e^{-\sqrt{\zeta}}}{\sqrt{\zeta}} d\zeta.$$

121. 求下列函数在指定点 z_0 的残数:

$$(1) \frac{e^{z^2}}{z-1}, \quad z_0 = 1; \quad (2) \frac{e^{z^2}}{(z-1)^2}, \quad z_0 = 1;$$

$$(3) \left(\frac{z}{1 - \cos z} \right)^2, \quad z_0 = 0; \quad (4) \frac{z^2}{z^4 - 1}, \quad z_0 = i;$$

$$(5) \frac{1}{z^2 \sin z}, \quad z_0 = 0; \quad (6) \frac{1 + e^z}{z^4}, \quad z_0 = 0;$$

$$(7) \frac{e^z}{(z^2 - 1)^2}, \quad z_0 = 1;$$

$$(8) \frac{1}{\operatorname{ch} \sqrt{z}}, \quad z_0 = -\left(\frac{2n+1}{2} \pi \right)^2, \quad n = 0, 1, 2, \dots$$

122. 求下列函数在奇点处的残数:

$$(1) \frac{1}{z^3 - z^5}; \quad (2) \frac{1}{(1 + z^2)^{m+1}};$$

$$(3) \frac{z}{1 - \cos z}; \quad (4) \frac{\sqrt{z}}{\operatorname{sh} \sqrt{z}}; \quad (5) e^{1/z};$$

$$(6) \cos \sqrt{\frac{1}{z}}; \quad (7) \frac{1}{(z-1) \ln z};$$

$$(8) \frac{1}{z} \left[1 + \frac{1}{z+1} + \frac{1}{(z+1)^2} + \dots + \frac{1}{(z+1)^n} \right].$$

123. 指出下列函数在 ∞ 点的性质, 并求其残数:

$$(1) \frac{1}{z}; \quad (2) \frac{\cos z}{z}; \quad (3) \frac{z}{\cos z};$$

$$(4) \frac{z^2 + 1}{e^z}; \quad (5) e^{-\frac{1}{z^2}}; \quad (6) \sqrt{(z-1)(z-2)}.$$

124. 设 $f(z)$ 在 $z = \infty$ 的邻域内的展开式为

$$f(z) = C_0 + \frac{C_1}{z} + \frac{C_2}{z^2} + \dots,$$

试求 $f^2(z)$ 在 $z = \infty$ 处的残数.

125. 证明: 若除有限个奇点外, $f(z)$ 在扩充了的 z 平面上解析, 则函数 $f(z)$ 的残数和为 0.

126. 设 $f(z)$ 为偶函数, $z = 0$ 是它的孤立奇点, 证明 $f(z)$ 在 $z = 0$ 处的残数必为 0.

127. $f(z)$ 和 $g(z)$ 分别以 $z = 0$ 为其 m 阶和 n 阶零点, 问下列函数在 $z = 0$ 处的性质如何?

(1) $f(z) + g(z)$; (2) $f(z) \cdot g(z)$;

(3) $\frac{f(z)}{g(z)}$; (4) $f(g(z))$.

128. $f(z)$ 和 $g(z)$ 分别以 $z = 0$ 为其 m 阶和 n 阶极点, 问下列函数在 $z = 0$ 处的性质如何?

(1) $f(z) + g(z)$; (2) $f(z) \cdot g(z)$;

(3) $\frac{f(z)}{g(z)}$; (4) $f\left(\frac{1}{g(z)}\right)$.

129. 讨论 $\frac{f'(z)}{f(z)} = \frac{d}{dz} \ln f(z)$ 在 $z = a$ 点的性质, 若 a 点是 $f(z)$ 的:

(1) m 阶零点; (2) m 阶极点.

如果 $z = a$ 是 $\frac{f'(z)}{f(z)}$ 的孤立奇点的话, 则求出函数 $\frac{f'(z)}{f(z)}$ 在该点的残数.

130. 设 $\varphi(z)$ 在 $z = a$ 解析, 且 $\varphi(a) \neq 0$. 若

(1) a 是 $f(z)$ 的 n 阶零点,

(2) a 是 $f(z)$ 的 n 阶极点,

试求函数 $\varphi(z) \frac{f'(z)}{f(z)}$ 在 $z = a$ 点的残数.

131. 设 C 为区域 G 内的任意一条简单闭合曲线, a 为

G 内一点. 若函数 $f(z)$ 在 G 内解析, 且 $f(a) = 0, f'(a) \neq 0$, 此外, $f(z)$ 在 \bar{G} 中无其它零点. 试证:

$$a = \frac{1}{2\pi i} \oint_C \frac{zf'(z)}{f(z)} dz.$$

132. 若 $z = 0$ 是 $f(z)$ 的 n 阶零点, 试求下列函数在 $z = 0$ 处的残数:

$$(1) \frac{f''(z)}{f'(z)}, \quad (2) \frac{f''(z)}{f(z)}.$$

133. 求下列各种条件下函数 $\frac{f(z)}{g(z)}$ 在奇点 z_0 处的残数:

- (1) z_0 是 $f(z)$ 的 m 阶零点, 是 $g(z)$ 的 $m+1$ 阶零点;
- (2) z_0 是 $g(z)$ 的二阶零点, 但 $f(z_0) \neq 0$;
- (3) z_0 是 $f(z)$ 的一阶零点, 是 $g(z)$ 的三阶零点;
- (4) z_0 是 $f(z)$ 的一阶极点, 是 $g(z)$ 的一阶零点.

134. 若函数 $f(z)$ 与 $g(z)$ 在闭区域 \bar{G} 中解析, $g(z)$ 在 G 内有有限个一阶零点 a_1, a_2, \dots, a_n , 而 $g(0) \neq 0$, 试计算积分

$$\frac{1}{2\pi i} \oint_C \frac{f(z)}{zg(z)} dz,$$

其中 C 是 G 的边界, 且 $z = 0$ 在 G 内.

135. 计算下列积分值:

$$(1) \oint_C \frac{dz}{1+z^4}, \quad C \text{ 为 } |z-1| = 2 \text{ 或 } |z-1| = 1;$$

$$(2) \oint_C \frac{\sin \frac{\pi z}{4}}{z^2 - 1} dz, \quad C \text{ 为:}$$

$$(i) \quad |z| = \frac{1}{2}, \quad (ii) \quad |z-1| = 1, \quad (iii) \quad |z| = 3;$$

$$(3) \oint_{|z|=R} \frac{z^2}{e^{2\pi i z^3} - 1} dz, \quad n < R^3 < n+1, \quad n \text{ 为正整数};$$

$$(4) \oint_{|z|=n} \operatorname{tg} \pi z \, dz, \quad n \text{ 为正整数};$$

$$(5) \oint_{|z|=2} \frac{1}{z^3(z^{10}-2)} dz;$$

$$(6) \oint_{|z|=1} \frac{e^z}{z^3} dz; \quad (7) \oint_{|z|=2} e^{\frac{1}{z^2}} dz;$$

$$(8) \oint_{|z|=R} \frac{e^z}{\operatorname{sh} m z} dz, \quad \frac{n}{m} \pi < R < \frac{n+1}{m} \pi, \quad m, n \text{ 均为正整数};$$

136. 计算积分

$$\oint_{C_n} \frac{\operatorname{ctg} \pi z}{z^2} dz,$$

其中 C_n 是以 $\left(\pm \frac{2n+1}{2}, \pm \frac{2n+1}{2}\right)$ 为顶点的正方形. 令

$n \rightarrow \infty$, 就能得到级数 $\sum_{m=1}^{\infty} \frac{1}{m^2}$ 之和.

若把被积函数换成 $\frac{\operatorname{csc} \pi z}{z^2}$, 又能得到什么结果?

习题七 利用残数定理计算定积分

137. 如果 $R(\sin \theta, \cos \theta)$ 在 $[0, 2\pi]$ 中有奇点, 通过变换 $z = e^{i\theta}$, $R(\sin \theta, \cos \theta)$ 变为 $f(z) \equiv R\left(\frac{z^2-1}{2iz}, \frac{z^2+1}{2z}\right)$, 则 $f(z)$ 在

单位圆周 $|z| = 1$ 上有奇点。设这些奇点 $\beta_k (k = 1, 2, \dots, m)$ 均为一阶极点，证明

$$\int_0^{2\pi} R(\sin\theta, \cos\theta) d\theta = 2\pi \sum_{\text{单位圆内}} \operatorname{res} \left\{ \frac{f(z)}{z} \right\} + \pi \sum_{k=1}^m \operatorname{res} \left\{ \frac{f(z)}{z} \right\}_{z=\beta_k},$$

式中 $R(\sin\theta, \cos\theta)$ 表示 $\sin\theta$ 和 $\cos\theta$ 的有理函数。

138. 计算下列积分：

$$(1) \int_0^{2\pi} \frac{dx}{1 - 2p\cos x + p^2}, \quad 0 < p < 1;$$

$$(2) \int_0^{2\pi} \frac{dx}{2 + \cos x};$$

$$(3) \int_0^{2\pi} \frac{dx}{(a + b\cos x)^2}, \quad a > b > 0;$$

$$(4) \int_0^{2\pi} \cos^{2n} x dx; \quad (5) \int_0^{2\pi} e^{e^{j\theta}} d\theta;$$

$$(6) \int_0^{\pi} \frac{d\theta}{1 + \sin^2 \theta}; \quad (7) \int_0^{\pi} \frac{d\theta}{(1 + \sin^2 \theta)^2};$$

$$(8) \int_0^{\pi} \operatorname{ctg}(x - a) dx, \quad \operatorname{Im} a \neq 0.$$

139. 计算下列积分：

$$(1) \int_{-\infty}^{\infty} \frac{x^2}{1 + x^4} dx;$$

$$(2) \int_{-\infty}^{\infty} \frac{dx}{(x^2 + a^2)(x^2 + b^2)}, \quad a > 0, \quad b > 0;$$

$$(3) \int_{-\infty}^{\infty} \frac{x^{2m}}{x^{2n} + 1} dx, \quad n, m \text{ 均为正整数, 且 } n > m;$$

$$(4) \int_{-\infty}^{\infty} \frac{dx}{(1+x^2)^{n+1}}, \quad n \text{ 为正整数};$$

$$(5) \int_0^{\infty} \frac{x^2 dx}{(x^2 + a^2)^2}, \quad a > 0; \quad (6) \int_{-\infty}^{\infty} \frac{dx}{x^2 - 2x + 4};$$

$$(7) \int_{-\infty}^{\infty} \frac{x^2 dx}{(x^2 + 1)(x^2 - 2x \cos \theta + 1)}, \quad \theta \text{ 为实数, 且 } \sin \theta \neq 0;$$

$$(8) \int_{-\infty}^{\infty} \frac{dx}{(1+x^2) \operatorname{ch} \frac{\pi x}{2}}.$$

140. 计算下列积分:

$$(1) \int_0^{\infty} \frac{\cos x}{1+x^4} dx; \quad (2) \int_0^{\infty} \frac{x \sin mx}{x^2 + a^2} dx, \\ a > 0, \quad m > 0;$$

$$(3) \int_{-\infty}^{\infty} \frac{x \sin x}{x^2 - 2x + 2} dx; \quad (4) \int_0^{\infty} \frac{x^3 \sin mx}{x^4 + 4a^4} dx, \\ a > 0, \quad m > 0;$$

$$(5) \int_{-\infty}^{\infty} \frac{\cos mx}{(x+b)^2 + a^2} dx, \quad \int_{-\infty}^{\infty} \frac{\sin mx}{(x+b)^2 + a^2} dx, \\ a > 0, \quad m > 0;$$

$$(6) \int_{-\infty}^{\infty} \frac{a \cos x + x \sin x}{x^2 + a^2} dx, \quad a > 0;$$

$$(7) \int_{-\infty}^{\infty} \frac{\sin^2 ax}{(x^2 + b^2)(x^2 + c^2)} dx, \quad a > 0, \quad b > 0, \quad c > 0;$$

$$(8) \int_0^{\infty} \frac{\cos x}{\operatorname{ch} x} dx.$$

141. 计算下列积分:

$$(1) \int_0^{\infty} \frac{\sin mx}{x(x^2 + a^2)} dx, \quad a > 0, \quad m > 0;$$

$$(2) \text{v.p.} \int_{-\infty}^{\infty} \frac{dx}{x(x-1)(x-2)};$$

$$(3) \int_0^{\infty} \frac{\cos ax - \cos bx}{x^2} dx, \quad a > 0, \quad b > 0;$$

$$(4) \int_0^{\infty} \frac{\sin(x+a)\sin(x-a)}{x^2 - a^2} dx, \quad a > 0;$$

$$(5) \int_0^{\infty} \frac{\sin^3 x}{x^3} dx;$$

$$(6) \int_{-\infty}^{\infty} \frac{e^{px} - e^{qx}}{1 - e^x} dx, \quad 0 < p < 1, \quad 0 < q < 1;$$

$$(7) \text{v.p.} \int_{-\infty}^{\infty} \frac{x \cos x}{x^2 - 5x - 6} dx;$$

$$(8) \text{v.p.} \int_{-\infty}^{\infty} \frac{\sin x}{(x^2 + 4)(x - 1)} dx.$$

142. 计算下列积分:

$$(1) \int_0^{\infty} \frac{x^s}{(1+x^2)^2} dx, \quad -1 < s < 3;$$

$$(2) \int_0^{\infty} \frac{x^{-p}}{1 + 2x \cos \lambda + x^2} dx, \quad -1 < p < 1, \quad 0 < \lambda < \pi;$$

$$(3) \text{ v.p. } \int_0^{\infty} \frac{x^{a-1}}{1-x} dx, \quad 0 < a < 1;$$

$$(4) \int_0^{\infty} \frac{\ln x}{\sqrt{x}(x^2+a^2)^2} dx, \quad a > 0.$$

143. 设 $P(z)$ 及 $Q(z)$ 分别为 m 阶及 n 阶多项式, 并且 $m \leq n-2$, 且 $Q(z)$ 无非负实根. 考虑函数 $\frac{P(z)}{Q(z)} \ln z$ 的积分, 证

$$\text{明} \int_0^{\infty} \frac{P(x)}{Q(x)} dx = - \sum_{\text{全平面}} \text{res} \left\{ \frac{P(z)}{Q(z)} \ln z \right\}, \quad 0 \leq \arg z \leq 2\pi.$$

144. 利用上题结果, 计算下列积分:

$$(1) \int_0^{\infty} \frac{x}{(1+x+x^2)^2} dx; \quad (2) \int_0^{\infty} \frac{1}{x^3+a^3} dx;$$

$$(3) \int_0^{\infty} \frac{1}{(x+a)(x^2+b^2)} dx, \quad a > 0, \quad b > 0;$$

$$(4) \int_0^{\infty} \frac{1}{(x^2+a^2)(x^2+b^2)} dx, \quad a > 0, \quad b > 0.$$

145. 用类似于第143题的方法证明

$$\int_0^{\infty} f(x) \ln x dx = -\frac{1}{2} \text{Re} \sum_{\text{全平面}} \text{res} \{ f(z) (\ln z)^2 \}$$

$$\int_0^{\infty} f(x) dx = -\frac{1}{2\pi} \text{Im} \sum_{\text{全平面}} \text{res} \{ f(z) (\ln z)^2 \},$$

$$0 \leq \arg z \leq 2\pi.$$

其中函数 $f(z)$ 满足和第143题中 $\frac{P(z)}{Q(z)}$ 同样的要求.

146. 计算下列积分:

$$(1) \int_0^{\infty} \frac{\ln x}{x^2 + a^2} dx, \quad a > 0;$$

$$(2) \int_0^{\infty} \frac{\ln x}{(x+a)(x+b)} dx, \quad b > a > 0;$$

$$(3) \int_0^{\infty} \frac{\ln x}{(x+a)^2} dx, \quad a > 0;$$

$$(4) \int_0^{\infty} \frac{\ln x}{(x+a)^2 + b^2} dx, \quad a, b \text{ 均为正数.}$$

147. 按照指定的积分围道, 考虑适当的复变积分, 计算下列定积分:

$$(1) \int_0^{\infty} \frac{(1+x^2)\cos ax}{1+x^2+x^4} dx, \quad \int_0^{\infty} \frac{x \sin ax}{1+x^2+x^4} dx, \quad a > 0 \text{ (见图 8)};$$

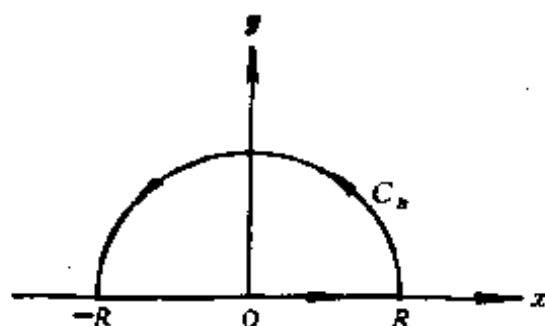


图 8

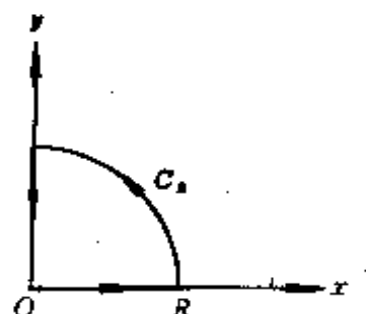


图 9

$$(2) \int_0^{\infty} \frac{\cos x - e^{-x}}{x} dx \text{ (见图 9)};$$

$$(3) \int_{-\infty}^{\infty} \frac{e^{ax}}{1+e^x} dx, \quad 0 < a < 1 \text{ (见图 10)};$$

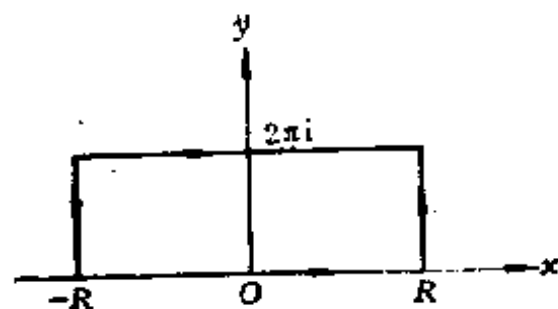


图 10

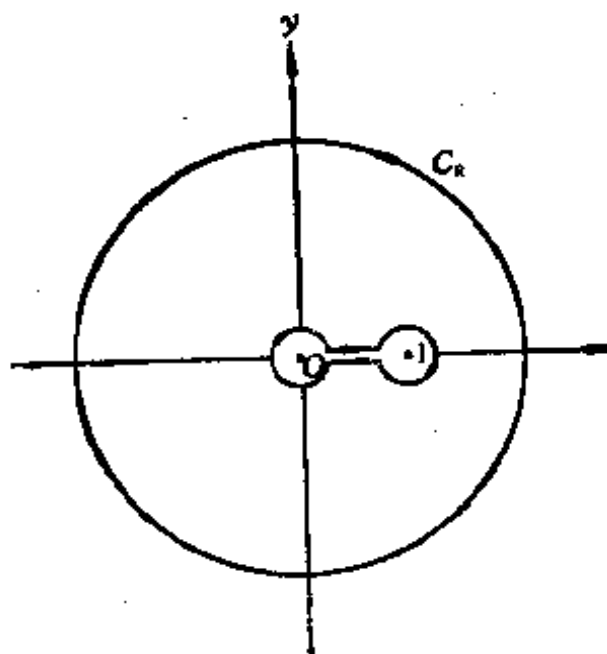


图 11

(4) $\int_0^1 \frac{\sqrt[4]{x(1-x)^3}}{(1+x)^3} dx$ (见图11).

148. 按照指定的被积函数, 选择适当的积分围道, 计算下列积分:

(1) $\int_0^\pi \frac{\cos n\varphi}{a - ib\cos \varphi} d\varphi$, $a > 0$, $b > 0$, 被积函数为

$$\frac{z^n}{bz^2 + 2iaz + b^2}$$

(2) $\int_0^\infty x^b \cos\left(ax - \frac{1}{2}b\pi\right) \frac{dx}{1+x^2}$, $a \geq 0$, $-1 < b < 1$, 被积函数为 $\frac{e^{iaz} z^b}{1+z^2}$;

(3) $\int_0^\infty \frac{dx}{x[(\ln x)^2 + \pi^2]}$, 被积函数为 $\frac{1}{z \ln z}$;

(4) $\int_0^\infty \frac{x \operatorname{tg}^{-1} x}{(1+2x^2)^2} dx$, 被积函数为 $\frac{z \ln(1-iz)}{(1+2z^2)^2}$;

(5) $\int_0^\infty \frac{\cos \ln x}{x^2+1} dx$, 被积函数为 $\frac{z^i}{z^2-1}$;

(6) $\int_0^\pi \frac{r \sin 2\theta}{1-2r \cos 2\theta + r^2} \theta d\theta$, 被积函数为

$$\frac{2zr}{z^2(1+r)^2 + (1-r)^2} \cdot \frac{\ln(1-iz)}{1+z^2}.$$

149. 变换

$$t = \frac{bx+a}{x+1}, \quad \text{即} \quad x = \frac{t-a}{b-t}$$

把有界区间 $a \leq t \leq b$ 变为半无界区间 $0 \leq x < \infty$. 试利用此类变换证明

$$\int_{-1}^1 \left(\frac{1+t}{1-t}\right)^{n-1} g(t) dt = \int_0^\infty x^{n-1} f(x) dx,$$

其中,

$$f(x) = \frac{2}{(x+1)^2} g\left(\frac{x-1}{x+1}\right).$$

假定有关的积分均存在。

150. 利用上题结果, 计算下列积分:

$$(1) \int_{-1}^1 \left(\frac{1+t}{1-t}\right)^{m-1} dt, \quad 0 < m < 2;$$

$$(2) \int_{-1}^1 \left(\frac{1+t}{1-t}\right)^{m-1} \frac{dt}{t^2+1}, \quad 0 < m < 2.$$

151. 证明:

$$\int_{-1}^1 (1-t^2)^{m-1} h(t) dt = \int_0^1 x^{m-1} f(x) dx,$$

$$f(x) = \frac{1}{2} \left(\frac{2}{x+1}\right)^{2m} h\left(\frac{x-1}{x+1}\right).$$

并由此计算积分

$$\int_{-1}^1 \frac{\sqrt{1-t^2}}{1+t^2} dt.$$

152. (1) 证明:

$$\int_{-1}^1 \ln \frac{1+t}{1-t} g(t) dt = \int_0^1 f(x) \ln x dx,$$

其中,

$$f(x) = \frac{2}{(x+1)^2} g\left(\frac{x-1}{x+1}\right).$$

(2) 计算积分:

$$\int_{-1}^1 \ln \frac{1+t}{1-t} \cdot \frac{dt}{1-ct}, \quad |c| < 1.$$

习题八 解析延拓、含参数的积分、 Γ函数和B函数

153. 若函数 $f(z)$ 在右半平面 $\operatorname{Re} z > 0$ 内解析, 且满足

$$f(z+1) = zf(z), \quad f(1) \neq 0,$$

证明 $f(z)$ 能够延拓到全平面, $z = 0, -1, -2, \dots$ 除外.

154. 证明

$$f_1(z) = 1 + az + a^2 z^2 + \dots$$

与

$$f_2(z) = \frac{1}{1-z} - \frac{(1-a)z}{(1-z)^2} + \frac{(1-a)^2 z^2}{(1-z)^3} - \dots$$

互为解析延拓.

155. 证明级数

$$\sum_{n=1}^{\infty} \left(\frac{1}{1-z^{n+1}} - \frac{1}{1-z^n} \right)$$

在区域 $|z| < 1$ 与 $|z| > 1$ 内分别代表两个解析函数, 但不互为解析延拓.

156. 已知:

$$f(z) = \sum_{n=0}^{\infty} z^{2^n} = z + z^2 + z^4 + z^8 + \dots, \quad |z| < 1.$$

(1) 证明: $z = 1$ 是 $f(z)$ 的奇点;

(2) 证明: $f(z) = z + f(z^2)$, 因此, $z^2 = 1$ 的根也都是 $f(z)$ 的奇点;

(3) 类似地证明: $z^{2^k} = 1$ 的 2^k 个根也是 $f(z)$ 的奇点,

k 为任意正整数;

(4) 由此证明: 不可能将 $f(z)$ 延拓到单位圆外.

157. 求出下列各积分的一致收敛区域:

$$(1) \int_0^1 \frac{t^{z-1}}{\sqrt{1-t}} dt; \quad (2) \int_0^\infty \frac{\sin t}{t^z} dt;$$

$$(3) \int_0^\infty e^{-zt} t^z dt; \quad (4) \int_0^\infty \frac{e^{-zt}}{1+t} dt.$$

158. 证明:

$$(1) \Gamma(z) = \int_0^1 \left(\ln \frac{1}{x}\right)^{z-1} dx, \quad \operatorname{Re} z > 0;$$

$$(2) \Gamma(z) = \int_L e^{-t} t^{z-1} dt, \quad \operatorname{Re} z > 0, \quad L \text{ 是自原点发出的射}$$

线, $0 < |t| < \infty, \quad |\arg t| < \frac{\pi}{2};$

$$(3) \Gamma(z) = \sum_{n=0}^{\infty} \frac{(-)^n}{n!} \frac{1}{n+z} + \int_1^\infty e^{-t} t^{z-1} dt, \quad z \neq -n,$$

$n = 0, 1, 2, \dots$.

159. 将下列连乘积用 Γ 函数表示出来:

$$(1) (2n)!!; \quad (2) (2n-1)!!;$$

$$(3) (1+\rho)(2+\rho)\cdots(n+\rho);$$

$$(4) [n(n+1)-\rho(\rho+1)][(n-1)n-\rho(\rho+1)]\cdots [0-\rho(\rho+1)].$$

160. 设 $\psi(z) = \frac{\Gamma'(z)}{\Gamma(z)} = \frac{d}{dz} \ln \Gamma(z)$, 证明:

$$(1) \psi(z+1) = \frac{1}{z} + \psi(z);$$

$$(2) \psi(z+n) - \psi(z) = \frac{1}{z} + \frac{1}{z+1} + \cdots + \frac{1}{z+n-1};$$

$$(3) \psi(1-z) - \psi(z) = \pi \operatorname{ctg} \pi z;$$

$$(4) 2\psi(2z) - \psi(z) - \psi\left(z + \frac{1}{2}\right) = 2\ln 2.$$

161. 证明 $\psi(z)$ 仍以零及负整数为其一阶极点, 并求其残数.

162. 定义

$$J_\nu(z) = \sum_{k=0}^{\infty} \frac{(-)^k}{k! \Gamma(k+\nu+1)} \left(\frac{z}{2}\right)^{2k+\nu},$$

试导出

$$Y_n(z) = \lim_{\nu \rightarrow n} \frac{J_\nu(z) \cos \nu \pi - J_{-\nu}(z)}{\sin \nu \pi}, \quad n=0, 1, 2, \cdots$$

的级数表达式.

163. 计算下列积分:

$$(1) \int_0^\infty x^{-a} \sin x dx, \quad 0 < a < 2,$$

$$\int_0^\infty x^{-a} \cos x dx, \quad 0 < a < 1;$$

$$(2) \int_0^\infty x^{a-1} e^{-x \cos \theta} \cos(x \sin \theta) dx,$$

$$\int_0^\infty x^{a-1} e^{-x \cos \theta} \sin(x \sin \theta) dx,$$

$$a > 0, \quad -\frac{\pi}{2} < \theta < \frac{\pi}{2}.$$

提示: 选择适当围道, 计算复变积分 $\oint e^{-z} z^{a-1} dz$.

164. 试用下面的方法导出 $\Gamma(z)$ 的渐近公式.

(1) 通过变数代换将 $\Gamma(z+1)$ 的积分表达式改写成

$$\Gamma(z+1) = z^z e^{-z} \int_{-z}^{\infty} e^{z \ln(1 + \frac{s}{z}) - s} ds;$$

(2) 将上述积分中被积函数的指数作展开而只保留最主要的一项, 并将积分下限近似地换成 $-\infty$, 这样就得到 $\Gamma(z+1)$ 在 z 大时的渐近公式:

$$\Gamma(z+1) \sim \sqrt{2\pi z} z^z e^{-z}.$$

165. 证明 $\Gamma(z)$ 的下列积分表示(对一切 z 都成立):

(1) $\Gamma(z) = \frac{1}{e^{2\pi iz} - 1} \int_C e^{-\zeta} \zeta^{z-1} d\zeta$, 积分路径 C 由沿正

实轴的割线的上岸、下岸及圆弧 C_δ 组成, 并且规定在上岸 $\arg \zeta = 0$ (见图12);

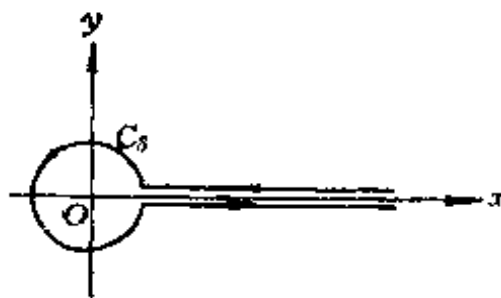


图 12

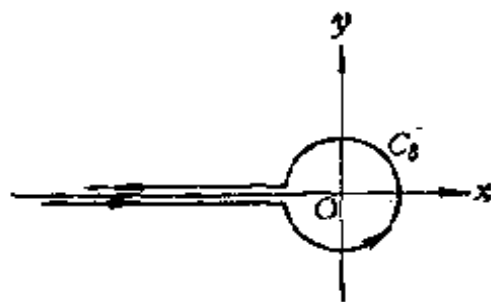


图 13

(2) $\frac{1}{\Gamma(z)} = \frac{1}{2\pi i} \int_{C^*} e^{\zeta} \zeta^{-z} d\zeta$, 积分路径 C^* 由沿负实轴

的割线下岸、上岸及圆弧 C_δ 组成 (见图 13), 规定在下岸 $\arg \zeta = -\pi$.

166. 从公式

$$\Gamma(z) = \lim_{n \rightarrow \infty} \int_0^n \left(1 - \frac{t}{n}\right)^n t^{z-1} dt$$

出发, 证明:

$$(1) \quad \Gamma(z) = \frac{1}{z} \prod_{n=1}^{\infty} \left\{ \left(1 + \frac{z}{n}\right)^{-1} \left(1 + \frac{1}{n}\right)^z \right\};$$

$$(2) \quad \Gamma(z) = \frac{1}{z} e^{-\gamma z} \prod_{k=1}^{\infty} \left\{ \left(1 + \frac{z}{k}\right)^{-1} e^{\frac{z}{k}} \right\} \\ \equiv \frac{1}{z} e^{-\gamma z} \lim_{n \rightarrow \infty} \prod_{k=1}^n \left\{ \left(1 + \frac{z}{k}\right)^{-1} e^{\frac{z}{k}} \right\},$$

其中,

$$\gamma = \lim_{n \rightarrow \infty} \left\{ \sum_{k=1}^n \frac{1}{k} - \ln n \right\} = 0.5772156649 \dots.$$

167. 利用上题结果, 证明:

$$(1) \quad \Gamma(1) = 1; \quad (2) \quad \Gamma(z+1) = z\Gamma(z);$$

$$(3) \quad \psi(z) = -\gamma - \frac{1}{z} + \sum_{k=1}^{\infty} \left(\frac{1}{k} - \frac{1}{k+z} \right);$$

$$(4) \quad \Gamma'(1) = -\gamma;$$

$$(5) \quad \Gamma'\left(\frac{1}{2}\right) = -(\gamma + 2\ln 2)\sqrt{\pi}.$$

168. 试证 B 函数的下列性质:

$$(1) \quad B(p, q+1) = \frac{q}{p+q} B(p, q);$$

$$(2) B(p, q) = B(p+1, q) + B(p, q+1);$$

$$(3) pB(p, q+1) = qB(p+1, q);$$

$$(4) B(p, q)B(p+q, r) = B(q, r)B(q+r, p);$$

$$(5) B(\xi, \eta) = \int_0^\infty \frac{t^{\eta-1}}{(1+t)^{\xi+\eta}} dt, \quad \operatorname{Re} \xi > 0, \operatorname{Re} \eta > 0.$$

169. 计算下列积分:

$$(1) \int_{-1}^1 (1-x)^p (1+x)^q dx, \quad \operatorname{Re} p > -1, \operatorname{Re} q > -1,$$

$$\int_{-1}^1 (1-x^2)^n dx,$$

$$(2) \int_0^{\frac{\pi}{2}} t g^a \theta d\theta, \quad \int_0^{\frac{\pi}{2}} c t g^a \theta d\theta, \quad -1 < a < 1.$$

170. 计算积分

$$\iiint_V x^{\alpha-1} y^{\beta-1} z^{\gamma-1} dx dy dz,$$

其中积分区域 V 为:

(1) 平面 $x=0$, $y=0$, $z=0$ 及 $x+y+z=1$ 所包围的体积;

(2) 平面 $x=0$, $y=0$, $z=0$ 及曲面

$$\left(\frac{x}{a}\right)^p + \left(\frac{y}{b}\right)^q + \left(\frac{z}{c}\right)^r = 1$$

所包围的体积.

171. 若 $n > 0$, $0 < r < 1$, 证明:

$$\frac{1}{2\pi} \int_0^{2\pi} (1 + re^{i\theta})^n (1 + re^{-i\theta})^n d\theta = \sum_{k=0}^n \binom{n}{k}^2 r^{2k},$$

$$\frac{1}{2\pi} \int_0^{2\pi} (1 + re^{i\theta})^n (1 - re^{-i\theta})^n d\theta = \sum_{k=0}^{\infty} (-)^k \binom{n}{k}^2 r^{2k},$$

因此, 根据阿贝尔第二定理, 有

$$\sum_{k=0}^{\infty} \binom{n}{k}^2 = \frac{2^n}{\pi} \int_0^{\pi} (1 + \cos\theta)^n d\theta = \frac{\Gamma(2n+1)}{[\Gamma(n+1)]^2},$$

$$\begin{aligned} \sum_{k=0}^{\infty} (-)^k \binom{n}{k}^2 &= \frac{2^n}{\pi} \cos \frac{n\pi}{2} \int_0^{\pi} \sin^n \theta d\theta \\ &= \frac{\Gamma(n+1)}{\left[\Gamma\left(\frac{n}{2} + 1\right)\right]^2} \cos \frac{n\pi}{2}, \end{aligned}$$

其中,

$$\binom{n}{k} = \frac{\Gamma(n+1)}{k! \Gamma(n-k+1)}$$

是普遍的二项式系数.

172. 证明:

$$(1) \frac{\Gamma'(a)}{\Gamma(a)} = \lim_{b \rightarrow 0} [\Gamma(b) - B(a, b)],$$

$$(2) \frac{\Gamma'(a)}{\Gamma(a)} + \gamma = \int_0^1 \frac{1-t^{a-1}}{1-t} dt,$$

其中 $\gamma = -\Gamma'(1)$ (见第166及167题).

习题九 拉普拉斯变换

173. 证明拉普拉斯变换的下列性质 (假定有关函数的拉普拉斯变换均存在, 其像函数用相应的大写字母表示):

$$(1) c_1 f_1(t) + c_2 f_2(t) \rightleftharpoons c_1 F_1(p) + c_2 F_2(p);$$

$$(2) \int_0^{\infty} f(t, \tau) d\tau \rightleftharpoons \int_0^{\infty} F(p, \tau) d\tau;$$

$$(3) f(t-\tau) \doteq e^{-p\tau} F(p);$$

$$(4) F(p-p_0) \doteq e^{p_0 t} f(t);$$

$$(5) f(at) \doteq \frac{1}{a} F\left(\frac{p}{a}\right), \quad a > 0;$$

$$(6) \int_t^\infty \frac{f(\tau)}{\tau} d\tau \doteq \frac{1}{p} \int_0^p F(q) dq.$$

174. 若 $f(t)$ 为周期函数, 周期为 a , 即

$$f(t+a) = f(t), \quad t \geq 0.$$

设 $f(t)$ 的拉氏变换式 $F(p)$ 存在, 证明:

$$F(p) = \frac{1}{1 - e^{-ap}} \int_0^a e^{-pt} f(t) dt.$$

175. 求下列函数的像函数:

$$(1) t^n, \quad n = 0, 1, 2, \dots;$$

$$(2) t^a, \quad \operatorname{Re} a > -1; \quad (3) e^{-\lambda t} \sin \omega t;$$

$$(4) \frac{1 - \cos \omega t}{t^2}; \quad (5) \int_t^\infty \frac{\cos \tau}{\tau} d\tau;$$

$$(6) f(t) = \begin{cases} e^t, & 0 < t < 1, \\ 0, & t > 1; \end{cases}$$

$$(7) \sin \omega t |; \quad (8) t - a \left[\frac{t}{a} \right], \quad a > 0.$$

176. 求下列函数的原函数:

$$(1) \frac{a^3}{p(p+a)^3}; \quad (2) \frac{\omega}{p(p^2 + \omega^2)};$$

$$(3) \frac{4p-1}{(p^2+p)(4p^2-1)}; \quad (4) \frac{p^2 - \omega^2}{(p^2 + \omega^2)^2};$$

$$(5) \frac{e^{-p\tau}}{p^2}, \tau > 0; \quad (6) \frac{1}{p} \frac{e^{-ap}}{1 - e^{-ap}}, a > 0.$$

177. 用普遍反演公式求下列函数的原函数:

$$(1) \frac{p}{p^2 - \omega^2}; \quad (2) \frac{e^{-p\tau}}{p^4 + 4\omega^4};$$

$$(3) \frac{1}{p} e^{-a\sqrt{p}}, a > 0; \quad (4) \frac{1}{p} \frac{\operatorname{ch}(l-x)\sqrt{p}}{\operatorname{ch} l \sqrt{p}}, 0 < x < l.$$

178. 设

$$f(t) \doteq F(p), \quad f_1(t) \doteq F_1(p), \quad f_2(t) \doteq F_2(p),$$

试用拉普拉斯变换的普遍反演公式证明:

$$(1) e^{-p\tau} F(p) \doteq f(t-\tau);$$

$$(2) F_1(p) F_2(p) \doteq \int_0^t f_1(\tau) f_2(t-\tau) d\tau.$$

179. 利用拉普拉斯变换计算下列积分:

$$(1) \int_0^\infty \frac{\sin xt}{t} dt; \quad (2) \int_0^\infty \frac{\sin xt}{\sqrt{x}} dx;$$

$$(3) \int_0^\infty \frac{\cos xt}{x^2 + a^2} dx; \quad (4) \int_0^\infty \frac{\sin xt}{x(x^2 + 1)} dx.$$

180. 利用拉普拉斯变换求解下列微分方程 (方程组) 或积分方程:

(1) 如图14, 已知 $i(0) = 0$, $q(0) = 0$, 求 $i(t)$;

(2) 如图15, 已知 $i(0) = 0$, $q(0) = 0$, 求 $i(t)$;

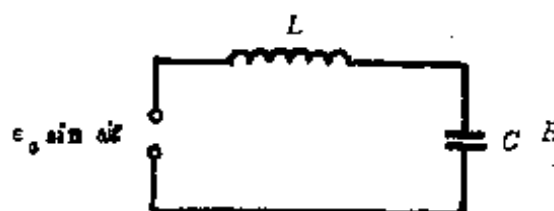


图 14

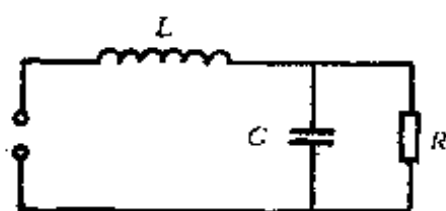


图 15

$$(3) \begin{cases} x'' - x + y + z = 0, \\ x + y'' - y + z = 0, \\ x + y + z'' - z = 0, \end{cases}$$

$$x(0) = 1, y(0) = z(0) = 0, x'(0) = y'(0) = z'(0) = 0;$$

$$(4) y(t) = a \sin t - 2 \int_0^t y(\tau) \cos(t - \tau) d\tau,$$

$$(5) y(t) = a \sin bt + c \int_0^t y(\tau) \sin b(t - \tau) d\tau, \quad b > c > 0;$$

$$(6) f(t) + 2 \int_0^t f(\tau) \cos(t - \tau) d\tau = 9e^{2t}.$$

181. 求解变系数常微分方程初值问题:

$$\begin{cases} x'' + tx' + x = 0, \\ x(0) = 1, x'(0) = 0. \end{cases}$$

182. 设有放射性蜕变过程 $A \rightarrow B \rightarrow C \rightarrow \dots$, 若其中三种同位素的分子数 $N_1(t)$, $N_2(t)$ 及 $N_3(t)$ 遵从方程及初始条件

$$\begin{cases} \frac{dN_1}{dt} = -\lambda_1 N_1, & N_1(0) = N, \\ \frac{dN_2}{dt} = \lambda_1 N_1 - \lambda_2 N_2, & N_2(0) = 0, \\ \frac{dN_3}{dt} = \lambda_2 N_2 - \lambda_3 N_3, & N_3(0) = 0, \end{cases}$$

其中 λ_1, λ_2 及 λ_3 为不相等的常数, 试求出 $N_1(t)$, $N_2(t)$ 及 $N_3(t)$.

183. 定义零阶贝塞耳函数为

$$J_0(t) = \frac{1}{\pi} \int_0^\pi \cos(t \cos \theta) d\theta.$$

(1) 求出 $J_0(t)$ 的像函数;

(2) 利用折积定理证明

$$\int_0^t J_0(\tau) J_0(t-\tau) d\tau = \sin t.$$

184. 当 $f(t)$ 满足

$$|f(t)| < Me^{s_0 t}, \quad t \geq 0$$

(M 和 s_0 是确定的正数) 时, 它的拉氏换式一定存在. 但是, 这只是 $f(t)$ 的拉氏换式存在的充分条件. 因此, 某些函数尽管并不满足这一条件, 它的拉氏换式仍然可以存在. 作为一个例子, 试证明

$$f(t) = 2te^{t^2} \sin(e^{t^2})$$

的拉氏换式存在.

185. 设 $f(x)$ 的傅里叶变换和傅里叶逆变换为

$$C(\omega) = \mathcal{F}[f(x)] = \frac{1}{\sqrt{2\pi}} \int_{-\infty}^{\infty} f(x) e^{-i\omega x} dx,$$

$$f(x) = \mathcal{F}^{-1}[C(\omega)] = \frac{1}{\sqrt{2\pi}} \int_{-\infty}^{\infty} C(\omega) e^{i\omega x} d\omega.$$

证明:

$$(1) \mathcal{F}[f(x-x_0)] = e^{-i\omega x_0} C(\omega),$$

$$\mathcal{F}^{-1}[C(\omega-\omega_0)] = e^{i\omega_0 x} f(x),$$

$$(2) \mathcal{F}[f'(x)] = i\omega C(\omega), \quad \mathcal{F}^{-1}[C'(\omega)] = -ixf(x),$$

$$(3) \mathcal{F}\left[\int_{-\infty}^x f(\xi) d\xi\right] = \frac{1}{i\omega} C(\omega),$$

$$(4) \mathcal{F}[f_1(x) * f_2(x)] = C_1(\omega) C_2(\omega),$$

$$\mathcal{F}^{-1}[C_1(\omega) * C_2(\omega)] = f_1(x) f_2(x),$$

其中,

$$f_1(t) * f_2(t) = \frac{1}{\sqrt{2\pi}} \int_{-\infty}^{\infty} f_1(\tau) f_2(t-\tau) d\tau.$$

186. 证明 δ 函数的下列性质:

$$(1) \delta(x) = \delta(-x); \quad (2) x\delta(x) = 0;$$

$$(3) f(x)\delta(x) = f(0)\delta(x); \quad (4) \delta(ax) = \frac{1}{|a|}\delta(x);$$

$$(5) \delta(x^2 - a^2) = \frac{1}{2|a|} [\delta(x-a) + \delta(x+a)];$$

$$(6) \delta(x-a)\delta(x-b) = \delta(a-b)\delta(x-a).$$

187. 若定义 δ 函数为

$$\delta(x) = \lim_{n \rightarrow \infty} \phi_n(x),$$

$$\int_{-\infty}^x \delta(x) dx = \lim_{n \rightarrow \infty} \int_{-\infty}^x \phi_n(t) dt = \begin{cases} 0, & \text{当 } x < 0, \\ 1, & \text{当 } x > 0. \end{cases}$$

验证

$$\lim_{n \rightarrow \infty} \frac{n}{\pi} \frac{1}{1 + (nx)^2} \text{ 和 } \lim_{n \rightarrow \infty} \frac{\sin nx}{\pi x}$$

都是 δ 函数.

188. 设

$$B_N(\omega) = \frac{2A\omega_0}{\pi(\omega^2 - \omega_0^2)} \sin\left(2N\pi \frac{\omega}{\omega_0}\right),$$

N 是正整数, 验证

$$\lim_{N \rightarrow \infty} B_N(\omega) = A[\delta(\omega - \omega_0) - \delta(\omega + \omega_0)].$$

189. 定义三维 δ 函数为

$$\delta(\mathbf{r} - \mathbf{r}_0) = \delta(x - x_0)\delta(y - y_0)\delta(z - z_0),$$

求证:

(1) 它在球坐标下的表达式为

$$\delta(\mathbf{r} - \mathbf{r}_0) = \frac{1}{r^2} \delta(r - r_0) \delta(\cos\vartheta - \cos\vartheta_0) \delta(\varphi - \varphi_0);$$

$$(2) \quad \nabla^2 \left(\frac{1}{|\mathbf{r} - \mathbf{r}_0|} \right) = 4\pi \delta(\mathbf{r} - \mathbf{r}_0).$$

190. 求解下列微分方程:

$$(1) \quad y'' = -\delta(x - x_0), \quad y(0) = 0, \quad y'(1) = 0;$$

$$(2) \quad y'' + y = -\delta(x - x_0), \quad y(0) = 0, \quad y\left(\frac{\pi}{2}\right) = 0.$$

习题十 线性常微分方程的级数解法

191. 求方程 $y'' - x^2 y = 0$ 在 $x = 0$ 邻域内的两个级数解.

192. 在 $x = 0$ 的邻域内求解方程 $y'' - xy = 0$.

193. 求厄密方程 $u'' - 2xu' + 2\lambda u = 0$ 在 $x = 0$ 的解, 并讨论当 λ 取何值时有一解截断为多项式?

194. 求超几何方程 $z(1-z) \frac{d^2 u}{dz^2} + [\gamma - (\alpha + \beta + 1)z] \frac{du}{dz} - \alpha\beta u = 0$ 在 $z = 0$ 附近的两个独立解, 其中 α, β, γ 为已知常数, 且 $\gamma \neq$ 整数.

195. 求方程 $xy'' - xy' + y = 0$ 在 $x = 0$ 邻域的两个独立解.

196. 求方程 $\frac{d^2 u}{dz^2} + \frac{2}{z} \frac{du}{dz} + m^2 u = 0$ 在 $z = 0$ 附近的两个独立解.

197. 求零阶贝塞耳方程 $\frac{d^2 u}{dz^2} + \frac{1}{z} \frac{du}{dz} + u = 0$ 在 $z = 0$ 邻

域的两个独立解。

198. 求勒让德方程 $(1-z^2)\frac{d^2u}{dz^2} - 2z\frac{du}{dz} + \mu(\mu+1)u = 0$ 在 $z=1$ 的有界解。

199. 求合流超几何方程 $z\frac{d^2u}{dz^2} + (b-z)\frac{du}{dz} - au = 0$ 在 $z=0$ 附近的两个独立解, 已知其中的 a, b 为常数, 且 $a > 0$, $1-b \neq$ 整数。

200. 求方程 $\frac{d^2u}{dz^2} + \frac{1}{z}\frac{du}{dz} - m^2u = 0$ 在 $z=0$ 附近的两个独立解。

习题十一 数学物理方程和定解条件

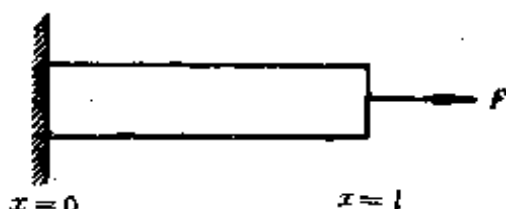


图 16

201. 一长为 l 、横截面积为 S 的均匀弹性杆, 已知一端 ($x=0$) 固定, 另一端 ($x=l$) 在杆轴方向上受拉力 F 而平衡 (见图16)。在 $t=0$ 时, 撤去外力 F 。试推导杆的纵振动所满足的方程、边界条件和初始条件。

边界条件和初始条件。

202. 一均匀弹性杆, 原处于静止状态。其一端 ($x=0$) 固定。从 $t=0$ 时刻起, 在另一端 ($x=l$) 单位面积上施加外力 P , 力的方向与杆轴平行。试列出杆的纵振动方程、边界条件和初始条件。

203. 一均匀、各向同性的弹性圆膜, 四周固定。试列出膜的横振动方程及边界条件。

204. 一长为 l 的均匀金属细杆 (可近似地看作一维的), 通有稳定电流. 设杆的一端 ($x=0$) 温度保持为 0,

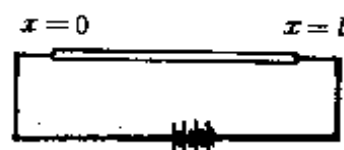


图 17

另一端 ($x=l$) 保持为 u_0 , 初始时的温度分布为 $\frac{x}{l}u_0$. 试写出杆中温度场所满足的方程、边界条件与初始条件 (见图17).

205. 在铀块中, 除了中子的扩散运动外, 还进行着中子的吸收和增殖过程. 设在单位时间内单位体积中, 吸收和增殖的中子数均正比于该时刻该处的中子浓度 $u(r, t)$, 因而净增中子数可表为 $au(r, t)$, a 为比例常数. 试导出 $u(r, t)$ 所满足的偏微分方程.

206. 设有一均匀细杆, 长为 l , 一端固定, 另一端受外力 F ($F = A \sin \omega t$) 作用, 其方向与杆轴一致, A 为常数. 列出边界条件.

207. 有一长为 l 的均匀细杆, 现通过其两端、在单位时间内、经单位面积分别供给热量 q_1 与 q_2 . 试写出相应的边界条件.

208. 有一半径为 a 、表面涂黑的导体球, 暴晒于日光下, 在垂直于光线的单位面积上, 单位时间内吸收热量 M . 设周围媒质温度为 0, 球面按牛顿冷却定律散热. 试在适当的坐标系中写出边界条件 (见图18).



图 18

209. 一完全柔软的均匀细线, 重力可以忽略. 一端 ($x=0$) 固定在匀速转动的轴上, 角速度为 ω , 另一端 ($x=l$) 自由. 由于惯性离心力的作用, 此细线的平衡位置为水

平线。试导出细线相对于其平衡位置作横振动时的振动方程。

210. 一长为 l 的水平均匀弹性弦，中点处悬一重物，质量为 M 。试列出弦的横振动方程、边界条件以及连接条件。设悬线的质量及弹性形变均可忽略。

习题十二 分离变数法

211. 将下列方程分离变数：

$$(1) \quad a_1(x) \frac{\partial^2 u}{\partial x^2} + b_1(y) \frac{\partial^2 u}{\partial y^2} + a_2(x) \frac{\partial u}{\partial x} + b_2(y) \frac{\partial u}{\partial y} = 0;$$

$$(2) \quad \frac{1}{r} \frac{\partial}{\partial r} \left(r \frac{\partial u}{\partial r} \right) + \frac{1}{r^2} \frac{\partial^2 u}{\partial \varphi^2} = 0;$$

$$(3) \quad \frac{1}{r^2} \frac{\partial}{\partial r} \left(r^2 \frac{\partial u}{\partial r} \right) + \frac{1}{r^2 \sin \theta} \frac{\partial}{\partial \theta} \left(\sin \theta \frac{\partial u}{\partial \theta} \right) = 0;$$

$$(4) \quad \frac{\partial}{\partial \alpha} \left(\frac{\sin \alpha}{\operatorname{ch} \beta - \cos \alpha} \frac{\partial u}{\partial \alpha} \right) + \frac{\partial}{\partial \beta} \left(\frac{\sin \alpha}{\operatorname{ch} \beta - \cos \alpha} \frac{\partial u}{\partial \beta} \right) \\ + \frac{1}{\sin \alpha (\operatorname{ch} \beta - \cos \alpha)} \frac{\partial^2 u}{\partial \varphi^2} = 0.$$

提示：作变换 $u = v \sqrt{\operatorname{ch} \beta - \cos \alpha}$ 。

212. 求解下列各本征值问题，证明各题中本征函数的正交性，并算出归一因子：

$$(1) \quad \begin{cases} X'' + \lambda X = 0, \\ X(0) = 0, \quad X(l) = 0; \end{cases}$$

$$(2) \begin{cases} X'' + \lambda X = 0, \\ X(0) = 0, \quad X'(l) = 0; \end{cases}$$

$$(3) \begin{cases} X'' + \lambda X = 0, \\ X'(0) = 0, \quad X'(l) = 0; \end{cases}$$

$$(4) \begin{cases} X'' + \lambda X = 0, \\ X(a) = 0, \quad X(b) = 0; \end{cases}$$

$$(5) \begin{cases} X'' + \lambda X = 0, \\ X(0) = 0, \\ \alpha X(l) + \beta X'(l) = 0; \end{cases}$$

$$(6) \begin{cases} X'' + \lambda X = 0, \\ \alpha_1 X(0) + \beta_1 X'(0) = 0, \\ \alpha_2 X(l) + \beta_2 X'(l) = 0. \end{cases}$$

213. 如果我们采用最小二乘法用 $\sum_{n=1}^N a_n \sin \frac{n\pi}{l} x$ 去逼近

函数 $f(x)$,

$$f(x) \approx \sum_{n=1}^N a_n \sin \frac{n\pi}{l} x,$$

即要求平方误差

$$\int_0^l \left[f(x) - \sum_{n=1}^N a_n \sin \frac{n\pi}{l} x \right]^2 dx$$

取极小, 试确定展开系数 a_n .

214. 解第201题.

215. 一长为 l 两端固定的均匀弦, 初始时, 弦被拉开, 如图19所示, 待达到平衡后突然放手. 试求解此问题.

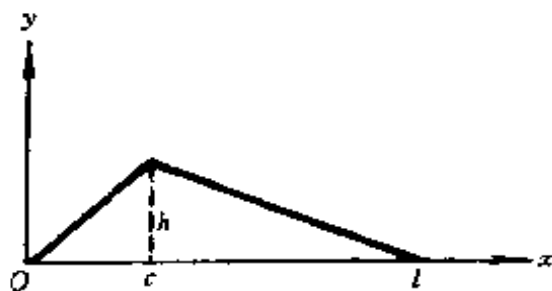


图 19

216. 两端固定的均匀弦, 在硬质平锤的打击下以如下初始速度分布

$$\left. \frac{\partial u}{\partial t} \right|_{t=0} = \begin{cases} 0, & 0 \leq x < c - \delta, \\ v_0, & c - \delta < x < c + \delta, \\ 0, & c + \delta < x \leq l \end{cases}$$

振动. 若初位移为 0, 求解弦的横振动.

217. 两端固定的均匀弦, 其 $x=c$ 点受到尖锤的打击而获得冲量 I . 若初位移为 0, 求解弦的自由横振动.

提示: 首先假定冲量 I 均匀分布于 $c - \delta < x < c + \delta$ 段, 因而可以引用上题结果, 然后令 $\delta \rightarrow 0$.

218. 一长为 $2l$ 的均匀杆, 两端受力作用而分别压缩了 εl . 在 $t=0$ 时, 撤去外力. 试解杆的纵振动.

219. 设长为 l 的细杆, $x=0$ 端绝热, 另一端与外界按牛顿冷却定律交换热量, 外界温度为 0. 杆身的散热可忽略不计. 初始时, 杆的温度为 u_0 . 求杆中温度的分布与变化.

220. 求解细杆的导热问题, 杆长为 l , 两端 ($x=0$ 及 $x=l$) 均保持为零度, 初始温度分布 $u|_{t=0} = bx(l-x)/l^2$.

221. 求解:

$$\begin{cases} \frac{\partial^2 u}{\partial x^2} + \frac{\partial^2 u}{\partial y^2} = 0, \\ u|_{x=0} = u_0, \quad u|_{x=a} = u_0 y, \\ \frac{\partial u}{\partial y}\bigg|_{y=0} = 0, \quad \frac{\partial u}{\partial y}\bigg|_{y=b} = 0. \end{cases}$$

222. 在带形区域 $0 \leq x \leq a$, $0 \leq y < \infty$ 中求解

$$\begin{cases} \frac{\partial^2 u}{\partial x^2} + \frac{\partial^2 u}{\partial y^2} = 0, \\ u|_{x=0} = 0, \quad u|_{x=a} = 0, \\ u|_{y=0} = A\left(1 - \frac{x}{a}\right), \quad \lim_{y \rightarrow \infty} u = 0. \end{cases}$$

223. 当层状铀块的厚度超过一定值(称为临界厚度)时, 中子浓度将随时间增加而增加, 以致引起铀块爆炸。这就是原子弹爆炸的基本过程。试估计层状铀块的临界厚度。假定中子浓度满足齐次的第二类边界条件, 方程见第205题。

224. 求解两端固定弦的阻尼振动问题:

$$\begin{cases} \frac{\partial^2 u}{\partial t^2} + 2h \frac{\partial u}{\partial t} = a^2 \frac{\partial^2 u}{\partial x^2} \\ u|_{x=0} = 0, \quad u|_{x=l} = 0, \\ u|_{t=0} = \varphi(x), \quad \frac{\partial u}{\partial t}\bigg|_{t=0} = \psi(x). \end{cases}$$

225. 一个均匀的、各向同性的弹性方形膜, $0 \leq x \leq l$, $0 \leq y \leq l$, 四周夹紧。初始形状为 $Axy(l-x)(l-y)$, 初速度为 0, 求解膜的横振动。

226. 一个均匀的、各向同性的弹性方形膜, $0 \leq x \leq l$, $0 \leq y \leq l$, 边缘夹紧。若初始时在中心附近受到敲击, 使得

$$\left. \frac{\partial u}{\partial t} \right|_{t=0} = \begin{cases} v_0, & \frac{l}{2} - \delta < x < \frac{l}{2} + \delta, \quad \frac{l}{2} - \delta < y < \frac{l}{2} + \delta, \\ 0, & \text{其它各点,} \end{cases}$$

而初位移为 0。求解膜的横振动。

227. 均匀、各向同性的弹性方膜, $0 \leq x \leq l$, $0 \leq y \leq l$, 边缘夹紧。若初始时受到敲击, 使中心点得到冲量 I , 而初位移为 0, 试求解膜的横振动。

228. 一长为 l 的均匀圆杆作微小扭转振动。在振动过程中, 杆的各横截面仍保持为平面而绕杆轴扭转, 轴向上不发生位移。杆的一端固定, 另一端连接在圆盘上, 则偏转角 θ 所满足的方程和边界条件为

$$\begin{cases} \frac{\partial^2 \theta}{\partial t^2} - a^2 \frac{\partial^2 \theta}{\partial x^2} = 0, \\ \theta|_{x=0} = 0, \quad \left. \frac{\partial^2 \theta}{\partial t^2} \right|_{x=l} = -c^2 \left. \frac{\partial \theta}{\partial x} \right|_{x=l}, \end{cases}$$

a 和 c 均为实常数。

(1) 求相应的本征值 λ_n 及本征函数 $X_n(x)$;

(2) 计算积分 $\int_0^l X_n(x) X_m(x) dx$;

(3) 计算积分 $\int_0^l X'_n(x) X'_m(x) dx$ 。

229. 求解枢轴的扭转振动问题:

$$\begin{cases} \frac{\partial^2 u}{\partial t^2} - a^2 \frac{\partial^2 u}{\partial x^2} = 0, \\ u|_{x=0} = 0, \quad \left. \frac{\partial^2 u}{\partial t^2} \right|_{x=l} = -c^2 \left. \frac{\partial u}{\partial x} \right|_{x=l}, \\ u|_{t=0} = \varphi(x), \quad \left. \frac{\partial u}{\partial t} \right|_{t=0} = \psi(x). \end{cases}$$

230. 求解下列定解问题:

$$\begin{cases} \frac{\partial^2 u}{\partial t^2} - a^2 \frac{\partial^4 u}{\partial x^4} = 0, \\ u|_{x=0} = 0, \quad \frac{\partial^2 u}{\partial x^2} \Big|_{x=0} = 0, \\ u|_{x=l} = 0, \quad \frac{\partial^2 u}{\partial x^2} \Big|_{x=l} = 0, \\ u|_{t=0} = \varphi(x), \quad \frac{\partial u}{\partial t} \Big|_{t=0} = \psi(x). \end{cases}$$

231. 在矩形区域 $0 < x < a$, $-\frac{b}{2} < y < \frac{b}{2}$ 上求解:

(1) $\nabla^2 u = -2$,

(2) $\nabla^2 u = -x^2 y$,

而 u 在边界上的数值为 0.

232. 求解:

$$\begin{cases} \frac{\partial^2 u}{\partial t^2} - a^2 \frac{\partial^2 u}{\partial x^2} = bx(l-x), \\ u|_{x=0} = 0, \quad u|_{x=l} = 0, \\ u|_{t=0} = 0, \quad \frac{\partial u}{\partial t} \Big|_{t=0} = 0. \end{cases}$$

233. 解第202题.

234. 一细长杆, $x=0$ 端固定, $x=l$ 端受周期力 $A \sin \omega t$ 作用. 求解此杆的纵振动, 设初位移及初速度均为 0.

235. 试求下列定解问题之解:

$$\begin{cases} \frac{\partial^2 u}{\partial t^2} - a^2 \frac{\partial^2 u}{\partial x^2} = 0, \\ u|_{x=0} = \cos \frac{\pi}{l} at, \quad \frac{\partial u}{\partial x}|_{x=l} = 0, \\ u|_{t=0} = \cos \frac{\pi}{l} x, \quad \frac{\partial u}{\partial t}|_{t=0} = \sin \frac{\pi}{2l} x. \end{cases}$$

236. 求解下列定解问题:

$$\begin{cases} \frac{\partial u}{\partial t} - \kappa \frac{\partial^2 u}{\partial x^2} = 0, \\ u|_{x=0} = Ae^{-a^2 \kappa t}, \quad u|_{x=l} = Be^{-b^2 \kappa t}, \\ u|_{t=0} = 0. \end{cases}$$

237. 求解矩形区域内的第一类边值问题:

$$\begin{cases} \nabla^2 u = 0, \\ u|_{x=0} = \varphi_1(y), \quad u|_{x=a} = \varphi_2(y), \\ u|_{y=0} = \psi_1(x), \quad u|_{y=b} = \psi_2(x). \end{cases}$$

238. 求矩形区域 $0 \leq x \leq a$, $0 \leq y \leq b$ 内满足边界条件

$$\begin{cases} u|_{x=0} = Ay(b-y), \quad u|_{x=a} = 0, \\ u|_{y=0} = B \sin \frac{\pi}{a} x, \quad u|_{y=b} = 0 \end{cases}$$

的调和函数.

239. 求解第204题.

240. 竖直悬挂的一弹性杆, 上端($x=0$)固定, 下端

($x=l$) 挂有重物 P 。杆的单位质量上受外力 $f(x)$ 作用(重力包括在内)。试讨论杆的纵振动, 设初始条件为

$$u|_{t=0} = \varphi(x), \quad \left. \frac{\partial u}{\partial t} \right|_{t=0} = \psi(x).$$

提示: $x=l$ 端的边界条件为

$$\left. \frac{\partial^2 u}{\partial t^2} \right|_{x=l} = -c^2 \left. \frac{\partial u}{\partial x} \right|_{x=l} + g,$$

其中 $c = \sqrt{\frac{ES}{P}}$ (E 为杆的杨氏模量, S 为杆的横截面积), g 为重力加速度。

241. 求解第 210 题, 设初位移及初速度分别为 $\varphi(x)$ 及 $\psi(x)$ 。

242. 考虑有界弦的阻尼振动, 如果一端固定, 另一端在外力作用下作周期运动, 经过足够长的时间后, 初条件的影响则因受阻尼的作用而衰减殆尽, 因而问题便归结为求解无初值问题

$$\begin{cases} \frac{\partial^2 u}{\partial t^2} + h \frac{\partial u}{\partial t} = a^2 \frac{\partial^2 u}{\partial x^2}, \\ u|_{x=0} = 0, \quad u|_{x=l} = A \cos \omega t \end{cases}$$

的周期解, 试求之。

243. 热传导问题也存在无初值问题。典型的例子是地表温度的日变化或年变化向地层内传播而形成的温度波。把地球设想为均匀半无界空间, 试求无初值问题

$$\begin{cases} \frac{\partial u}{\partial t} - \kappa \frac{\partial^2 u}{\partial x^2} = 0, \\ u|_{x=0} = A \cos \omega t, \quad u|_{x \rightarrow \infty} \text{有界} \end{cases}$$

的周期解。

习题十三 正交曲线坐标系

244. 写出下列正交曲线坐标系中的拉普拉斯算子:

(1) 椭圆柱坐标系 (ξ, η, z) ,

$$x = a\xi\eta, \quad y = a\sqrt{(\xi^2 - 1)(1 - \eta^2)}, \quad z = z;$$

(2) 抛物线柱坐标系 (λ, μ, z) ,

$$x = \frac{1}{2}(\lambda - \mu), \quad y = \sqrt{\lambda\mu}, \quad z = z;$$

(3) 锥面坐标系 (r, λ, μ) ,

$$x = \frac{r}{\alpha} \sqrt{(a^2 - \lambda)(a^2 + \mu)},$$

$$y = \frac{r}{\beta} \sqrt{(\beta^2 + \lambda)(\beta^2 - \mu)},$$

$$z = \frac{r\sqrt{\lambda\mu}}{\alpha\beta} \quad (a^2 + \beta^2 = 1);$$

(4) 椭球坐标系 (λ, μ, ν) ,

$$x^2 = \frac{(a^2 + \lambda)(a^2 + \mu)(a^2 + \nu)}{(a^2 - b^2)(a^2 - c^2)},$$

$$y^2 = \frac{(b^2 + \lambda)(b^2 + \mu)(b^2 + \nu)}{(b^2 - c^2)(b^2 - a^2)},$$

$$z^2 = \frac{(c^2 + \lambda)(c^2 + \mu)(c^2 + \nu)}{(c^2 - a^2)(c^2 - b^2)}.$$

245. 在上述各坐标系中将拉普拉斯方程分离变数.

提示：(4)中应利用恒等式

$$(\mu - \nu)(\tau - \sigma\lambda) + (\nu - \lambda)(\tau - \sigma\mu) + (\lambda - \mu)(\tau - \sigma\nu) \equiv 0.$$

246. 一无穷长空心圆柱导体，分成两半，互相绝缘。一半电势为 V ，另一半电势为 $-V$ ，求柱内电势分布(见图 20)。

247. 半径为 a 、表面熏黑的均匀长圆柱，平放在地上，受到阳光照射，其垂直于光线的单位面积上单位时间内吸收热量为 M ，同时，柱面按牛顿冷却定律向外散热，外界温度为 0 (见图 21)。试求柱内稳定温度分布。

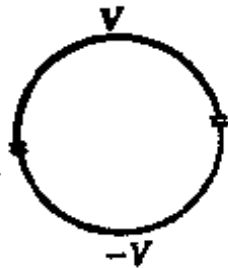


图 20

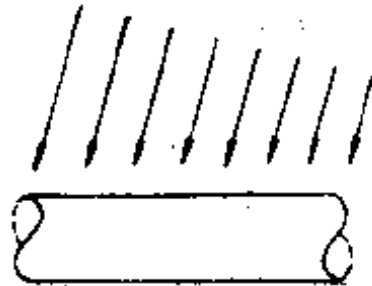


图 21

上，受到阳光照射，其垂直于光线的单位面积上单位时间内吸收热量为 M ，同时，柱面按牛顿冷却定律向外散热，外界温度为 0 (见图 21)。试求柱内稳定温度分布。

248. 求环形区域 $a \leq r \leq b$ 内满足边界条件

$$u|_{r=a} = f(\varphi), \quad u|_{r=b} = g(\varphi)$$

的调和函数。

249. 求扇形区域 $0 \leq r \leq a$, $0 \leq \varphi \leq \alpha$ 内的稳定温度分布。设区域内无热源，在扇形的直边上温度为 0，而在弧形边界上温度为 $f(\varphi)$ 。

250. 讨论上题中 $f(\varphi) = A$ (常数) 且 $\alpha = 2\pi$ 的情况，证明沿正实轴：

(1) 当 $\varphi \rightarrow 0$ 及 $\varphi \rightarrow 2\pi$ 时温度分布连续;

(2) 当 $\varphi \rightarrow 0$ 及 $\varphi \rightarrow 2\pi$ 时温度梯度 $\frac{1}{r} \frac{\partial u}{\partial \varphi}$ 不连续.

251. 在圆域 $0 \leq r \leq a$ 上求解:

$$(1) \begin{cases} \nabla^2 u = -4, \\ u|_{r=a} = 0; \end{cases} \quad (2) \begin{cases} \nabla^2 u = -4r \sin \varphi, \\ u|_{r=a} = 0; \end{cases}$$

$$(3) \begin{cases} \nabla^2 u = -4r^2 \sin 2\varphi, \\ u|_{r=a} = 0. \end{cases}$$

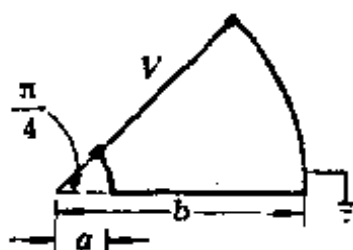


图 22

布.

252. 一个由理想导体做成的无穷长波导管, 其截面均匀, 如图 22 所示. 管内为真空. 假定一个平面 (即图中的一条直边) 的电势为 V , 其余面上的电势均为 0. 试求波导管内的电势分

253. 求解球内的定解问题:

$$\begin{cases} \frac{\partial u}{\partial t} - \frac{\kappa}{r^2} \frac{\partial}{\partial r} \left(r^2 \frac{\partial u}{\partial r} \right) = 0, \\ u|_{r=0} \text{ 有界}, \quad u|_{r=1} = A e^{-(p\pi)^2 \pi t}, \\ u|_{t=0} = 0. \end{cases}$$

提示: $\frac{1}{r^2} \frac{\partial}{\partial r} \left(r^2 \frac{\partial u}{\partial r} \right) \equiv \frac{1}{r} \frac{\partial^2}{\partial r^2} (ru).$

习题十四 斯特姆-刘维型本征值问题

254. 将下列方程化为斯特姆-刘维型方程的标准形式:

$$(1) \quad x \frac{d^2 y}{dx^2} + 2 \frac{dy}{dx} + (x + \lambda)y = 0;$$

$$(2) \quad \frac{d^2 y}{dx^2} + \operatorname{ctg} x \frac{dy}{dx} + \lambda y = 0;$$

$$(3) \quad x(1-x) \frac{d^2 y}{dx^2} + (a-bx) \frac{dy}{dx} - \lambda y = 0;$$

$$(4) \quad x \frac{d^2 y}{dx^2} + (1-x) \frac{dy}{dx} + \lambda y = 0.$$

255. 设有本征值问题

$$\begin{cases} \frac{d}{dx} \left[p(x) \frac{dy}{dx} \right] + [\lambda \rho(x) - q(x)]y = 0, \\ y'(a) = 0, \quad y'(b) = 0, \end{cases}$$

其中 $p(x)$, $\rho(x)$ 及 $q(x)$ 在 $a \leq x \leq b$ 中均连续, 且 $p(x) \geq p_0 > 0$, $\rho(x) \geq \rho_0 > 0$. 试证明其本征函数的正交性.

256. 假设斯特姆-刘维型方程的本征值问题

$$\begin{cases} \frac{d}{dx} \left[p(x) \frac{dy}{dx} \right] + [\lambda \rho(x) - q(x)]y = 0, \\ \left(a \frac{dy}{dx} - by \right)_{x=0} = 0, \quad \left(c \frac{dy}{dx} + dy \right)_{x=l} = 0 \end{cases}$$

中, $p(x) \geq p_0 > 0$, $q(x) \geq 0$, $\rho(x) \geq \rho_0 > 0$, a 与 b 及 c 与 d 均为不同时为 0 的非负常数, 试证明其本征值 $\lambda_n \geq 0$.

257. 求解本征值问题

$$\begin{cases} \frac{1}{r} \frac{d}{dr} \left(r \frac{dR}{dr} \right) + \frac{\lambda}{r^2} R = 0, \\ R(a) = 0, \quad R(b) = 0, \end{cases}$$

其中 $b > a > 0$.

258. 证明下列奇异的本征值问题是自伴的:

$$(1) \begin{cases} \frac{d}{dx} \left[(1-x^2) \frac{dy}{dx} \right] + \lambda y = 0, \\ y(\pm 1) \text{ 有界}, \end{cases}$$

$$(2) \begin{cases} \frac{1}{x} \frac{d}{dx} \left(x \frac{dy}{dx} \right) + \lambda y = 0, \\ y(0) \text{ 有界}, \quad y(1) = 0. \end{cases}$$

259. 设有本征值问题:

$$\begin{cases} \frac{d}{dx} \left[p(x) \frac{dy}{dx} \right] + [\lambda \rho(x) - q(x)] y = 0, \\ y(b) = \alpha_{11} y(a) + \alpha_{12} y'(a), \\ y'(b) = \alpha_{21} y(a) + \alpha_{22} y'(a), \end{cases}$$

其中 $p(a) = p(b)$. 试证明, 当

$$\begin{vmatrix} \alpha_{11} & \alpha_{12} \\ \alpha_{21} & \alpha_{22} \end{vmatrix} = 1$$

时, 对应不同本征值的本征函数正交。

260. 两条 质 料 不同、长 各 为 l_1 和 l_2 的 均 匀 弦 连 接 在 一 起, 而 两 端 ($x=0$ 及 $x=l_1+l_2$) 固 定。试 决 定 弦 的 横 振 动 本 征 频 率, 并 验 证 本 征 函 数 的 正 交 性。

261. 杆 AC 由 两 部 分 组 成: $AB=l_1, BC=l_2$, 它 们 分 别 都 是 均 匀 的。设 A 端 固 定, C 端 自 由, 求 杆 的 纵 振 动 本 征 频 率。

262. 三 维 空 间 中 的 本 征 值 问 题。设 本 征 值 问 题 为

$$\begin{cases} \nabla^2 u + \lambda u = 0, & (x, y, z) \in V, \\ \left(\alpha u + \beta \frac{\partial u}{\partial n} \right)_\Sigma = 0, \end{cases}$$

其中 Σ 是 V 的 边 界。若 对 应 本 征 值 λ_n 的 本 征 函 数 为 u_n , 试 证 明:

$$\iiint_V u_m^* u_n dV = 0, \quad m \neq n,$$

即 对 应 不 同 本 征 值 的 本 征 函 数 正 交。

263. 若 上 题 中 的 微 分 方 程 改 为

$$\nabla \cdot [p(x, y, z) \nabla u] + \lambda \rho(x, y, z) u = 0,$$

试 证 明: 对 应 不 同 本 征 值 的 本 征 函 数 在 空 间 区 域 V 中 以 权 重 $\rho(x, y, z)$ 正 交。

264. 设 本 征 值 问 题

$$\begin{cases} \nabla^2 \Phi + \lambda \Phi = 0, \\ \Phi|_\Sigma = 0 \end{cases}$$

的 解 (本 征 函 数) 为 $\{\Phi_k\}$, 对 应 的 本 征 值 为 $\{\lambda_k\}$, $k=1, 2, 3, \dots$ 。试 证 明: 当 $\lambda=0$ 不 是 本 征 值 时, 泊 松 方 程 的 第 一 类 边 值 问 题

$$\begin{cases} \nabla^2 u = -f, \\ u|_Z = 0 \end{cases}$$

的解为

$$u = \sum_{k=1}^{\infty} \frac{A_k}{\lambda_k} \Phi_k,$$

A_k 是非齐次项 f 按 $\{\Phi_k\}$ 展开的系数.

265. 证明: 如果上题中 Φ 与 u 的边界条件改为齐次的第二类或第三类边条件时, 结论仍然正确.

266. 在与第264题相同的条件下, 证明

$$\begin{cases} \nabla^2 u + \Lambda u = -f, & \Lambda \neq \lambda_k \\ u|_Z = 0 \end{cases}$$

的解为

$$u = \sum_{k=1}^{\infty} \frac{A_k}{\lambda_k - \Lambda} \Phi_k.$$

267. 用第264题的方法求解矩形区域 $0 \leq x \leq a$, $0 \leq y \leq b$ 内泊松方程的定解问题

$$\begin{cases} \frac{\partial^2 u}{\partial x^2} + \frac{\partial^2 u}{\partial y^2} = -f(x, y), \\ u|_{x=0} = 0, \quad u|_{x=a} = 0, \\ u|_{y=0} = 0, \quad u|_{y=b} = 0. \end{cases}$$

268. 用第264题的方法求解第231题.

269. 设有本征值问题

$$\begin{cases} \frac{d^2}{dx^2} \left[p(x) \frac{d^2 y}{dx^2} \right] + \frac{d}{dx} \left[q(x) \frac{dy}{dx} \right] + [\lambda \rho(x) - r(x)] y = 0, \\ y|_{x=a} = 0, \quad p(x) \frac{d^2 y}{dx^2} \Big|_{x=a} = 0, \\ \frac{dy}{dx} \Big|_{x=b} = 0, \quad \frac{d}{dx} \left[p(x) \frac{d^2 y}{dx^2} \right] \Big|_{x=b} = 0, \end{cases}$$

试证明：对应不同本征值的本征函数正交。

270. 设有 4 阶常微分方程

$$\begin{aligned} \frac{d^2}{dx^2} \left[p(x) \frac{d^2 y}{dx^2} \right] + \frac{d}{dx} \left[q(x) \frac{dy}{dx} \right] \\ + [\lambda \rho(x) - r(x)] y = 0, \end{aligned}$$

$p(x), q(x), \rho(x)$ 及 $r(x)$ 均为已知, λ 为待定系数。若 $y(x)$ 在端点 $x=a$ 及 $x=b$ 均满足下列边界条件

$$y = 0, \quad \frac{dy}{dx} = 0 \quad \text{或} \quad y = 0, \quad p(x) \frac{d^2 y}{dx^2} = 0$$

或

$$\frac{dy}{dx} = 0, \quad \frac{d}{dx} \left[p(x) \frac{d^2 y}{dx^2} \right] = 0,$$

试证明：对应于不同本征值的本征函数在区间 $[a, b]$ 上以权重 $\rho(x)$ 正交。

271. 设有本征值问题

$$\begin{cases} X^{(4)} + \lambda X = 0, \\ X(0) = 0, \quad X(l) = 0, \\ X''(0) = 0, \quad X''(l) = 0, \end{cases}$$

证明：本征值

$$\lambda_n = - \frac{\int_0^1 |X_n''(x)|^2 dx}{\int_0^1 |X_n'(x)|^2 dx} < 0.$$

习题十五 球 函 数^①

272. 试根据勒让德方程在 $x=1$ 的有界解(见第198题)求解本征值问题

$$\begin{cases} \frac{d}{dx} \left[(1-x^2) \frac{dy}{dx} \right] + \mu(\mu+1)y = 0, \\ y(\pm 1) \text{ 有界.} \end{cases}$$

提示: 讨论时可利用高斯判别法.

273. 证明:

$$(1) \quad P_{2k}(0) = (-)^k \frac{(2k)!}{2^{2k}(k!)^2}$$

$$= (-)^{k+1} \frac{2}{B\left(k+1, -\frac{1}{2}\right)}, P_{2k+1}(0) = 0;$$

$$(2) \quad P'_{2k}(0) = 0, \quad P'_{2k+1}(0) = (-)^k \frac{(2k+1)!}{2^{2k}(k!)^2}$$

$$= (-)^k \frac{2}{B\left(k+1, \frac{1}{2}\right)};$$

$$(3) \quad P'_k(1) = \frac{1}{2}k(k+1),$$

$$P'_k(-1) = \frac{(-)^{k-1}}{2}k(k+1),$$

^① 在本习题中, k, l 均代表非负整数.

$$P_k''(1) = \frac{1}{8}(k-1)k(k+1)(k+2).$$

274. 证明:

$$\begin{aligned} & \int_{-1}^1 P_k(x)P_l(x)dx \\ &= \frac{(1-x^2)[P_k'(x)P_l(x) - P_l'(x)P_k(x)]}{k(k+1) - l(l+1)}, \quad k \neq l. \end{aligned}$$

275. 计算积分

$$\int_{-1}^1 x^k P_l(x) dx,$$

并由此导出

$$\int_{-1}^1 P_k(x)P_l(x)dx = \frac{2}{2l+1}\delta_{kl}.$$

276. 利用罗巨格公式证明

$$\int_{-1}^1 (1+x)^k P_l(x) dx = \frac{2^{k+1}(k!)^2}{(k-l)! (k+l+1)!}, \quad k \geq l.$$

若 $k < l$ 时又如何?

277. 试由罗巨格公式出发, 将勒让德多项式表示成围道积分, 从而导出勒让德多项式的积分表示:

$$P_l(x) = \frac{1}{\pi} \int_0^\pi (x \pm \sqrt{x^2 - 1} \cos \varphi)^l d\varphi.$$

278. 证明: $P_l(x)$ 的零点均为实数, 且全都在区间 $(-1, 1)$ 内.

279. 设 (x, y, z) 为空间一点的坐标, θ 为矢径 r 与 z 轴的夹角, $r = |\mathbf{r}|$, 证明

$$P_l(\cos \theta) = \frac{(-)^l}{l!} \frac{\partial^l}{\partial z^l} \frac{1}{r} \Big|_{r=1}.$$

280. 从勒让德多项式的生成函数出发, 证明:

$$(1) P_l(-x) = (-)^l P_l(x);$$

$$(2) P_l\left(-\frac{1}{2}\right) = \sum_{k=0}^{2l} P_k\left(-\frac{1}{2}\right) P_{2l-k}\left(\frac{1}{2}\right);$$

$$(3) P_l(\cos 2\theta) = \sum_{k=0}^{2l} (-)^k P_k(\cos \theta) P_{2l-k}(\cos \theta);$$

$$(4) \int_{-1}^1 P_k(x) P_l(x) dx = \frac{2}{2l+1} \delta_{kl}.$$

281. 证明:

$$P_k(\cos \theta) = \frac{(2k)!}{2^{2k-1}(k!)^2} \left\{ \cos k\theta + \frac{1 \cdot k}{1 \cdot (2k-1)} \cos(k-2)\theta \right. \\ \left. + \frac{1 \cdot 3}{1 \cdot 2} \frac{k(k-1)}{(2k-1)(2k-3)} \cos(k-4)\theta + \dots \right\}.$$

282. 如果 $|x|$ 足够小, 且

$$f(x) = \sum_{k=0}^{\infty} \frac{a_k x^k}{k!},$$

证明: $f(x)$ 可按勒让德多项式展开,

$$f(x) = \sum_{l=0}^{\infty} C_l P_l(x),$$

其中,

$$C_l = (2l+1) \sum_{k=0}^{\infty} \frac{\Gamma\left(\frac{3}{2}\right) a_{l+2k}}{2^{l+2k} k! \Gamma\left(l+k+\frac{3}{2}\right)}.$$

283. 计算下列积分:

$$(1) \int_{-1}^1 P'_k(x) P_l(x) dx,$$

$$(2) \int_{-1}^1 \frac{P_l(x)}{(1-2xt+t^2)^{3/2}} dx.$$

284. 证明: 对于足够小的 $|t|$, 下式成立:

$$(1-t^2)(1-2xt+t^2)^{-3/2} = \sum_{l=0}^{\infty} (2l+1)P_l(x)t^l.$$

285. 利用

$$\frac{1}{\sqrt{1-2xt+t^2}} = \frac{1}{1-xt} \sqrt{\frac{1}{1-\frac{t^2(x^2-1)}{(1-xt)^2}}},$$

证明:

$$P_l(x) = \sum_{k=0}^{[l/2]} \frac{l!}{2^{2k}(k!)^2(l-2k)!} (x^2-1)^k x^{l-2k}.$$

286. 利用上题结果, 证明:

$$e^{xt} J_0(t\sqrt{1-x^2}) = \sum_{l=0}^{\infty} \frac{P_l(x)t^l}{l!},$$

其中

$$J_0(x) = \sum_{k=0}^{\infty} \frac{(-)^k}{(k!)^2} \left(\frac{x}{2}\right)^{2k}$$

是零阶贝塞耳函数 (参见习题十六).

287. 在上题中分别令 $x = \cos \alpha$, $t = r \sin \beta$ 及 $x = \cos \beta$, $t = r \sin \alpha$, 从而推出

$$P_l(\cos \alpha) = \left(\frac{\sin \alpha}{\sin \beta} \right)^l \sum_{k=0}^l \frac{l!}{k!(l-k)!} \times \left[\frac{\sin(\beta - \alpha)}{\sin \alpha} \right]^{l-k} P_k(\cos \beta).$$

288. 计算下列积分:

$$(1) \int_{-1}^1 (1-x^2) \frac{dP_k(x)}{dx} \frac{dP_l(x)}{dx} dx;$$

$$(2) \int_{-1}^1 \frac{dP_k(x)}{dx} \frac{dP_l(x)}{dx} dx.$$

289. 计算下列积分:

$$(1) \int_0^1 P_k(x) P_l(x) dx;$$

$$(2) \int_{-1}^1 x P_k(x) P_{k+1}(x) dx;$$

$$(3) \int_{-1}^1 x^2 P_k(x) P_{k+2}(x) dx;$$

$$(4) \int_{-1}^1 [x P_k(x)]^2 dx.$$

290. 将下列函数按勒让德多项式展开:

$$(1) f(x) = x^2; \quad (2) f(x) = |x|;$$

$$(3) f(x) = \begin{cases} 0, & -1 \leq x < 0, \\ x, & 0 \leq x \leq 1; \end{cases}$$

$$(4) f(x) = \sqrt{1 - 2xt + t^2}.$$

291. 定义

$$Q_1(x) = -\frac{1}{2} \int_{-1}^1 \frac{P_1(t)}{x-t} dt,$$

- (1) 证明 $Q_1(x)$ 是勒让德方程的解;
 (2) 求出 $Q_0(x)$, $Q_1(x)$ 和 $Q_2(x)$ 的表达式.

292. 求解下列本征值问题:

$$(1) \begin{cases} \frac{d}{dx} \left[(1-x^2) \frac{dy}{dx} \right] + \lambda y = 0, \\ y(0) = 0, \quad y(1) \text{ 有界}; \end{cases}$$

$$(2) \begin{cases} \frac{d}{dx} \left[(1-x^2) \frac{dy}{dx} \right] + \lambda y = 0, \\ y'(0) = 0, \quad y(1) \text{ 有界}. \end{cases}$$

293. 求解球内定解问题:

$$\begin{cases} \nabla^2 u = 0, & r < a, \\ u|_{r=a} = \begin{cases} u_0, & 0 \leq \theta \leq \alpha, \\ 0, & \alpha < \theta \leq \pi. \end{cases} \end{cases}$$

294. 求解第208题, 假定温度已达到稳定.

295. 求解下列定解问题:

$$\begin{cases} \nabla^2 u = 0, & a < r < b, \\ u|_{r=a} = u_0, \quad u|_{r=b} = u_0 \cos^2 \theta. \end{cases}$$

296. 一完全柔软的均匀细线, 重力可以忽略. $x=0$ 端固定在匀速转动的轴上, 角速度为 ω , 另一端 ($x=l$) 自由. 由于惯性离心力的作用, 此细线的平衡位置为水平线. 当此线相对于其平衡位置作横振动时, 方程及定解条件为

$$\begin{cases} \frac{\partial^2 u}{\partial t^2} - \frac{1}{2} \omega^2 \frac{\partial}{\partial x} \left[(l^2 - x^2) \frac{\partial u}{\partial x} \right] = 0, \\ u|_{x=0} = 0, \quad u|_{x=l} \text{ 有界}, \\ u|_{t=0} = \varphi(x), \quad \left. \frac{\partial u}{\partial t} \right|_{t=0} = \psi(x), \end{cases}$$

试求解此定解问题。

297. 设有一半径为 a 的导体半球, 球面温度为 1°C , 底面温度为 0°C , 求半球内的稳定温度分布。

298. 一个均匀圆盘, 总质量为 M , 半径为 a , 求空间任一点的引力势。

299. 有一半径为 b 的接地导体球壳, 球壳内放一圆环, 环半径为 a , 环心与球心重合, 环上均匀带电, 总电荷为 Q . 求球内的电势分布。

300. 将下列函数按球谐函数 $Y_{lm}(\theta, \varphi)$ 展开:

(1) $\sin^2\theta \cos^2\varphi$; (2) $(1 + 3\cos\theta)\sin\theta \cos\varphi$.

301. 在半径为 a 的

(1) 球内区域, (2) 球外区域,

求解:

$$\begin{cases} \nabla^2 u = 0, \\ \left. \frac{\partial u}{\partial r} \right|_{r=a} = f(\theta, \varphi). \end{cases}$$

302. 一半径为 a 的均匀导体球, 表面温度为

(1) $u|_{r=a} = P_1^1(\cos\theta)\cos\varphi$,

(2) $u|_{r=a} = P_1(\cos\theta)\sin\theta \cos\varphi$,

试求出球内的稳定温度分布。

303. 求解球内问题:

$$\begin{cases} \frac{1}{r^2} \frac{\partial}{\partial r} \left(r^2 \frac{\partial u}{\partial r} \right) + \frac{1}{r^2 \sin \theta} \frac{\partial}{\partial \theta} \left(\sin \theta \frac{\partial u}{\partial \theta} \right) + \frac{1}{r^2 \sin^2 \theta} \frac{\partial^2 u}{\partial \varphi^2} \\ = A + Br^2 \sin 2\theta \cos \varphi, \\ u|_{r=a} = 0, \end{cases}$$

其中 A, B 为已知常数.

习题十六 柱 函 数

304. 计算 $W[J_0(x), J_0(x)]$ 及 $W[J_0(x), Y_0(x)]$, 其中,

$$W[y_1, y_2] \equiv \begin{vmatrix} y_1 & y_2 \\ y_1' & y_2' \end{vmatrix}.$$

提示: 先证明 $xW[J_0(x), J_0(x)]$ 为常数, 然后定出此常数值.

305. 利用上题结果, 计算下列积分:

$$(1) \int \frac{dx}{x J_0^2(x)}, \quad (2) \int \frac{dx}{x Y_0^2(x)};$$

$$(3) \int \frac{dx}{x J_0(x) Y_0(x)}, \quad (4) \int \frac{dx}{x [J_0^2(x) + Y_0^2(x)]}.$$

306. 有很多方程经过适当的自变数或因变数变换可化成贝塞耳方程而得出它的解. 例如, 方程

$$u'' + \frac{1-2\alpha}{z} u' + \left[(\beta \gamma z^{\gamma-1})^2 + \frac{a^2 - \gamma^2 \nu^2}{z^2} \right] u = 0$$

的通解即为 $c_1 z^\alpha J_\nu(\beta z^\gamma) + c_2 z^\alpha Y_\nu(\beta z^\gamma)$. 试验证此结果.

307. 利用上题结果, 解下列常微分方程:

(1) $u'' + az^b u = 0;$

(2) $z^2 u'' - 2zu' + 4(z^4 - 1)u = 0;$

(3) $zu'' - 3u' + zu = 0;$

(4) $zu'' - u' + 4z^3 u = 0;$

(5) $z^2 u'' + zu' - \left(z^2 + \frac{1}{4}\right)u = 0;$

(6) $zu'' - u' - zu = 0;$ (7) $u'' - z^2 u = 0;$

(8) 一单摆在其平衡位置附近作微小振动。若摆长以等速率 b 增长, 而初始时摆长为 a , 则其动力学方程为

$$(a + bt)\ddot{\theta} + 2b\dot{\theta} + g\theta = 0.$$

设 $t = 0$ 时单摆静止于 $\theta(0) = \theta_0$ 处, 试求 $\theta(t)$.

308. 证明:

(1) $\cos x = J_0(x) - 2J_2(x) + 2J_4(x) - + \dots,$
 $\sin x = 2J_1(x) - 2J_3(x) + 2J_5(x) - + \dots;$

(2) $J_0^2(x) + 2 \sum_{n=1}^{\infty} J_n^2(x) = 1;$

(3) $x = 2\{J_1(x) + 3J_3(x) + 5J_5(x) + \dots\};$

(4) $x^2 = 2 \sum_{n=1}^{\infty} (2n)^2 J_{2n}(x).$

309. 将函数 $f(\theta) = \cos(x \sin \theta)$ 和 $g(\theta) = \sin(x \sin \theta)$ 展为傅里叶级数.

310. 将函数 $\cos(z \cos \varphi)$ 展开为 z 的幂级数, 逐项积分, 证明:

$$J_\nu(z) = \frac{\left(\frac{z}{2}\right)^\nu}{\Gamma\left(\nu + \frac{1}{2}\right)\Gamma\left(\frac{1}{2}\right)} \int_0^\pi \cos(z \cos \varphi) \sin^{2\nu} \varphi d\varphi$$

$$= \frac{\left(\frac{z}{2}\right)^\nu}{\Gamma\left(\nu + \frac{1}{2}\right)\Gamma\left(\frac{1}{2}\right)} \int_{-1}^1 \cos(z\xi) (1 - \xi^2)^{\nu - \frac{1}{2}} d\xi,$$

其中 $\operatorname{Re} \nu > -\frac{1}{2}$.

这个结果可以用来把“李萨如图形”展成傅里叶级数. 作为一个例子, 试将函数 $y = \sqrt{\pi^2 - x^2}$ 展成傅里叶级数.

311. 证明:

$$\int x J_\nu^2(x) dx = \frac{1}{2} x^2 [J_\nu^2(x) + J_{\nu+1}^2(x)]$$

$$- \nu x J_\nu(x) J_{\nu+1}(x) + C,$$

其中 $\operatorname{Re} \nu \geq 0$, C 为积分常数.

如果把式中的贝塞耳函数换成其它类型的柱函数, 公式还成立吗?

312. 计算作为本征函数的贝塞耳函数的归一因子的另一种方法如下: 设 μ_i 是 $J_n(x)$ 的正零点, 试证:

$$\int_0^1 J_n(\mu_i x) J_n(ax) x dx = - \frac{\mu_i J_n(a) J_n'(\mu_i)}{\mu_i^2 - a^2}.$$

然后, 令 $a \rightarrow \mu_i$, 由此计算出积分

$$\int_0^1 J_n^2(\mu_i x) x dx.$$

313. 设 μ_i 是 $J'_n(x)$ 的正零点, 重复上题的步骤, 计算积分:

$$\int_0^1 J_n^2(\mu_i x) x dx.$$

314. 若 $\operatorname{Re} \nu > -1$, 证明:

$$\frac{1}{2} \int_0^x J_\nu(x) dx = J_{\nu+1}(x) + J_{\nu+3}(x) + \dots + J_{\nu+2n+1}(x) + \dots$$

315. 计算下列积分:

$$(1) \int_0^x x^{-n} J_{n+1}(x) dx, \quad (2) \int_0^a x^3 J_0(x) dx;$$

$$(3) \int_0^\infty e^{-ax} J_0(\sqrt{bx}) dx, \quad a > 0, \quad b \geq 0;$$

$$(4) \int_0^t J_0(\sqrt{x(t-x)}) dx.$$

316. 证明:

$$\begin{aligned} \int_0^t [\sqrt{x(t-x)}]^n J_n(\sqrt{x(t-x)}) dx \\ = 2^{-n} \sqrt{\pi} t^{n+\frac{1}{2}} J_{n+\frac{1}{2}}\left(\frac{t}{2}\right). \end{aligned}$$

317. 证明:

$$\int_0^1 \sqrt{1-x} \sin(a\sqrt{x}) dx = \frac{\pi}{a} J_2(a),$$

以及, 更一般地,

$$\int_0^1 (1-x)^{c-1} x^{\frac{n}{2}} J_n(a\sqrt{x}) dx = \Gamma(c) \left(\frac{2}{a}\right)^c J_{n+c}(a).$$

318. 设 $\nu > -1$, $a > 0$, $b > 0$, 证明:

$$(1) \int_0^{\infty} e^{-a^2 x} J_{\nu}(bx) x^{\nu+1} dx = \frac{2a(2b)^{\nu} \Gamma\left(\nu + \frac{3}{2}\right)}{\sqrt{\pi} (a^2 + b^2)^{\nu + \frac{3}{2}}};$$

$$(2) \int_0^{\infty} e^{-a^2 x^2} J_{\nu}(bx) x^{\nu+1} dx = \frac{b^{\nu}}{(2a^2)^{\nu+1}} e^{-\frac{b^2}{4a^2}}.$$

319. 证明:

$$(1) \int_0^{\infty} \frac{\sin p}{p} J_0(rp) dp = \begin{cases} \frac{\pi}{2}, & 0 \leq r \leq 1, \\ \sin^{-1} \frac{1}{r}, & r > 1; \end{cases}$$

$$(2) \int_0^{\infty} \sin p J_0(rp) dp = \begin{cases} \frac{1}{\sqrt{1-r^2}}, & 0 < r < 1, \\ \infty & r = 1, \\ 0 & r > 1; \end{cases}$$

$$(3) \int_0^{\infty} J_0(rp) J_1(ap) dp = \begin{cases} \frac{1}{a}, & r < a, \\ \frac{1}{2a}, & r = a, \\ 0, & r > a. \end{cases}$$

320. 根据诺依曼函数 $Y_{\nu}(z)$ 的定义

$$Y_{\nu}(z) = \frac{\cos \nu \pi \cdot J_{\nu}(z) - J_{-\nu}(z)}{\sin \nu \pi},$$

证明:

$$(1) Y_{-\nu}(z) = \sin \nu \pi J_{\nu}(z) + \cos \nu \pi Y_{\nu}(z),$$

$$Y_{\nu}(ze^{m\pi i}) = e^{-m\nu\pi i} Y_{\nu}(z) + 2i \sin m\nu\pi \operatorname{ctg} \nu \pi J_{\nu}(z),$$

$$Y_{-\nu}(ze^{m\pi i}) = e^{-m\nu\pi i} Y_{-\nu}(z)$$

$$+ 2i \sin m\nu\pi \operatorname{cosec} \nu \pi J_{\nu}(z);$$

(2) $Y_\nu(z)$ 的递推关系与 $J_\nu(z)$ 相同, 即

$$\frac{d}{dz} z^\nu Y_\nu(z) = z^\nu Y_{\nu-1}(z),$$

$$\frac{d}{dz} z^{-\nu} Y_\nu(z) = -z^{-\nu} Y_{\nu+1}(z).$$

321. 设有一柱体, 半径为 a , 高为 h , 与外界绝热, 初始时温度为 $u_0 \left(1 - \frac{r^2}{a^2}\right)$, 求此柱体内温度的变化与分布.

又当 t 足够长时, 该柱体的温度应达到稳定, 试求此稳定温度.

提示: 先判定温度与 φ, z 无关.

322. 半径为 R 的圆形膜, 边缘固定, 初始形状是旋转抛物面

$$u|_{t=0} = H \left(1 - \frac{r^2}{R^2}\right),$$

初速为 0, 求解膜的横振动.

323. 求解下列定解问题:

$$\begin{cases} \frac{\partial u}{\partial t} - \kappa \left[\frac{1}{r} \frac{\partial}{\partial r} \left(r \frac{\partial u}{\partial r} \right) + \frac{1}{r^2} \frac{\partial^2 u}{\partial \varphi^2} \right] = 0, \\ u|_{r=a} = 0, \quad u|_{t=0} = u_0 \sin 2\varphi. \end{cases}$$

324. 一长为 π 、半径为 1 的圆柱形导体, 柱体的侧面和其上下底的温度均保持为 0, 初始时柱体内的温度分布为 $f(r) \sin n z$, 求柱体内温度的变化与分布.

325. 一空心圆柱, 内半径为 a , 外半径为 b , 维持内外柱面温度为 0. 又设柱体高为 h , 上下底绝热, 初温为常数 u_0 , 求柱体内温度的变化与分布.

326. 半径为 R 的圆形膜, 边缘固定, 在单位质量上受

周期力

$$(1) f(r, t) = A \sin \omega t,$$

$$(2) f(r, t) = A \left(1 - \frac{r^2}{R^2}\right) \sin \omega t$$

的作用, 求解膜的强迫振动, 设初位移和初速度均为 0.

327. 求长圆柱形轴块的临界半径.

328. 一完全柔软的均匀线, 密度为 ρ , 上端($x=l$) 固定在匀速转动的轴上, 角速度为 ω , 下端($x=0$) 自由. 此线相对于平衡位置作横振动. 横振动方程及定解条件为

$$\begin{cases} \frac{\partial^2 u}{\partial t^2} - g \frac{\partial}{\partial x} \left(x \frac{\partial u}{\partial x} \right) - \omega^2 u = 0, \\ u|_{x=0} \text{ 有界}, u|_{x=l} = 0, \\ u|_{t=0} = \varphi(x), \quad \frac{\partial u}{\partial t} \Big|_{t=0} = \psi(x), \end{cases}$$

试求 $u(x, t)$.

提示: 解本征值问题时利用第306题的结果.

329. 一完全柔软的线, 上端($x=l$) 固定, 下端($x=0$) 自由. 线的线密度为 $\rho = ax^m (m > -1)$, 则线的自由横振动方程及边界条件为

$$\begin{cases} \frac{\partial^2 u}{\partial t^2} - \frac{gx}{m+1} \frac{\partial^2 u}{\partial x^2} - g \frac{\partial u}{\partial x} = 0, \\ u|_{x=0} \text{ 有界}, u|_{x=l} = 0. \end{cases}$$

设初位移和初速度分别为

$$u|_{t=0} = \varphi(x), \quad \frac{\partial u}{\partial t} \Big|_{t=0} = \psi(x),$$

试求 $u(x, t)$.

330. 证明:

$$(1) H_{-}^{(1)}(z) = e^{\nu\pi i} H_{+}^{(1)}(z), \quad H_{-}^{(2)}(z) = e^{-\nu\pi i} H_{+}^{(2)}(z);$$

$$(2) H_{+}^{(1)}(ze^{m\pi i}) = \frac{\sin(1-m)\nu\pi}{\sin\nu\pi} H_{+}^{(1)}(z) \\ - e^{-\nu\pi i} \frac{\sin m\nu\pi}{\sin\nu\pi} H_{+}^{(2)}(z),$$

$$H_{+}^{(2)}(ze^{m\pi i}) = \frac{\sin(1+m)\nu\pi}{\sin\nu\pi} H_{+}^{(2)}(z) \\ + e^{\nu\pi i} \frac{\sin m\nu\pi}{\sin\nu\pi} H_{+}^{(1)}(z).$$

331. 若 n 为一正整数, 证明:

$$J_{n+\frac{1}{2}}(x) = i^{-n} \sqrt{\frac{x}{2\pi}} \int_{-1}^1 e^{ix\mu} P_n(\mu) d\mu,$$

并推出

$$i^n \sqrt{2\pi} \int_{-\infty}^{\infty} e^{-itx} J_{n+\frac{1}{2}}(x) x^{-\frac{1}{2}} dx = \begin{cases} 2\pi P_n(t), & |t| < 1, \\ 0, & |t| > 1, \end{cases}$$

其中 $P_n(x)$ 是 n 次勒让德多项式.

332. 一导体球, 半径为 a , 初温为常温 u_0 , 球面温度为 0, 求球内温度的变化和分布.

333. 确定球形铀块的临界半径.

334. 定义:

$$K_{\nu}(z) = \frac{2}{2\sin\nu\pi} [I_{-\nu}(z) - I_{\nu}(z)],$$

试证明:

$$K_{\nu}(z) = \begin{cases} \frac{\pi}{2} i e^{\frac{1}{2}\nu\pi i} H_{\nu}^{(1)}(ze^{\frac{1}{2}\pi i}), & -\pi < \arg z \leq \frac{\pi}{2}, \\ -\frac{\pi}{2} i e^{-\frac{1}{2}\nu\pi i} H_{\nu}^{(2)}(ze^{-\frac{1}{2}\pi i}), & -\frac{\pi}{2} < \arg z < \pi. \end{cases}$$

335. 证明:

$$\begin{aligned}
 (1) \int_0^{\infty} e^{-\frac{1}{2}ax} \sin bx I_0\left(\frac{1}{2}ax\right) dx \\
 = \frac{1}{\sqrt{2b}} \frac{1}{\sqrt{a^2+b^2}} \sqrt{b + \sqrt{a^2+b^2}}, \\
 \int_0^{\infty} e^{-\frac{1}{2}ax} \cos bx I_0\left(\frac{1}{2}ax\right) dx \\
 = \frac{1}{\sqrt{2b}} \frac{1}{\sqrt{a^2+b^2}} \frac{a}{\sqrt{b + \sqrt{a^2+b^2}}},
 \end{aligned}$$

其中 $a > 0, b > 0$;

$$(2) \int_0^{\infty} I_0(ax) K_0(\beta x) x dx = \frac{1}{a^2 + \beta^2}, \quad a > 0, \operatorname{Re} \beta > 0.$$

336. 高为 h , 半径为 a 的圆柱体, 上下底保持温度为 0, 而柱面温度为 $u_0 \sin \frac{2\pi}{h} z$, 求柱体内的稳定温度分布.

337. 证明

$$K_0(x) = \int_0^{\infty} e^{-x \cosh t} dt$$

满足零阶虚宗量贝塞耳方程, 由此证明当 x 很大时, $K_0(x)$ 的渐近形式为 Ae^{-x}/\sqrt{x} . 定出常数 A .

338. 假定零阶虚宗量贝塞耳方程

$$\frac{d^2 y}{dx^2} + \frac{1}{x} \frac{dy}{dx} - y = 0$$

的形式解为

$$y \sim e^{\lambda x} x^{-\rho} \sum_{k=0}^{\infty} a_k x^{-k}, \quad a_0 \neq 0,$$

试求出此方程的两个形式解

$$y_1 \sim c_1 \frac{e^x}{\sqrt{x}} \left[1 - \frac{1^2}{1 \cdot (8x)} + \frac{1^2 \cdot 3^2}{2! (8x)^2} + \dots \right],$$

$$y_2 \sim c_2 \frac{e^{-x}}{\sqrt{x}} \left[1 - \frac{1^2}{1 \cdot (8x)} + \frac{1^2 \cdot 3^2}{2! (8x)^2} - \dots \right].$$

如果取 $c_1 = \frac{1}{\sqrt{2\pi}}$, $c_2 = \sqrt{\frac{\pi}{2}}$, 这正好就是 $I_0(x)$ 和 $K_0(x)$ 在 $x \rightarrow \infty$ 时的渐近展开.

习题十七 格 临 函 数

339. 圆内拉普拉斯方程第一边值问题的格临函数 $G(r, r')$ 是

$$G = -2\ln R + 2\ln R_1 - 2\ln \frac{a}{r},$$

其中

$$R = |\mathbf{r} - \mathbf{r}'| = \sqrt{r^2 + r'^2 - 2rr'\cos\varphi},$$

$$R_1 = |\mathbf{r} - \mathbf{r}_1| = \sqrt{r^2 + r_1^2 - 2rr_1\cos\varphi},$$

φ 是 \mathbf{r} 与 \mathbf{r}' 的夹角, $\mathbf{r}_1 = (a/r')^2 \mathbf{r}'$, a 是圆的半径. 试证明圆内的定解问题

$$\begin{cases} \nabla^2 u = 0, \\ u|_{r=a} = f(\varphi) \end{cases}$$

的解可表为

$$u(r, \varphi) = \frac{1}{2\pi} \int_0^{2\pi} \frac{(a^2 - r^2)f(\varphi')d\varphi'}{a^2 - r^2 - 2ar\cos(\varphi - \varphi')}.$$

340. (1) 用电像法求出球内拉普拉斯方程第一边值问

题的格临函数 $G(\mathbf{r}, \mathbf{r}')$;

(2) 求出边界面 (球面 $r = a$) 上各点的感应电荷密度 $\sigma(\theta, \varphi)$;

(3) 证明像电荷和感应电荷在球内完全等效;

(4) 证明球内拉普拉斯方程第一边值问题

$$\begin{cases} \nabla^2 u = 0, \\ u|_{r=a} = f(\theta, \varphi) \end{cases}$$

的解是

$$u(r, \theta, \varphi) = \frac{a}{4\pi} \int_0^\pi \int_0^{2\pi} \frac{(a^2 - r^2)f(\theta', \varphi') \sin\theta' d\theta' d\varphi'}{(a^2 + r^2 - 2ar\cos\psi)^{3/2}},$$

其中 ψ 是 $\mathbf{r}(r, \theta, \varphi)$ 与 $\mathbf{r}'(a, \theta', \varphi')$ 的夹角,

$$\cos\psi = \cos\theta\cos\theta' + \sin\theta\sin\theta'\cos(\varphi - \varphi').$$

341. 证明倒易定理: 若 ϕ 是由体电荷密度 ρ 及面电荷密度 σ 产生的静电势, ϕ' 是由体电荷密度 ρ' 及面电荷密度 σ' 产生的静电势, 则

$$\iiint_V \rho \phi' dV + \iint_\Sigma \sigma \phi' d\Sigma = \iiint_V \rho' \phi dV + \iint_\Sigma \sigma' \phi d\Sigma.$$

342. 用下列方法求三维无界空间亥姆霍兹方程的格临函数:

把 $\delta(\mathbf{r} - \mathbf{r}')$ 写成傅里叶积分,

$$\delta(\mathbf{r} - \mathbf{r}') = \frac{1}{(2\pi)^3} \iiint e^{i\mathbf{k}' \cdot (\mathbf{r} - \mathbf{r}')} d\mathbf{k}',$$

因而可把格临函数 $G(\mathbf{r}, \mathbf{r}')$ 表示为

$$\begin{aligned} G(\mathbf{r}, \mathbf{r}') &= -\frac{4\pi}{(2\pi)^3} (\nabla^2 + k^2)^{-1} \iiint e^{i\mathbf{k}' \cdot (\mathbf{r} - \mathbf{r}')} d\mathbf{k}' \\ &= \frac{1}{2\pi^2} \iiint \frac{e^{i\mathbf{k}' \cdot (\mathbf{r} - \mathbf{r}')}}{k'^2 - k^2} d\mathbf{k}'. \end{aligned}$$

采用球坐标系计算这个积分，在对立体角积分后，可求得

$$\begin{aligned} G(r, r') &= \frac{1}{i\pi |r - r'|} \int_{-\infty}^{\infty} \frac{e^{ik'|r-r'|}}{k'^2 - k^2} k' dk' \\ &= \frac{1}{i\pi |r - r'|} \lim_{\eta \rightarrow 0^+} \int_{-\infty}^{\infty} \frac{e^{ik'|r-r'|}}{k'^2 - (k + i\eta)^2} k' dk'. \end{aligned}$$

再应用复变函数的方法计算这个积分，即可求得 $G(r, r')$ 。

343. 一无穷长弦， $t = t_0$ 时其 $x = x_0$ 处受到瞬时的打击，冲量为 I 。试求解弦的横振动，设初位移和初速度均为 0。

344. 两端固定的弦，长为 l ， $t = t_0$ 时用细棒敲击弦上 $x = x_0$ 点，使得该点获得冲量 I 。求解弦的横振动，设初位移和初速度均为 0。

345. 求解点热源在无穷长细杆上产生的温度分布与变化。方程及初始条件为

$$\begin{cases} \frac{\partial G(x, t; x_0, t_0)}{\partial t} - \kappa \frac{\partial^2 G(x, t; x_0, t_0)}{\partial x^2} = \delta(x - x_0) \delta(t - t_0), \\ G(x, t; x_0, t_0)|_{t=0} = 0. \end{cases}$$

346. 试证明一维热传导方程的格林函数 $G(x, t; x_0, t_0)$ 的倒易性：

$$G(x, t; x_0, t_0) = G(x_0, -t_0; x, -t),$$

其中 $G(x, t; x_0, t_0)$ 满足

$$\begin{cases} \frac{\partial G}{\partial t} - \kappa \frac{\partial^2 G}{\partial x^2} = \delta(x - x_0) \delta(t - t_0), \\ G|_{x=0} = 0, \quad G|_{x=l} = 0, \\ G|_{t=0} = 0. \end{cases}$$

347. 用格临函数方法解无界弦的横振动问题, 方程及定解条件为

$$\begin{cases} \frac{\partial^2 u}{\partial t^2} - a^2 \frac{\partial^2 u}{\partial x^2} = 0, \\ u|_{t=0} = \varphi(x), \\ \left. \frac{\partial u}{\partial t} \right|_{t=0} = \psi(x). \end{cases}$$

提示: 相应的格临函数已在第343题中求出.

348. 用格临函数方法解第215题.

提示: 相应的格临函数见第344题.

349. 用格临函数方法解无界弦的热传导问题:

$$\begin{cases} \frac{\partial u}{\partial t} - \kappa \frac{\partial^2 u}{\partial x^2} = 0, \\ u|_{t=0} = \varphi(x). \end{cases}$$

提示: 相应的格临函数见第345题.

350. 用第342题的方法求三维无界空间波动方程和热传导方程的格临函数.

提示: 对于波动方程, 先证明

$$\begin{aligned} G(\mathbf{r}, t; \mathbf{r}', t') &= \frac{1}{4\pi^2 i \rho} \int_{-\infty}^{\infty} e^{i\omega\tau} d\omega \int_{-\infty}^{\infty} \frac{k dk}{k^2 - \left(\frac{\omega}{c}\right)^2} \\ &\quad \times (e^{ik\rho} - e^{-ik\rho}), \end{aligned}$$

其中 $\tau = t - t'$, $\rho = |\mathbf{r} - \mathbf{r}'|$, c 为波速. 由于因果律的要求, 这里对 k 的积分应理解为

$$\lim_{\eta \rightarrow 0^+} \int_{-\infty}^{\infty} \frac{k dk}{k^2 - \left(\frac{\omega}{c} - i\eta\right)^2} (e^{ik\rho} - e^{-ik\rho}).$$

习题十八 积分变换

351. 用拉普拉斯变换求解半无界问题:

$$\begin{cases} \frac{\partial u}{\partial t} - \kappa \frac{\partial^2 u}{\partial x^2} = 0, & x > 0, t > 0, \\ u|_{x=0} = u_0, \quad u|_{t=0} = 0. \end{cases}$$

352. 一高为 d 、底面积为 S 的圆柱体, 侧面绝热, 单位时间内通过下底供给热量 H , 而上底保持温度为 0. 设柱体初温为 0, 证明在 t 时刻单位时间内通过上底流出的热量为

$$H \left\{ 1 - \frac{4}{\pi} \sum_{n=0}^{\infty} \frac{(-1)^n}{2n+1} e^{-(\frac{2n+1}{2d}\pi)^2 \kappa t} \right\},$$

其中 κ 为扩散率.

353. 设有两条半无界杆, 温度分别为 0 和 u_0 . 在 $t=0$ 时将两杆端点相接, 求 $t>0$ 时杆中各点的温度分布.

354. 利用拉普拉斯变换解第236题.

355. 用傅里叶变换解无界弦的振动问题:

$$\begin{cases} \frac{\partial^2 u}{\partial t^2} - c^2 \frac{\partial^2 u}{\partial x^2} = 0, \\ u|_{t=0} = u_0 e^{-(\frac{x}{a})^2}, \\ \left. \frac{\partial u}{\partial t} \right|_{t=0} = 0. \end{cases}$$

356. 用傅里叶变换与拉普拉斯变换解无界弦的横振动问题:

$$\begin{cases} \frac{\partial^2 u}{\partial t^2} - a^2 \frac{\partial^2 u}{\partial x^2} = 0, \\ u|_{t=0} = \varphi(x), \\ \left. \frac{\partial u}{\partial t} \right|_{t=0} = \psi(x). \end{cases}$$

357. 一半无界弦 $x \geq 0$, 原处于平衡状态. 设在 $t > 0$ 时 $x = 0$ 端作微小振动 $A \sin \omega t$. 试求弦上各点的运动.

358. 电子光学中常遇到一种简单的静电透镜——等径双筒镜, 它的两极是由两个无限接近的等径同轴长圆筒组成, 其电势分别为 $-V_0$ 与 V_0 (见图23). 求筒内的静电势.

提示: 先在边界条件

$$u|_{r=a} = V_0 e^{-k|z|} \operatorname{sgn} z$$

下利用傅里叶变换求解, 而后令 $k \rightarrow 0$.

359. 设有一半半径为 1 的带电圆盘, 圆盘上电势为

V_0 , 求空间各点的电势分布.

提示: 此定解问题为

$$\begin{cases} \nabla^2 u = 0, \\ z = 0 \text{ 时}, u = V_0, \quad 0 \leq r < 1, \\ \frac{\partial u}{\partial z} = 0, \quad r > 1, \end{cases}$$

可用汉克耳变换求解. 反演时用到第319题的结果.

360. 由柱面坐标 (r, z) 可以定义扁球面坐标 (μ, ζ) ,

$$z = \mu \zeta, \quad r = (1 - \mu^2)^{\frac{1}{2}} (1 + \zeta^2)^{\frac{1}{2}}.$$

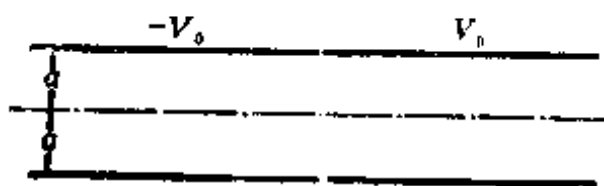


图 23

(1) 证明: 在此坐标系下, 上题化为

$$\begin{cases} \frac{\partial}{\partial \mu} \left[(1 - \mu^2) \frac{\partial u}{\partial \mu} \right] + \frac{\partial}{\partial \zeta} \left[(1 + \zeta^2) \frac{\partial u}{\partial \zeta} \right] = 0, \\ u|_{\zeta=0} = V_0, \quad u|_{\zeta \rightarrow \infty} \rightarrow 0, \\ \frac{\partial u}{\partial \mu} \Big|_{\mu=0} = 0, \quad u|_{\mu=1} \text{ 有界}; \end{cases}$$

(2) 求出 $u(\mu, \zeta)$.

习题十九 保角变换

361. $\zeta = z^2$ 把 z 平面上的下列区域变为 ζ 平面上的什么区域?

- (1) 上半平面; (2) 上半圆 $|z| < 1, \operatorname{Im} z > 0$;
(3) 圆 $|z| < 1$; (4) 双纽线内部 $|z|^2 < \cos(2\arg z)$.

362. 若在分式线性变换

$$\zeta = \lambda \frac{z - \mu}{z - \nu}$$

下, z_1, z_2, z_3 各点分别变为 $\zeta_1, \zeta_2, \zeta_3$ 各点, 试证:

$$\frac{\zeta - \zeta_1}{\zeta - \zeta_2} \cdot \frac{\zeta_3 - \zeta_1}{\zeta_3 - \zeta_2} = \frac{z - z_1}{z - z_2} \cdot \frac{z_3 - z_1}{z_3 - z_2}.$$

363. 求一变换, 把上半平面变为单位圆, 并把实轴上的点 $-1, 0, 1$ 分别变为圆周上的 $1, i, -1$.

364. z 平面上的单位圆 $|z| < 1$, 沿正实轴割开, 试把此区域变为 ζ 平面上的上半平面.

365. 求一变换, 把第一象限变为单位圆内.

366. 一半径为 a 的无穷长导体柱面, 第一象限的电势为 V_1 , 第三象限的电势为 $-V_1$, 而第二、第四象限皆接地,

如图24所示, 求导体内的电势分布.

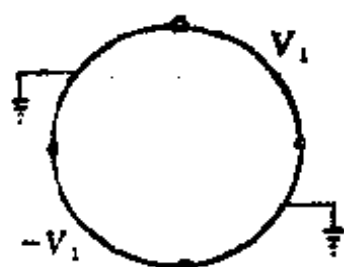


图 24

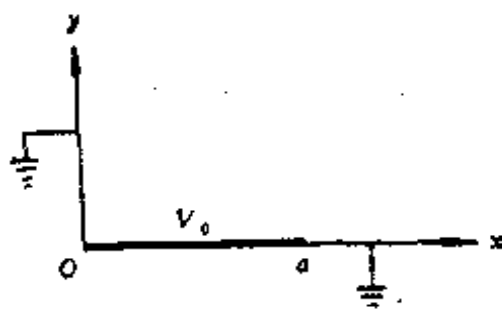


图 25

367. 如图25所示, 正实轴上 $(0, a)$ 段电势为 V_0 , 实轴上 $x > a$ 段及正虚轴的电势均为0, 求第一象限内的电势分布.

368. 在接地的无穷长金属圆柱内, 有一条平行于柱轴的均匀带电丝, 线电荷密度为 ρ . 设圆柱的半径为 a , 带电丝与柱轴的距离为 c (见图26). 试求柱内的电势分布.

提示: 用保角变换将带电丝变到轴心处.

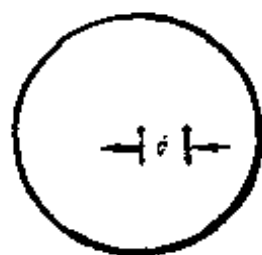


图 26

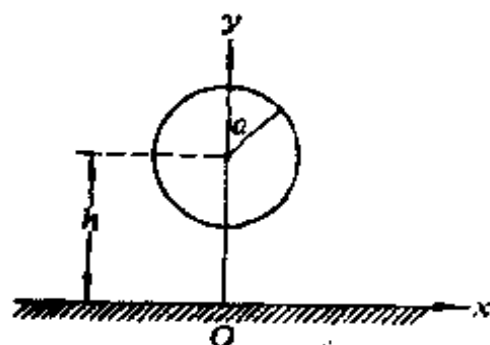


图 27

369. 地面之上平挂着一无穷长导体圆柱, 圆柱的半径为 a , 柱轴距地面 h ($h > a$). 设圆柱面的电势为 V_0 , 求圆柱外空间各点的电势.

370. 证明: 儒可夫斯基变换

$$z = \frac{a}{2} \left(\zeta + \frac{1}{\zeta} \right)$$

把 z 平面上以 $z = \pm a$ 为焦点的共焦椭圆变为 ζ 平面上的同心圆.

习题二十 二阶线性偏微分方程的分类

371. 讨论下述方程的类型, 并将它们化为典则形式:

$$(1) \frac{\partial^2 u}{\partial x^2} + 2 \frac{\partial^2 u}{\partial x \partial y} - 3 \frac{\partial^2 u}{\partial y^2} - 2 \frac{\partial u}{\partial x} + 6 \frac{\partial u}{\partial y} = 0;$$

$$(2) \frac{\partial^2 u}{\partial x^2} + 4 \frac{\partial^2 u}{\partial x \partial y} + 5 \frac{\partial^2 u}{\partial y^2} + \frac{\partial u}{\partial x} + 2 \frac{\partial u}{\partial y} = 0;$$

$$(3) \frac{\partial^2 u}{\partial x^2} + y \frac{\partial^2 u}{\partial y^2} + \frac{1}{2} \frac{\partial u}{\partial y} = 0;$$

$$(4) (1+x^2) \frac{\partial^2 u}{\partial x^2} + (1+y^2) \frac{\partial^2 u}{\partial y^2} + x \frac{\partial u}{\partial x} + y \frac{\partial u}{\partial y} = 0;$$

$$(5) \operatorname{tg}^2 x \frac{\partial^2 u}{\partial x^2} - 2y \operatorname{tg} x \frac{\partial^2 u}{\partial x \partial y} + y^2 \frac{\partial^2 u}{\partial y^2} + y \frac{\partial u}{\partial y} = 0.$$

372. 有些方程, 经过适当的因变数变换后, 可以消去一阶偏导数项.

(1) 证明: 在因变数变换

$$u = e^{-(ax+by)} v$$

下, 方程

$$\nabla^2 u + 2a \frac{\partial u}{\partial x} + 2b \frac{\partial u}{\partial y} = 0$$

化为亥姆霍兹方程

$$\nabla^2 v - (a^2 + b^2)v = 0,$$

其中 a, b 为常数;

(2) 寻求适当的变换, 使方程

$$\frac{\partial^2 u}{\partial x^2} - \frac{\partial^2 u}{\partial y^2} + 2a \frac{\partial u}{\partial x} + 2b \frac{\partial u}{\partial y} = 0$$

在变换后不再含有一阶偏微商项;

(3) 设有方程

$$a \frac{\partial^2 u}{\partial x^2} + 2b \frac{\partial^2 u}{\partial x \partial y} + c \frac{\partial^2 u}{\partial y^2} + d \frac{\partial u}{\partial x} + e \frac{\partial u}{\partial y} + fu = \frac{\partial u}{\partial t},$$

其中 a, b, c, d, e, f 为常数, 证明: 只有在 $b^2 - ac \neq 0$ 时, 可作变换

$$u = e^{\alpha x + \beta y + \gamma t} v$$

使 $v(x, y, t)$ 满足方程

$$a \frac{\partial^2 v}{\partial x^2} + 2b \frac{\partial^2 v}{\partial x \partial y} + c \frac{\partial^2 v}{\partial y^2} = \frac{\partial v}{\partial t}.$$

373. 求下列各偏微分方程的通解:

$$(1) \frac{\partial^2 u}{\partial x^2} - 2 \frac{\partial^2 u}{\partial x \partial y} - 3 \frac{\partial^2 u}{\partial y^2} = 0;$$

$$(2) \frac{\partial^2 u}{\partial x^2} - \frac{\partial^2 u}{\partial x \partial y} = 0;$$

$$(3) (a^2 - b^2) \frac{\partial^2 u}{\partial x^2} + 2b \frac{\partial^2 u}{\partial x \partial t} - \frac{\partial^2 u}{\partial t^2} = 0, \quad a, b \text{ 为常数}, a \neq 0;$$

$$(4) \frac{\partial^2 u}{\partial x^2} - 2 \frac{\partial^2 u}{\partial x \partial y} + 2 \frac{\partial^2 u}{\partial y^2} = 0.$$

374. 求偏微分方程

$$x^2 \frac{\partial^2 u}{\partial x^2} - 2xy \frac{\partial^2 u}{\partial x \partial y} + y^2 \frac{\partial^2 u}{\partial y^2} + x \frac{\partial u}{\partial x} + y \frac{\partial u}{\partial y} = 0$$

的通解.

375. 证明方程

$$\frac{\partial}{\partial x} \left[\left(1 - \frac{x}{h} \right)^2 \frac{\partial u}{\partial x} \right] - \frac{1}{a^2} \left(1 - \frac{x}{h} \right)^2 \frac{\partial^2 u}{\partial t^2} = 0$$

的通解可以写成

$$u = \frac{f(x + at) + g(x - at)}{h - x},$$

由此写出此方程在初始条件

$$u|_{t=0} = \varphi(x), \quad \frac{\partial u}{\partial t} \Big|_{t=0} = \psi(x)$$

下的解.

376. 求解弦振动方程的古沙 (Goursat) 问题:

$$\begin{cases} \frac{\partial^2 u}{\partial t^2} - a^2 \frac{\partial^2 u}{\partial x^2} = 0, \\ u|_{x-at=0} = \varphi(x), \\ u|_{x+at=0} = \psi(x), \\ \varphi(0) = \psi(0). \end{cases}$$

377. 在波动方程

$$\frac{\partial^2 u}{\partial t^2} - a^2 \frac{\partial^2 u}{\partial x^2} = 0$$

中用 iy 代替 at , 我们就能得到拉普拉斯方程的“初值”问题

$$\begin{cases} \frac{\partial^2 u}{\partial x^2} + \frac{\partial^2 u}{\partial y^2} = 0, \\ u|_{y=0} = \varphi(x), \\ \frac{\partial u}{\partial y} \Big|_{y=0} = \psi(x), \end{cases}$$

其形式解为

$$u = \frac{1}{2} [\varphi(x+iy) + \varphi(x-iy)] + \frac{1}{2i} \int_{x-iy}^{x+iy} \psi(\xi) d\xi.$$

(1) 令 $\varphi(x) = x$, $\psi(x) = e^{-x}$, 则可得

$$u(x, y) = x + e^{-x} \sin y,$$

验证这个表达式处处满足拉普拉斯方程, 也满足 $y=0$ 时的“初始”条件;

(2) 如果 $\varphi(x) = \frac{1}{1+x^2}$, $\psi(x) = 0$, 则形式解变为

$$u(x, y) = \frac{1+x^2-y^2}{(1+x^2-y^2)^2 + 4x^2y^2}.$$

证明: 这个函数在 $(0, \pm 1)$ 点不连续, 因此, 至少在这些点上, 并不满足拉普拉斯方程. 这说明, 在一般情况下, 拉普拉斯方程的“初值”问题无解.

378. 如果 $u(x, y, z)$ 满足拉普拉斯方程

$$\nabla^2 u = 0,$$

证明: $v = (ax + by + cz)u$ 满足

$$\nabla^4 v = 0,$$

其中 a, b, c 为任意常数.

379. 如果 $u(x, y, z)$ 是直角坐标下拉普拉斯方程的解,

证明 $\frac{\partial u}{\partial x}, \frac{\partial u}{\partial y}, \frac{\partial u}{\partial z}$ 也是解.

380. 如果 $u(r, \varphi, z)$ 是柱坐标下拉普拉斯方程的解, 证

明 $\frac{\partial u}{\partial \varphi}, \frac{\partial u}{\partial z}$ 也是解, 但 $\frac{\partial u}{\partial r}$ 一般不是解.

习题二十一 无界空间中的波动方程 初值问题

381. 直接验证

$$u(x, y, z, t) = \frac{1}{4\pi a} \iint_{S_{at}^M} \frac{\psi(\xi, \eta, \zeta)}{r} d\sigma$$

是三维波动方程初值问题

$$\begin{cases} \frac{\partial^2 u}{\partial t^2} = a^2 \left(\frac{\partial^2 u}{\partial x^2} + \frac{\partial^2 u}{\partial y^2} + \frac{\partial^2 u}{\partial z^2} \right), \\ u|_{t=0} = 0, \\ \left. \frac{\partial u}{\partial t} \right|_{t=0} = \psi(x, y, z) \end{cases}$$

的解, 其中 S_{at}^M 是以 $M(x, y, z)$ 点为心的球面, 该球面的半径为 $r = \sqrt{(\xi - x)^2 + (\eta - y)^2 + (\zeta - z)^2} = at$.

382. 求满足波动方程

$$\frac{\partial^2 u}{\partial t^2} = a^2 \left(\frac{\partial^2 u}{\partial x^2} + \frac{\partial^2 u}{\partial y^2} + \frac{\partial^2 u}{\partial z^2} \right)$$

及初始条件

$$u|_{t=0} = \begin{cases} u_0, & x^2 + y^2 + z^2 < R^2, \\ 0, & x^2 + y^2 + z^2 > R^2, \end{cases}$$

$$\left. \frac{\partial u}{\partial t} \right|_{t=0} = 0$$

的解 $u(x, y, z, t)$.

383. 试利用平均值法的结果(即泊松公式)求解:

$$(1) \begin{cases} \frac{\partial^2 u}{\partial t^2} - a^2 \left(\frac{\partial^2 u}{\partial x^2} + \frac{\partial^2 u}{\partial y^2} + \frac{\partial^2 u}{\partial z^2} \right) = 0, \\ u|_{t=0} = \varphi(x), \\ \frac{\partial u}{\partial t} \Big|_{t=0} = \psi(x); \end{cases}$$

$$(2) \begin{cases} \frac{\partial^2 u}{\partial t^2} - a^2 \left(\frac{\partial^2 u}{\partial x^2} + \frac{\partial^2 u}{\partial y^2} + \frac{\partial^2 u}{\partial z^2} \right) = 0, \\ u|_{t=0} = \varphi(r), \\ \frac{\partial u}{\partial t} \Big|_{t=0} = \psi(r), \end{cases}$$

其中 $r = \sqrt{x^2 + y^2 + z^2}$.

384. 利用三维无界空间波动方程初值问题的格临函数

$$G(\mathbf{r}, t; \mathbf{r}', t) = \frac{\delta\left(t - t' - \frac{|\mathbf{r} - \mathbf{r}'|}{a}\right)}{|\mathbf{r} - \mathbf{r}'|},$$

求出二维无界空间波动方程初值问题的格临函数, 从而求出二维波动方程初值问题的泊松公式.

385. 稳定问题的平均值定理. 设在空间区域 V 的内部,

$$\nabla^2 u = 0,$$

证明: 任意一点 (x, y, z) 处的 u 值等于以该点为球心的任意一球面的 u 的平均值.

386. 用黎曼方法求解:

$$\begin{cases} x^2 \frac{\partial^2 u}{\partial x^2} - y^2 \frac{\partial^2 u}{\partial y^2} = 0, \\ u|_{y=1} = \varphi(x), \\ \left. \frac{\partial u}{\partial y} \right|_{y=1} = \psi(x). \end{cases}$$

387. 将下列方程化为典则形式, 然后求出相应的黎曼函数:

$$(1) \quad x \frac{\partial^2 u}{\partial x^2} - \frac{\partial^2 u}{\partial y^2} + \frac{\partial u}{\partial x} = 0 \quad (x > 0);$$

$$(2) \quad (1-x^2) \frac{\partial^2 u}{\partial x^2} - \frac{\partial^2 u}{\partial y^2} - 2x \frac{\partial u}{\partial x} - \frac{1}{4} u = 0 \quad (0 < x < 1).$$

提示: 求解黎曼函数所满足的常微分方程时, 可直接引用第194题的结果.

388. 设 $R(x, y; x_0, y_0)$ 为

$$L[u] = \frac{\partial^2 u}{\partial x \partial y} + a \frac{\partial u}{\partial x} + b \frac{\partial u}{\partial y} + cu$$

的黎曼函数, $R^*(x, y; x_0, y_0)$ 为 $L[u]$ 的伴式

$$M[u] = \frac{\partial^2 u}{\partial x \partial y} - \frac{\partial(au)}{\partial x} - \frac{\partial(bu)}{\partial y} + cu$$

的黎曼函数, 试证明

$$R(x, y; x_0, y_0) = R^*(x_0, y_0; x, y).$$

389. 用黎曼方法证明

$$\begin{cases} \frac{\partial^2 u}{\partial t^2} - a^2 \frac{\partial^2 u}{\partial x^2} = 0, \\ u|_{x=ct} = \varphi(t), \\ \left. \frac{\partial u}{\partial x} \right|_{x=ct} = \psi(t) \end{cases}$$

的解为

$$u = \frac{a+c}{2a} \varphi\left(\frac{at+x}{a+c}\right) + \frac{a-c}{2a} \varphi\left(\frac{at-x}{a-c}\right) \\ + \frac{a^2-c^2}{2a} \int_{at-x/a-c}^{at+x/a+c} \psi(\xi) d\xi, \text{ 其中 } c = \pm a.$$

390. 用黎曼方法解第 376 题.

习题二十二 变 分 法

391. 试根据变分原理导出完全柔软的均匀弦的横振动方程.

392. 设 $y = y(x)$, $y' = \frac{dy}{dx}$, $F(y, y')$ 不显含 x , 证明

$$\begin{cases} J[y] = \int_a^b F(y, y') dx, \\ y(a) = A, y(b) = B \end{cases}$$

取极值的必要条件是

$$\frac{\partial F}{\partial y'} y' - F = \text{常数}.$$

393. 求泛函

$$\begin{cases} J[y] = \int_0^1 \sqrt{1+y'^2} dx, \\ y(0) = 0, y(1) = 1 \end{cases}$$

的极值曲线.

394. 如图 28 所示, 写出单位球面上从 A 点到 B 点的“短程线”所满足的微分方程, 并求出短程线. 证明此短程线在过 A, B 两点的大圆上. 基于对称性的考虑, 不妨取 A 点的坐标为 $(\theta_0, \varphi_0) = (0, 0)$, B 点的坐标为 (θ_1, φ_1) .

提示：单位球面上的弧元为

$$ds = \sqrt{d\theta^2 + \sin^2\theta d\varphi^2}.$$

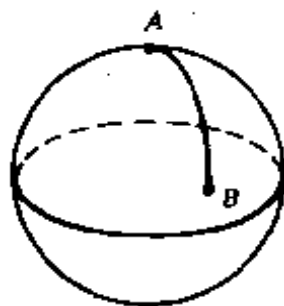


图 28

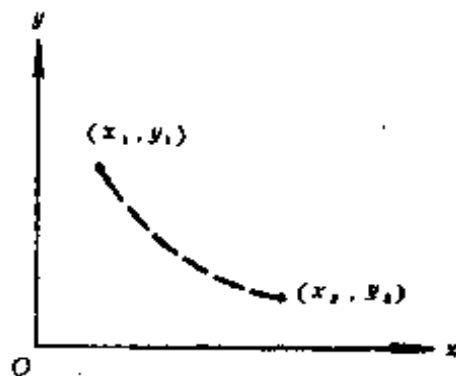


图 29

395. 一质点在重力作用下沿光滑曲线由 (x_1, y_1) 点运动至 (x_2, y_2) 点(见图29). 设重力加速度 g 为常数, 试求“捷线”(即质点沿此曲线运动时费时最少)所满足的微分方程.

396. 若 $\bar{y}(x)$ 使泛函

$$J[\bar{y}] \equiv \int_a^b F(x, \bar{y}, \bar{y}') dx,$$

$$\bar{y}(a) = A, \quad \bar{y}(b) = B$$

在限制条件

$$J_1[\bar{y}] \equiv \int_a^b G(x, \bar{y}, \bar{y}') dx = C$$

下取极值, 且相应的拉格朗日乘子 $\lambda \neq 0$, 试证明 $\bar{y}(x)$ 也使泛函

$$J_1[\bar{y}] \equiv \int_a^b G(x, \bar{y}, \bar{y}') dx,$$

$$\bar{y}(a) = A, \quad \bar{y}(b) = B$$

在限制条件

$$J[y] \equiv \int_a^b P(x, y, y') dx = D$$

下取极值.

397. 过二已知点 (x_1, y_1) 、 (x_2, y_2) 作一曲线, 使此曲线绕 x 轴旋转时得到的曲面面积最小, 求曲线所满足的微分方程.

398. 试写出本征值问题

$$\begin{cases} \nabla^2 u + \lambda u = 0, \\ \left[\alpha u + \beta \frac{\partial u}{\partial n} \right]_S = 0 \end{cases}$$

所对应的泛函极值问题. 设 $\beta \neq 0$.

399. 设有一长为 1 的弦, 由同一种质料组成, 线密度 $\rho(x) = 1 + x$ ($0 \leq x \leq 1$), 则振动方程为

$$(1+x) \frac{\partial^2 u}{\partial t^2} = T \frac{\partial^2 u}{\partial x^2},$$

试用里兹方法求出两端固定时的最低固有频率.

400. 用里兹方法求出

$$y'' + \lambda y = 0,$$

$$y(-1) = 0, \quad y(1) = 0$$

的最低的两个本征值的近似值, 取试探函数为:

$$(1) \quad y = c_1(1-x^2) + c_2x(1-x^2);$$

$$(2) \quad y = c_1(1-x^2) + c_2x^2(1-x^2).$$

第二部分 答 案

习 题 一

1. 答案见下表 (在本题中, $k=0, \pm 1, \pm 2, \dots$).

| | 实 部 | 虚 部 | 模 | 辐 角 | 附 注 |
|------|--|--|---------------------|---|---|
| (1) | 1 | $\sqrt{3}$ | 2 | $\frac{\pi}{3} + 2k\pi$ | |
| (2) | $1 - \cos a$ | $\sin a$ | $2\sin \frac{a}{2}$ | $\frac{\pi - a}{2} + 2k\pi$ | |
| (3) | $\cos(\sin z)$ | $\sin(\sin z)$ | 1 | $\sin z + 2k\pi$ | |
| (4) | $e^{-y} \cos x$ | $e^{-y} \sin x$ | e^{-y} | $x + 2k\pi$ | $x = \operatorname{Re} z,$ $y = \operatorname{Im} z$ |
| (5) | $e^x \cos y$ | $e^x \sin y$ | e^x | $y + 2k\pi$ | $x = \operatorname{Re} z,$ $y = \operatorname{Im} z$ |
| (6) | $\cos \frac{2n+1}{4} \pi$ | $\sin \frac{2n+1}{4} \pi$ | 1 | $\frac{2n+1}{4} \pi + 2k\pi$ | $n=0, 1, 2, 3$ |
| (7) | $(-)^n \sqrt[4]{2} \cos \frac{\pi}{8}$ | $(-)^n \sqrt[4]{2} \sin \frac{\pi}{8}$ | $\sqrt[4]{2}$ | $\left(n + \frac{1}{8}\right)\pi + 2k\pi$ | $n=0, 1$ |
| (8) | $\frac{(-)^n}{\sqrt{2}}$ | $\frac{(-)^n}{\sqrt{2}}$ | 1 | $\left(n + \frac{1}{4}\right)\pi + 2k\pi$ | $n=0, 1$ |
| (9) | $e \cos 1$ | $e \sin 1$ | e | $1 + 2k\pi$ | |
| (10) | $\cos \varphi(x)$ | $\sin \varphi(x)$ | 1 | $\varphi(x) + 2k\pi$ | |

2. (在以下各图中, 阴影均画在边界外侧)

(1)

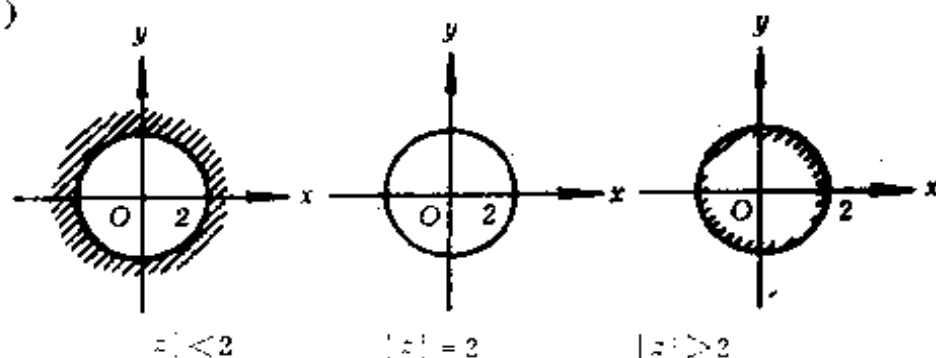


图 30

(2)

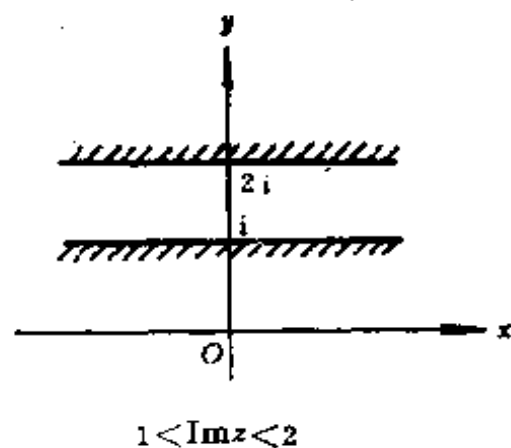
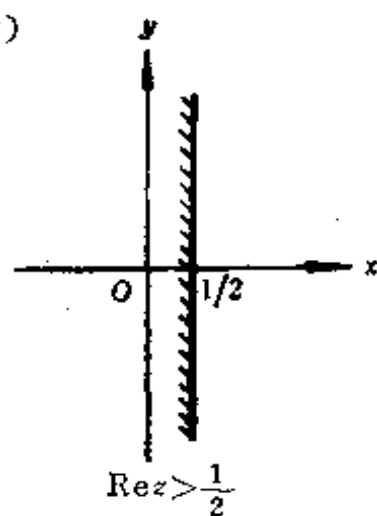


图 31

(3)

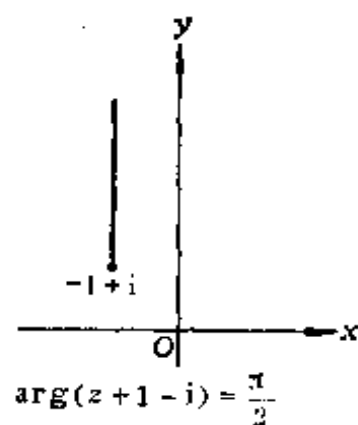
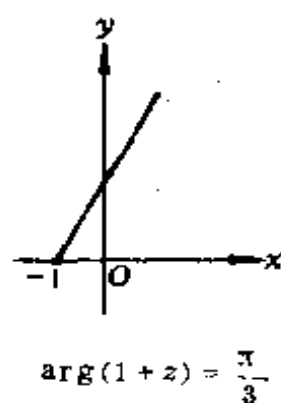
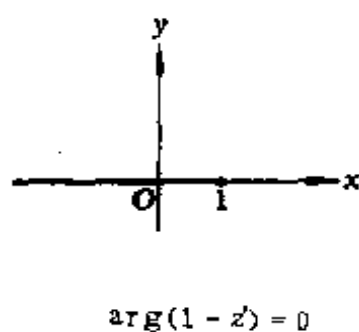


图 32

(4)

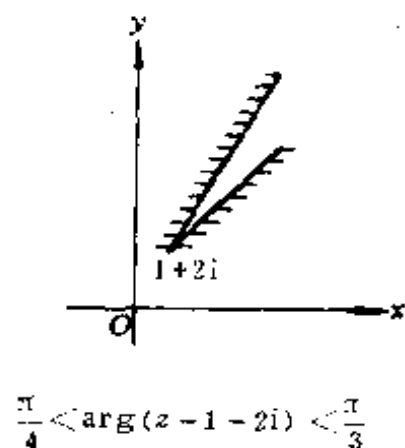
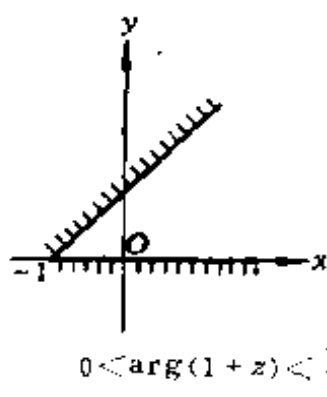
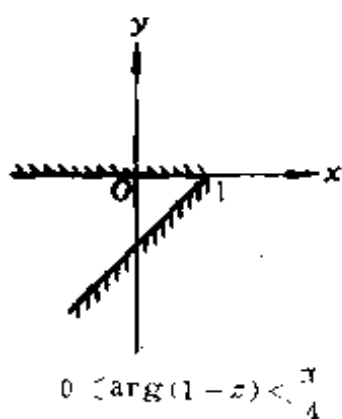


图 33

(5) 由于 $\alpha, \beta, \gamma, \delta$ 的数值不同, 相应的图形也不相同. 这里(见图34)只画出其中的两种情况.

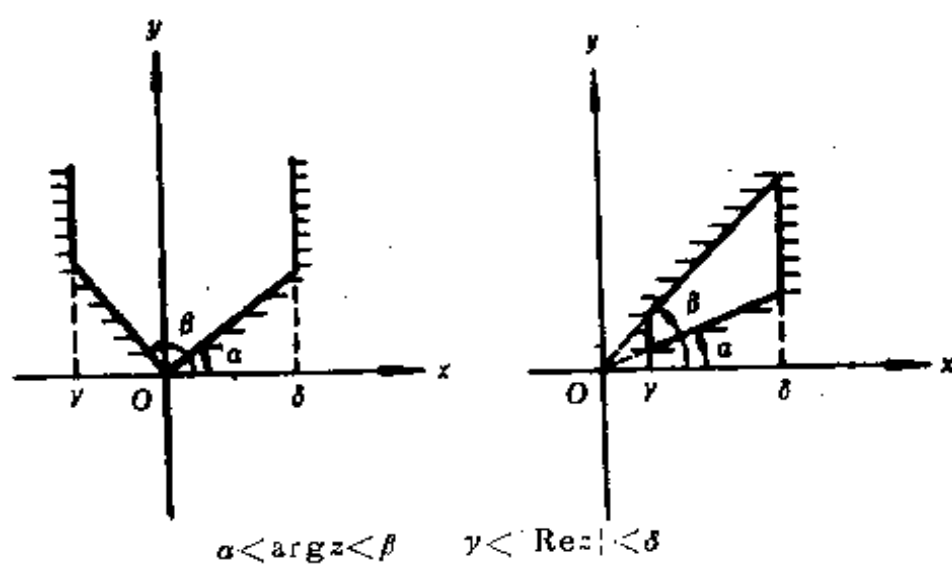


图 34

(6)

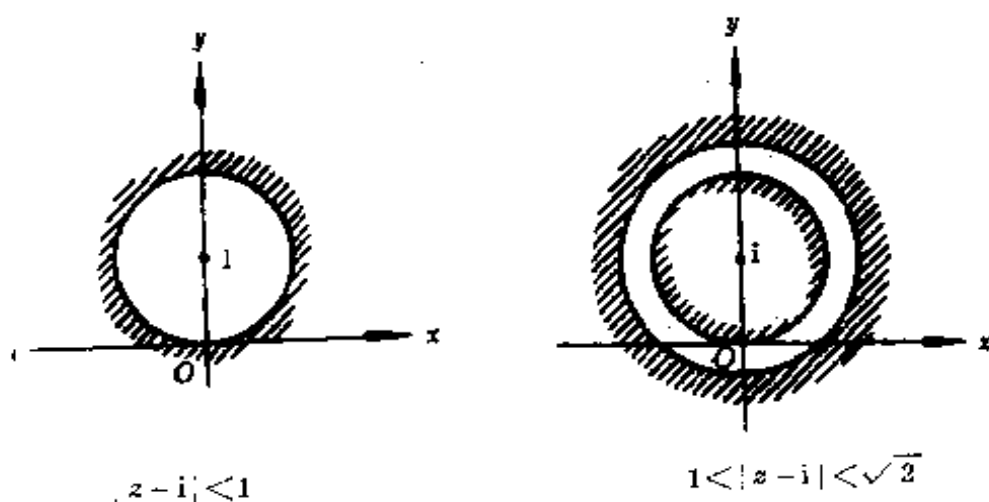
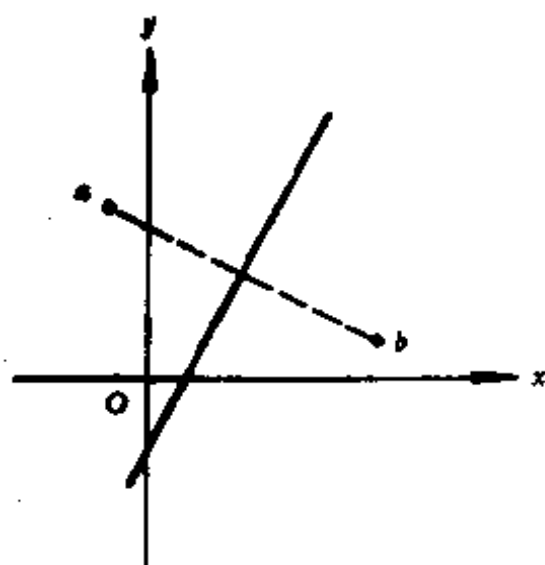


图 35

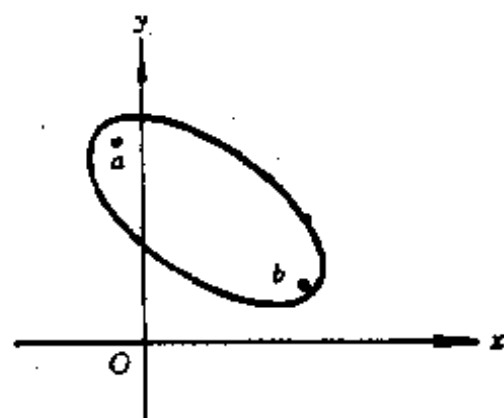
(7)



$$|z-a| = |z-b|$$

图 36

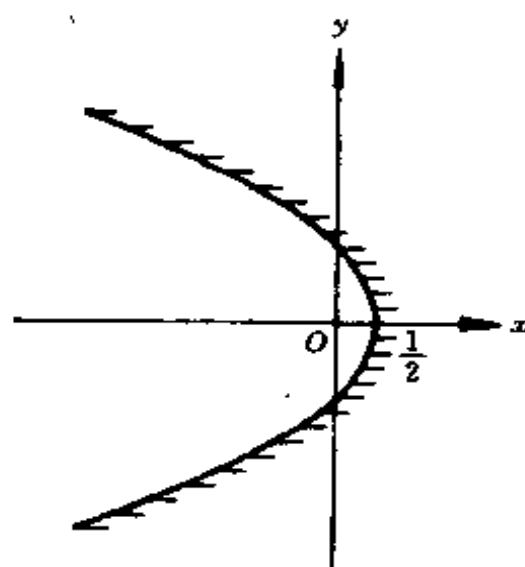
(8)



$$|z-a| + |z-b| = c$$

图 37

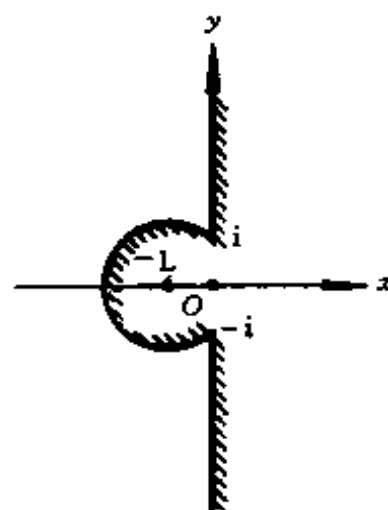
(9)



$$|z| + \operatorname{Re} z < 1$$

图 38

(10)



$$0 < \arg \frac{z-i}{z-1} < \frac{\pi}{4}$$

图 39

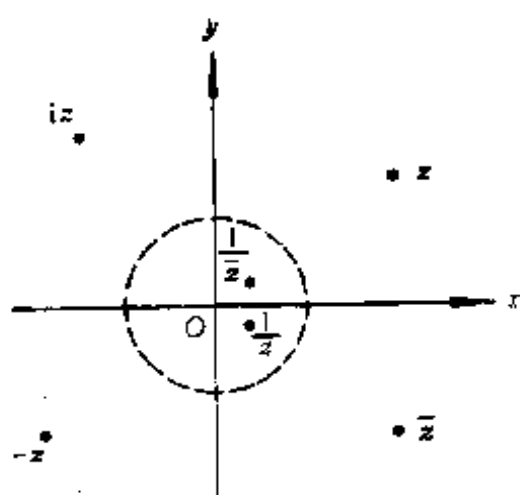


图 40

3. iz 点可由 z 点绕原点旋转 $\pi/2$ 得到; $-z$ 与 z 对称于原点 (或者说, z 点绕原点旋转 π 即得到 $-z$); \bar{z} 与 z 关于实轴对称 (镜像); $1/\bar{z}$ 是 z 关于单位圆的反演; $1/z$ 是 z 关于单位圆的反演加镜像.

6. (1) $z - a = kb$, k

为实数;

(2) $|z - d| + |z + d| = 2a$.

9. (1) $\frac{z_1 - z_3}{z_2 - z_3} = \text{实数}$; (2) $\frac{z_1 - z_3}{z_2 - z_3} \cdot \frac{z_1 - z_4}{z_2 - z_4} = \text{实数}$.

10. (1) $z_k = e^{i(\frac{\pi}{2} + k\pi)} = (-1)^k i$, $k = 0, 1$ (参看图 41);

(2) $z_k = 2e^{i(2k+1)\pi/3}$, $k = 0, 1, 2$,

即 $z_0 = 1 + i\sqrt{3}$, $z_1 = -2$, $z_2 = 1 - i\sqrt{3}$ (如图 42 所示);

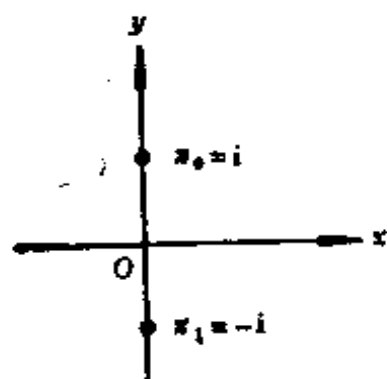


图 41

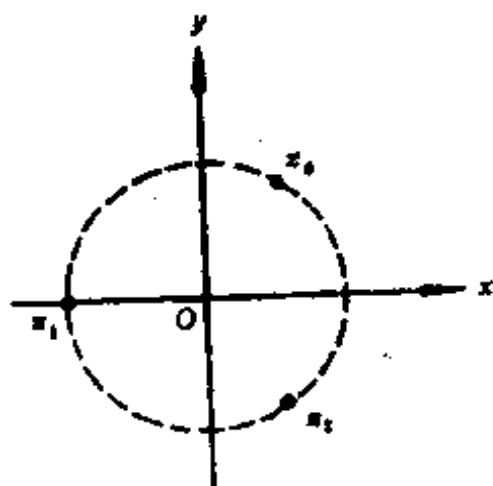


图 42

$$(3) z_k = e^{i \frac{k\pi}{2}} = i^k, \quad k = 0, 1, 2, 3 \text{ (见图43);}$$

$$(4) z_k = e^{i(2k+1)\pi/4} = i^k \left(\frac{1}{\sqrt{2}} + i \frac{1}{\sqrt{2}} \right), \quad k = 0, 1, 2, 3 \text{ (见图44);}$$

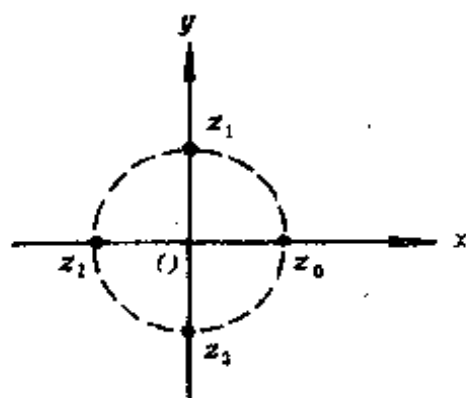


图 43

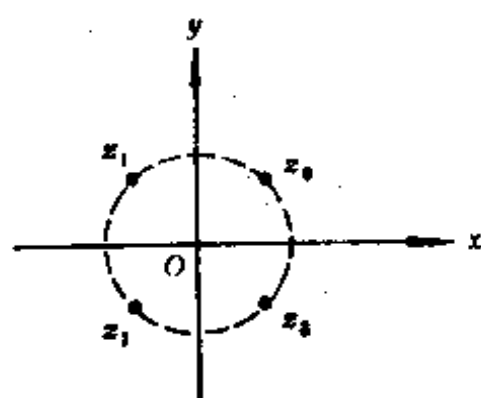


图 44

(5) $z_k = e^{i(2k+1)\pi/2n}$, $k = 0, 1, 2, \dots, 2n-1$. 这 $2n$ 个点均匀地分布在单位圆上, 关于实轴和虚轴都对称, 并且不在实轴上。图45画出了 $n=6$ 的情况;

$$\begin{aligned} (6) z_{1,2} &= e^{i(\pi \pm \lambda)} \\ &= \cos(\pi - \lambda) \pm i \sin(\pi - \lambda) \\ &= -\cos \lambda \pm i \sin \lambda \text{ (见图46).} \end{aligned}$$

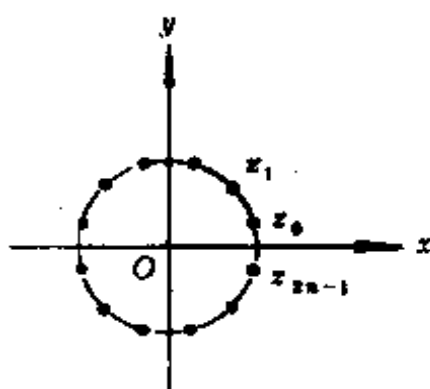


图 45

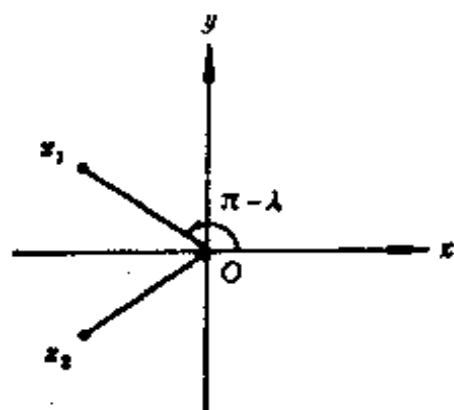


图 46

11. 提示: 对原方程取共轭.

12. 提示: 利用欧勒公式.

13. 由 $\cos n\varphi + i\sin n\varphi = (\cos \varphi + i\sin \varphi)^n$ 即可求出

$$\cos n\varphi = \sum_{l=0}^{\left[\frac{n}{2}\right]} (-)^l \frac{n!}{(2l)!(n-2l)!} \cos^{n-2l}\varphi \sin^{2l}\varphi,$$

$$\sin n\varphi = \sum_{l=0}^{\left[\frac{n-1}{2}\right]} (-)^l \frac{n!}{(2l+1)!(n-2l-1)!} \cos^{n-2l-1}\varphi \sin^{2l+1}\varphi.$$

14. (1) $\frac{\sin \frac{n}{2}\varphi \cos \frac{n+1}{2}\varphi}{\sin \frac{\varphi}{2}},$ (2) $\frac{\sin \frac{n}{2}\varphi \sin \frac{n+1}{2}\varphi}{\sin \frac{\varphi}{2}}.$

15. 提示: 考察方程 $(1-z)^n - 1 = 0$ 的非零根.

16. 答案见下表

| | 聚 点 | 上 极 限 | 下 极 限 | 极 限 |
|-----|---|---------------|----------------|----------|
| (1) | $\pm \frac{1}{2}$ | $\frac{1}{2}$ | $-\frac{1}{2}$ | 无 |
| (2) | 0 | 0 | 0 | 0 |
| (3) | ∞ | 无 | 无 | ∞ |
| (4) | ∞ | 无 | 无 | ∞ |
| (5) | $0, \pm \frac{1}{2}, \pm \frac{\sqrt{3}}{2}, \pm 1$ | 无 | 无 | 无 |
| (6) | $\pm \frac{1}{2}, \pm 1$ | 1 | -1 | 无 |

习 题 二

23. (1) 全平面不可导, 不解析;
(2) 全平面不可导, 不解析;
(3) 全平面可导, 解析, $(z^m)' = mz^{m-1}$;
(4) 全平面可导, 解析, $(e^z)' = e^z$;
(5) 除 $(-1, -1)$ 点可导外, 全平面其余处处不可导, 全平面不解析;
(6) 除 $y = x - 1$ 的线上处处可导外, 其余点不可导, 全平面不解析;
(7) $z = 0$ 点可导, $(z \operatorname{Re} z)'|_{z=0} = 0$, 此外处处不可导, 全平面(包括 $z = 0$)不解析;
(8) 除 $z = 0$ 外在扩充的全平面上可导、解析, $(1/z)' = -1/z^2$;
(9) 在全平面可导、解析, $(\cos z)' = -\sin z$;
(10) 在全平面可导、解析, $(\operatorname{sh} z)' = \operatorname{ch} z$.
31. (1) ie^{iz} ; (2) $\operatorname{sh} z$; (3) $\sin z$; (4) $-\frac{i}{z^2}$;
(5) $\frac{2}{z}$; (6) $3(2+i)z^2$.
32. (1) $(1-i)z + iC$; (2) $\sin z + iC$;
(3) $\frac{i}{z} + C$;
(4) $\frac{1}{2} \ln(x^2 + y^2) + i \operatorname{tg}^{-1} \frac{y}{x} + C$
 $= \ln|z| + i \arg z + C$.
33. $-iz^3 + (1+i)C$.
40. $\operatorname{Re} z > 0$ 时, $e^z \rightarrow \infty$;

$\operatorname{Re} z = 0$ 时, e^z 的实部与虚部均在 $[-1, 1]$ 间振荡;
 $\operatorname{Re} z < 0$ 时, $e^z \rightarrow 0$.

44. (1) $z = k\pi i, k = 0, \pm 1, \pm 2, \dots$;

(2) $z = \left(2k\pi \pm \frac{\pi}{3}\right)i$ 及 $2k\pi i, k = 0, \pm 1, \pm 2, \dots$;

(3) $z = \frac{\pi}{6} + 2k\pi, \frac{5}{6}\pi + 2k\pi$ 及

$$\frac{\pi}{2} - i\ln(2 \pm \sqrt{3}) + 2k\pi,$$

$$k = 0, \pm 1, \pm 2, \dots;$$

(4) 无解.

45. (1) $3.992 + 6.218i$; (2) $1.175i$;

(3) $0.438 - 1.127i$;

(4) $(2k+1)\pi i, k = 0, \pm 1, \pm 2, \dots$.

47. 提示: 将圆方程改写为

$$Az\bar{z} + \frac{1}{2}(B-iC)z + \frac{1}{2}(B+iC)\bar{z} + D = 0,$$

即

$$Az\bar{z} + \bar{E}z + E\bar{z} + D = 0,$$

其中

$$E = \frac{1}{2}(B+iC),$$

A, B, C, D 均为实数.

习 题 三

53. (1) 多值; (2) 多值; (3) 多值; (4) 多值;
(5) 多值; (6) 单值.

54. (1) 枝点为 $1, e^{\pm \frac{2}{3}\pi i}, \infty$;

(2) 枝点为 ± 1 ; (3) 枝点为 a, b ;

(4) 枝点为 $0, \infty$; (5) 枝点为 $0, \infty$;

(6) 枝点为 $\pm 2, \infty$;

(7) 枝点为 $0, -1$; (8) 枝点为 $\pm i, \infty$.

55. 沿 $C_1, w(-3) = -3 - 2i$; 沿 $C_2, w(-3) = -3 + 2i$.

56. 上岸 $\arg(z-2) = 0$, 下岸 $w(3) = 3e^{i2\pi/3}$. 另两个分枝可规定在割线上岸 $\arg(z-2)$ 分别为 2π 及 4π , 则在下岸 $w(3)$ 分别为 $3e^{i4\pi/3}$ 及 3 .

57. 割线的作法有无穷多种. 我们可以举出最普通的两种作法. 其一是直接连结 a, b 作割线(见图47), 当规定割线上岸 $\arg(z-a) + \arg(z-b)$ 分别为 π 及 3π 时, 即可得到两个单值分枝. 另一种作法是沿实轴从 a 和 b 连结 ∞ 点作割

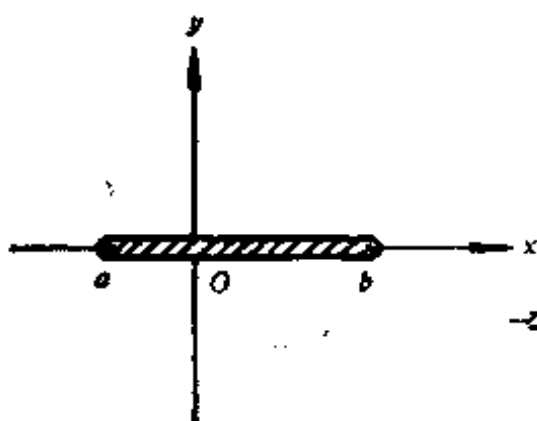


图 47

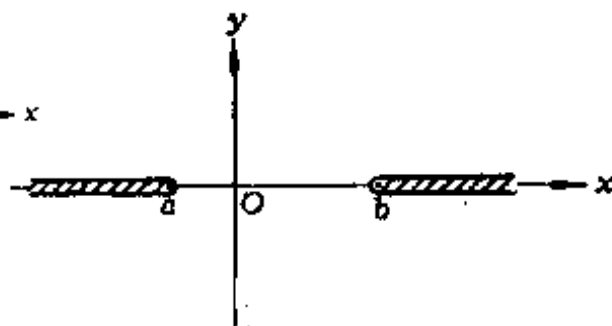


图 48

线(图48). 这时可规定在正实轴割线 上岸 $\arg(z-a) + \arg(z-b)$ 分别为 0 及 2π .

58. 逆时针方向通过 x 轴时 $w(2) = \sqrt{2}$, 回到原点时 $w(0) = -\sqrt{2}$.

59. $w(3) = 3\ln 2 + i\pi$ (图3(a)); $3\ln 2 - i\pi$ (图4(b)).

60. 在割线上、下岸函数值的模相等, 但下岸的辐角比上岸增加 $\pi/2$ (或减少 $3\pi/2$).

$$61. w'(i) = \frac{\sqrt{2}}{4}(1-i).$$

62. $w'(2) = 1/5$. 实际上, 在任一确定的单值分枝内, 都有同样的结果, 因为 $(\operatorname{tg}^{-1}z)' = \frac{1}{1+z^2}$ 单值. 这时, 规定单值分枝的作用就在于保证导数的概念有意义.

63. 提示: 考虑 $F(z) = \ln f(z)$.

$$64. f(i) = 2^{\frac{p}{2}-1} e^{-\frac{3}{4}p\pi i},$$

$$f(-i) = 2^{\frac{p}{2}-1} e^{-\frac{5}{4}p\pi i}.$$

习 题 四

65. (1) (i) $-i\pi$; (ii) $i\pi$;

(2) (i) $2+2i$; (ii) $2+i$.

66. (1) $2\pi i$; (2) 0; (3) 0; (4) 2π .

70. $4\pi i$.

71. (1)(i) 0; (ii) $\frac{\sqrt{2}}{2}\pi i$; (iii) $\sqrt{2}\pi i$;

(2) (i) $\frac{\pi}{e}$; (ii) $-2\pi \operatorname{sh} 1$; (iii) $-2\pi \operatorname{sh} 1$.

72. (1) $2\pi i$; (2) $2\pi i$; (3) $2\pi i$; (4) 0; (5) 0;
 (6) 0; (7) 0; (8) 0; (9) $4\pi i$; (10) 0.
 73. (1) πi ; (2) $a = -2$.

76. 提示: 令 $\zeta' = \frac{R^2}{\bar{\zeta}}$

(见图49), 则应有

$$\frac{1}{2\pi i} \oint_{|z|=R} \frac{f(z)}{z-\zeta} dz = f(\zeta),$$

$$\frac{1}{2\pi i} \oint_{|z|=R} \frac{f(z)}{z-\zeta'} dz = 0.$$

两式相减即得.

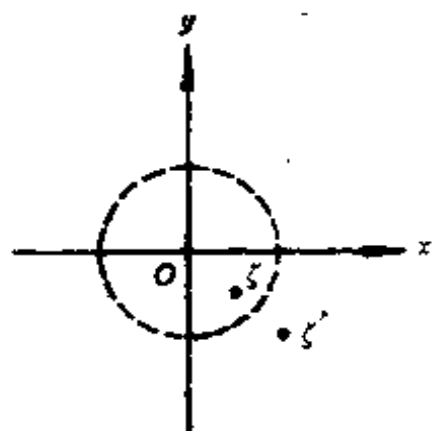


图 49

80. (1) 有列几种下可能性:

- (i) 积分路径在 $z=0$ 的右侧, 如图50中的 C_1 , $I = i\pi$;
- (ii) 积分路径在 $z=0$ 的左侧, 如图50中的 C_2 , $I = -i\pi$;
- (iii) 绕 $z=0$ 逆时针 n 周, 然后从 $z=0$ 的右侧到达 i , 如图50中的 C_3 (图中画出的是 $n=1$ 的情形), $I = (2n+1)\pi i$;

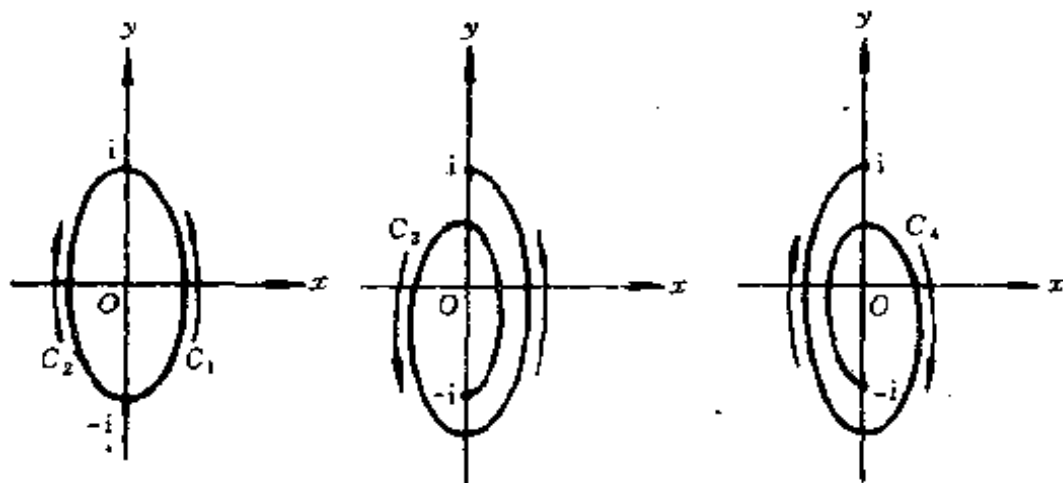


图 50

- (iv) 绕 $z=0$ 顺时针 n 周, 然后从 $z=0$ 的左侧到达 i , 如

图50中的 C_4 (图中也只画出 $n=1$ 的情形), $I = -(2n+1)\pi i$;

由于 $z=0$ 是被积函数的奇点, 所以一般不讨论积分路径通过 $z=0$ 点的情况, 除非我们考虑相应的瑕积分;

(2) $i\pi$.

82. (1) $-2(1-i)$;

(2) $-2(1+i)$.

86. 提示: 考虑积分 $\int_{C_\delta} \left[f(z) - \frac{k}{z-a} \right] dz$.

91. $\frac{1}{2} (e^{2\pi} + e^{-2\pi}) = \operatorname{ch} 2\pi$.

93. $\frac{f(z)}{g'(z)}$.

习 题 五

94. (1) $\sum_{n=2}^{\infty} \frac{1}{n \ln n}$ 发散; (2) $\sum_{n=1}^{\infty} \frac{2 - (-1)^n}{n^2}$ 收敛;

(3) $\sum_{n=1}^{\infty} n^{-2 - \frac{(-1)^n}{2}}$ 收敛;

(4) $\sum_{n=1}^{\infty} a_n = \sum_{n=1}^{\infty} \frac{1}{n^{2+(-1)^n}}$ 与 $\sum_{n=1}^{\infty} b_n = \sum_{n=1}^{\infty} \frac{1}{n^{2-(-1)^n}}$ 均发散,

但 $\sum_{n=1}^{\infty} \sqrt{a_n b_n} = \sum_{n=1}^{\infty} \frac{1}{n^2}$ 收敛.

95. 级数不绝对收敛, 不能改变求和次序.

96. (1) 收敛, 但不绝对收敛;

(2) 收敛, 但不绝对收敛.

$$97. \text{ 级数之和为 } S = \begin{cases} \frac{1}{(1-z)^2}, & |z| < 1; \\ \frac{1}{z(1-z)^2}, & |z| > 1. \end{cases}$$

$$98. \frac{1}{1-z}.$$

102. (1) 收敛半径 $R = \infty$; (2) 收敛半径 $R = \infty$;

(3) 收敛半径 $R = e$; (4) 收敛半径 $R = \infty$;

(5) 收敛半径 $R = 1$; (6) 收敛半径 $R = 1$;

(7) 收敛半径 $R = 2$; (8) 收敛区域为 $\operatorname{Re} z > -(1/2)$;

(9) 收敛区域为 $|z^2 + 2z + 2| < 1$; (10) 在全平面收敛;

(11) 收敛半径 $R = \infty$; (12) 收敛半径 $R = 1$.

103. (1) 收敛半径 $R \geq \min(R_1, R_2)$;

(2) 收敛半径 $R \geq R_1 \cdot R_2$;

(3) 收敛半径 $R \leq \frac{1}{R_1}$; (4) 收敛半径 $R \leq \frac{R_2}{R_1}$.

$$108. \zeta'(z) = - \sum_{n=1}^{\infty} \frac{\ln n}{n^z}.$$

109.

$$(1) \sin z = \sum_{k=0}^{\infty} \frac{(-1)^{n+k}}{(2k+1)!} (z - n\pi)^{2k+1}, \quad |z - n\pi| < \infty;$$

$$(2) 1 - z^2 = -2(z-1) - (z-1)^2, \quad |z-1| < \infty;$$

$$(3) \frac{1}{1+z+z^2} = \sum_{n=0}^{\infty} \frac{\sin \frac{2}{3}(n+1)\pi}{\sin \frac{2}{3}\pi} z^n, \quad |z| < 1;$$

$$(4) (i) \ln z = \frac{\pi}{2} i - \sum_{n=1}^{\infty} \frac{i^n}{n} (z-i)^n, \quad |z-i| < 1;$$

(ii) 与(i)相同;

$$(iii) \quad \ln z = -\frac{3}{2}\pi i - \sum_{n=1}^{\infty} \frac{i^n}{n} (z-i)^n, \quad |z-i| < 1;$$

$$(5) \quad \operatorname{tg}^{-1} z = \sum_{n=0}^{\infty} \frac{(-)^n}{2n+1} z^{2n+1}, \quad |z| < 1;$$

$$(6) \quad \frac{\sin z}{1-z} = \sum_{n=1}^{\infty} \sum_{k=0}^{\left[\frac{n-1}{2}\right]} \frac{(-)^k}{(2k+1)!} z^n, \quad |z| < 1;$$

$$(7) \quad e^{1-z} = e \left(1 + z + \frac{3}{2} z^2 + \frac{13}{6} z^3 + \frac{73}{24} z^4 + \dots \right), \quad |z| < 1;$$

$$(8) \quad \ln \frac{1+z}{1-z} = (2k+1)\pi i + \sum_{n=0}^{\infty} \frac{2}{2n+1} z^{-(2n+1)}, \quad |z| > 1.$$

k 的数值取决于单值分枝的规定, 对于主值分枝, $k=0$.

$$110. (1) \quad \sum_{n=0}^{\infty} \frac{1}{2n+1} z^{2n+1} = \frac{1}{2} \ln \frac{1+z}{1-z} = \operatorname{th}^{-1} z, \quad \text{且}$$

$$\left. \frac{1}{2} \ln \frac{1+z}{1-z} \right|_{z=0} = 0;$$

$$(2) \quad \sum_{n=0}^{\infty} \frac{1}{(2n)!} z^{2n} = \operatorname{ch} z.$$

$$111. (1) \quad \frac{1}{3} \left(\frac{\pi}{\sqrt{3}} + \ln 2 \right); \quad (2) \quad \frac{1}{3} \left(\frac{\pi}{\sqrt{3}} - \ln 2 \right);$$

$$(3) \quad \frac{1}{4\sqrt{2}} \left[\ln(3 + \sqrt{2}) + \pi \right].$$

$$112. (1) \quad \ln 2 - \frac{1}{2}; \quad (2) \quad \frac{1}{2} (1 - \ln 2);$$

$$(3) \frac{1}{4} \left(\sqrt{\frac{\pi}{3}} - \ln 3 \right); \quad (4) \frac{1}{4} (\pi - 3).$$

$$113. (1) \sum_{n=-1}^{\infty} (-)^{n+1} (n+2) (z-1)^n, \quad 0 < |z-1| < 1;$$

$$(2) (i) - \sum_{n=-1}^{\infty} z^n - \sum_{n=0}^{\infty} \frac{1}{2^{n+1}} z^n, \quad 1 < |z| < 2;$$

$$(ii) \sum_{n=2}^{\infty} (2^{n-1} - 1) z^{-n}, \quad 2 < |z| < \infty;$$

$$(3) (i) \sum_{n=-1}^{\infty} i^{n+1} (z-i)^n - \sum_{n=0}^{\infty} \frac{(-)^n}{(1+i)^{n+1}} (z-i)^n,$$

$$1 < |z-i| < \sqrt{2};$$

$$(ii) \sum_{n=-1}^{\infty} (-)^{n+1} z^n, \quad 0 < |z| < 1;$$

$$(4) (i) 1 - \frac{3}{2} \sum_{n=0}^{\infty} \frac{1}{4^n} z^n - 2 \sum_{n=-1}^{\infty} \frac{1}{3^{n+1}} z^n, \quad 3 < |z| < 4;$$

$$(ii) 1 + \sum_{n=1}^{\infty} (3 \cdot 2^{2n-1} - 2 \cdot 3^{n-1}) z^{-n}, \quad 4 < |z| < \infty;$$

$$(5) \sum_{n=-1}^{\infty} \sum_{k=0}^{\infty} \frac{(-2)^{k-n-1}}{k!} z^n + \sum_{n=0}^{\infty} \sum_{k=n+1}^{\infty} \frac{(-2)^{k-n-1}}{k!} z^n,$$

$$|z| > 2;$$

$$(6) \frac{2}{(z-2n\pi)^2} + \frac{1}{6} + \frac{1}{120} (z-2n\pi)^2 + \frac{1}{3024} (z-2n\pi)^4$$

$$+ \dots, \quad 0 < |z-2n\pi| < 2\pi.$$

$$114. (1) \sum_{n=1}^{\infty} \sum_{k=1}^{2n-1} \frac{(-)^{k-1}}{k(2n-k)} z^{2n}$$

$$= \sum_{n=1}^{\infty} \frac{1}{n} \sum_{k=1}^{n-1} \frac{(-)^{k-1}}{k} z^{2n}, \quad |z| < 1;$$

$$(2) \sum_{n=1}^{\infty} \sum_{k=0}^{n-1} \frac{(-)^{n-1}}{(2k+1)(n-k)} z^{2n+1} \\ = 2 \sum_{n=1}^{\infty} \frac{(-)^{n-1}}{2n+1} \sum_{k=1}^{2n} \frac{1}{k} z^{2n+1}, \quad |z| < 1;$$

$$(3) \sum_{n=-\infty}^{\infty} \sum_{k=0}^{\infty} \frac{(-)^k}{k!(n+k)!} \left(\frac{a}{2}\right)^{2k+n} \left(\frac{z}{a}\right)^n \\ = \sum_{n=-\infty}^{\infty} J_n(a) \left(\frac{z}{a}\right)^n, \quad 0 < |z| < \infty;$$

$$(4) \sum_{n=-1}^{\infty} \sum_{k=\lfloor \frac{n-1}{2} \rfloor}^{\infty} \frac{(-)^k}{(2k+1)!(2k+n+1)!} z^n \\ + \sum_{n=0}^{\infty} \sum_{k=0}^n \frac{(-)^k}{(2k+1)!(2k+n+1)!} z^n, \quad 0 < |z| < \infty.$$

$$115. (1) z + \sum_{n=1}^{\infty} (-)^{n-1} \frac{(2n-2)!!}{(2n+1)!!} z^{2n+1}, \quad |z| < 1;$$

(2) 见第114(2)题;

$$(3) z - \sum_{n=1}^{\infty} \frac{(2n-2)!!}{(2n+1)!!} z^{2n+1}, \quad |z| < 1;$$

$$(4) \sum_{k=1}^{\infty} (-)^{k-1} \frac{(n+k-1)!}{k!(n-1)!} \sum_{l=0}^{k-1} \frac{1}{n+l} z^k, \quad |z| < 1;$$

$$(5) 1 + \sum_{n=1}^{\infty} \frac{a_n}{n!} z^n, \quad |z| < 1, \quad \text{其中 } a_1 = 1, a_2 = 1, a_3 = -1,$$

$a_4 = -7$, 其余可由递推公式 $a_{n+1} = a_n - n(n-1)a_{n-1}$ 决定.

117. 提示: 考虑幂级数 $\sum_{k=0}^{\infty} u_k z^k$, $\sum_{k=0}^{\infty} v_k z^k$ 与 $\sum_{k=0}^{\infty} w_k z^k$

在 $z=1$ 的收敛性.

119. $2\pi i$ (当 $z=0$ 在曲线 γ 所包围的区域内部) 或 0 (当 $z=0$ 在曲线 γ 包围的区域外).

习 题 六

120. (1) $z = \pm ia$, 一阶极点;

(2) $z = 0$, 二阶极点; $z = \infty$, 本性奇点;

(3) $z = 0$, 可去奇点; $z = \infty$, 本性奇点;

(4) $z = 0$, 可去奇点; $z = \infty$, 本性奇点;

(5) $z = 0$, 可去奇点; $z = 2n\pi i$, $n = \pm 1, \pm 2, \dots$, 一阶极点; $z = \infty$, 非孤立奇点;

(6) $z = 0$, 本性奇点;

(7) $z = 0$, 可去奇点; $z = (n\pi)^2$, $n = 1, 2, \dots$, 一阶极点; $z = \infty$, 非孤立奇点;

(8) $z = \infty$, 本性奇点.

121. (1) e ; (2) $2e$; (3) 0 ; (4) $-\frac{1}{4}i$;

(5) $\frac{1}{6}$; (6) $\frac{1}{6}$; (7) 0 ; (8) $(-)^n (2n+1)\pi$.

122. (1) $\operatorname{res} f(0) = 1$, $\operatorname{res} f(\pm 1) = -\frac{1}{2}$;

(2) $\operatorname{res} f(\pm i) = \mp i \frac{(2m)!}{(m!)^2 2^{2m+1}}$;

(3) $\operatorname{res} f(2n\pi) = 2$, $n = 0, \pm 1, \pm 2, \dots$;

$$(4) \operatorname{res} f(0) = 0, \quad \operatorname{res} f(-n^2\pi^2) = (-)^{n+1} 2(n\pi)^2,$$

$$n = 1, 2, \dots;$$

$$(5) \operatorname{res} f(1) = -1, \quad \operatorname{res} f(\infty) = 1;$$

$$(6) \operatorname{res} f(0) = -\frac{1}{2}, \quad \operatorname{res} f(\infty) = \frac{1}{2};$$

$$(7) \ln 1 = 0 \text{ 时, } \operatorname{res} f(1) = \frac{1}{2}; \quad \ln 1 = 2n\pi i, \quad n = \pm 1,$$

$$\pm 2, \dots \text{ 时, } \operatorname{res} f(1) = \frac{1}{2n\pi i};$$

$$(8) \operatorname{res} f(0) = n+1, \quad \operatorname{res} f(-1) = -n, \quad \operatorname{res} f(\infty) = -1.$$

$$123. (1) \infty \text{ 点为可去奇点, } \operatorname{res} f(\infty) = -1;$$

$$(2) \infty \text{ 点为本性奇点, } \operatorname{res} f(\infty) = -1;$$

$$(3) \infty \text{ 点为非孤立奇点, 无残数可言};$$

$$(4) \infty \text{ 点为本性奇点, } \operatorname{res} f(\infty) = 0;$$

$$(5) \infty \text{ 点解析, } \operatorname{res} f(\infty) = 0;$$

$$(6) \infty \text{ 点为一阶极点, } \operatorname{res} f(\infty) = \pm \frac{1}{8}, \text{ 符号视单值分}$$

枝的规定而定.

$$124. -2C_0C_1.$$

$$127. (1) z=0 \text{ 为 } f(z)+g(z) \text{ 的 } k \text{ 阶零点; 当 } m \neq n \text{ 时, } k = \min(m, n); \text{ 当 } m = n \text{ 时, } k \geq m;$$

$$(2) m+n \text{ 阶零点};$$

$$(3) \text{ 当 } m > n \text{ 时为 } m-n \text{ 阶零点; 当 } m < n \text{ 时为 } n-m \text{ 阶极点; } m = n \text{ 时为可去奇点};$$

$$(4) mn \text{ 阶零点}.$$

$$128. (1) \text{ 当 } m \neq n \text{ 时为 } \max(m, n) \text{ 阶极点, 当 } m = n \text{ 时为 } k \text{ 阶极点 } (k \leq m) \text{ 或可去奇点或零点};$$

$$(2) m+n \text{ 阶极点};$$

(3) 当 $m > n$ 时为 $m - n$ 阶极点, $m < n$ 时为 $n - m$ 阶零点,
 $m = n$ 时为可去奇点;

(4) m 阶极点.

129. (1) 一阶极点, 残数为 m ;

(2) 一阶极点, 残数为 $-m$.

132. (1) $n - 1$; (2) $\frac{2n}{n+1} \frac{f^{(n+1)}(0)}{f^{(n)}(0)}$.

133. (1) $(m+1) \frac{f^{(m)}(z_0)}{g^{(m+1)}(z_0)}$;

(2) $2 \frac{f'(z_0)}{g''(z_0)} - \frac{2}{3} \frac{f(z_0)g'''(z_0)}{[g''(z_0)]^2}$;

(3) $3 \frac{f''(z_0)}{g'''(z_0)} - \frac{3}{2} \frac{f'(z_0)g^{(4)}(z_0)}{[g''(z_0)]^2}$;

(4) $\frac{h'(z_0)}{g'(z_0)} - \frac{1}{2} \frac{h(z_0)g''(z_0)}{[g'(z_0)]^2}$, 其中 $h(z) = (z - z_0)f(z)$.

134. $\frac{f(0)}{g(0)} + \frac{1}{a_1} \frac{f(a_1)}{g'(a_1)} + \frac{1}{a_2} \frac{f(a_2)}{g'(a_2)} + \dots + \frac{1}{a_n} \frac{f(a_n)}{g'(a_n)}$.

135. (1) 对于 $|z - 1| = 1$, 积分为 $-\sqrt{2}\pi i/2$, 对于
 $|z - 1| = 2$, 积分为 0;

(2) (i) 0; (ii) $\frac{\sqrt{2}}{2}\pi i$; (iii) $\sqrt{2}\pi i$;

(3) $2n + 1$; (4) $-4\pi i$; (5) 0; (6) πi ; (7) 0;

(8) $(-)^n \frac{2\pi i}{m} \frac{\cos(2n+1)\pi/2m}{\cos(\pi/2m)}$.

136. $\sum_{n=1}^{\infty} \frac{1}{n^2} = \frac{\pi^2}{6}$, $\sum_{n=1}^{\infty} \frac{(-)^{n-1}}{n^2} = \frac{\pi^2}{12}$.

习 题 七

$$138. (1) \frac{2\pi}{1-p^2}; \quad (2) \frac{2}{3}\sqrt{3}\pi;$$

$$(3) \frac{2a\pi}{(a^2-b^2)^{3/2}};$$

$$(4) 2\pi \frac{(2n-1)!!}{(2n)!!} = \frac{(2n)!}{(n!)^2} \frac{\pi}{2^{2n-1}};$$

$$(5) 2\pi; \quad (6) \frac{\sqrt{2}}{2}\pi;$$

$$(7) \frac{3\sqrt{2}}{8}\pi; \quad (8) \pi i \operatorname{sgn}(\operatorname{Im} a).$$

$$139. (1) \frac{\sqrt{2}}{2}\pi; \quad (2) \frac{\pi}{ab(a+b)};$$

$$(3) \frac{\pi}{n \sin \frac{2m+1}{2n}\pi};$$

$$(4) \frac{(2n-1)!!}{(2n)!!} \pi = \frac{(2n)!}{(n!)^2} \frac{\pi}{2^{2n}};$$

$$(5) \frac{\pi}{4a}; \quad (6) \frac{\sqrt{3}}{3}\pi;$$

$$(7) \frac{\pi}{2} \frac{1}{|\sin \theta|}; \quad (8) 2\ln 2.$$

$$140. (1) \frac{\pi}{2} e^{-\frac{\sqrt{2}}{2}} \sin\left(\frac{\sqrt{2}}{2} + \frac{\pi}{4}\right) \\ = \frac{\sqrt{2}}{4} \pi \left(\sin \frac{\sqrt{2}}{2} - \cos \frac{\sqrt{2}}{2} \right);$$

$$(2) \frac{\pi}{2} e^{-\pi a};$$

$$(3) \frac{\pi}{e} (\sin 1 + \cos 1) = \sqrt{\frac{2}{e}} \pi \sin\left(1 + \frac{\pi}{4}\right);$$

$$(4) \frac{\pi}{2} e^{-\pi a} \cos ma;$$

$$(5) \frac{\pi}{a} e^{-\pi a} \cos mb, \quad - \frac{\pi}{a} e^{-\pi a} \sin mb;$$

$$(6) 2\pi e^{-a};$$

$$(7) \frac{\pi(b - c + ce^{-2ab} - be^{-2ac})}{2bc(b^2 - c^2)};$$

$$(8) \frac{\pi}{2 \operatorname{ch} \frac{\pi}{2}}.$$

$$141. (1) \frac{\pi}{2a^2} (1 - e^{-\pi a}); \quad (2) 0;$$

$$(3) \frac{\pi}{2} (b - a); \quad (4) \frac{\pi}{4a} \sin 2a;$$

$$(5) \frac{3}{8} \pi; \quad (6) \pi(\operatorname{ctg} p\pi - \operatorname{ctg} q\pi);$$

$$(7) \frac{\pi}{7} (\sin 1 - 6 \sin 6);$$

$$(8) \frac{\pi}{5} (\cos 1 - e^{-2}).$$

$$142. (1) \frac{\pi}{4} (1 - s) \sec \frac{s\pi}{2}; \quad (2) \frac{\pi \sin p\lambda}{\sin p\pi \sin \lambda};$$

$$(3) \pi \operatorname{ctg} a \pi;$$

$$(4) \frac{\sqrt{2a}}{4a^4} \pi \left(-\frac{3}{2} \ln a - 1 - \frac{3}{4} \pi \right).$$

$$144. (1) \frac{2}{3} \left(1 - \frac{\sqrt{3}}{9} \pi \right); \quad (2) \frac{2\sqrt{3}}{9a^2} \pi;$$

$$(3) \frac{1}{a^2 + b^2} \left(\frac{a\pi}{2b} + \ln \frac{b}{a} \right);$$

$$(4) \frac{\pi}{2ab(a+b)}.$$

$$146. (1) \frac{\pi}{2a} \ln a; \quad (2) \frac{\ln ab \ln \frac{b}{a}}{2(b-a)};$$

$$(3) \frac{1}{a} \ln a;$$

$$(4) \frac{1}{2b} \ln(a^2 + b^2) \operatorname{tg}^{-1} \frac{b}{a}.$$

$$147. (1) \frac{\sqrt{3}}{3} \pi e^{-\frac{\sqrt{3}}{2} \pi} \cos \frac{a}{2}, \quad \frac{\sqrt{3}}{3} \pi e^{-\frac{\sqrt{3}}{2} \pi} \sin \frac{a}{2};$$

$$(2) 0; \quad (3) \frac{\pi}{\sin a \pi};$$

$$(4) \frac{3}{64} 2^{\frac{1}{4}} \pi.$$

$$148. (1) \frac{\pi}{\sqrt{a^2 + b^2}} \left(\frac{i}{b} \right)^n (\sqrt{a^2 + b^2} - a)^n, \text{ 积分围道}$$

见图51;

$$(2) \frac{\pi}{2} e^{-a}, \text{ 积分围道见图52;}$$

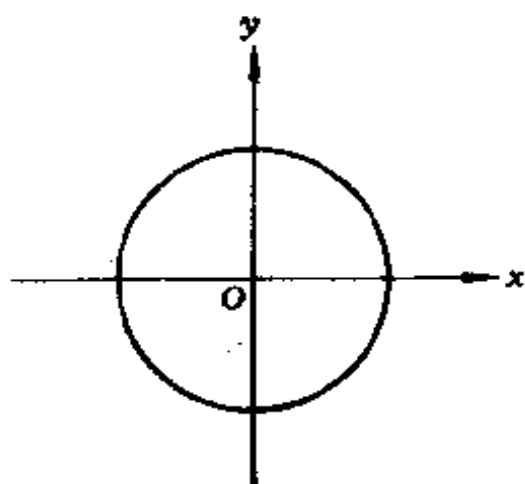


图 51

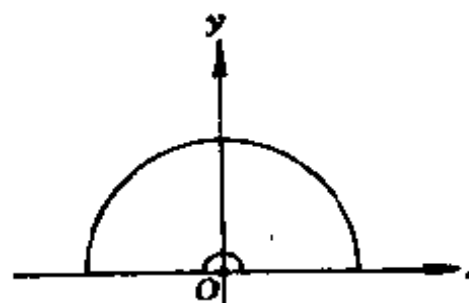


图 52

(3) 1, 积分围道见图53;

(4) $\frac{1}{8}(\sqrt{2}-1)\pi$, 积分围道见图54;

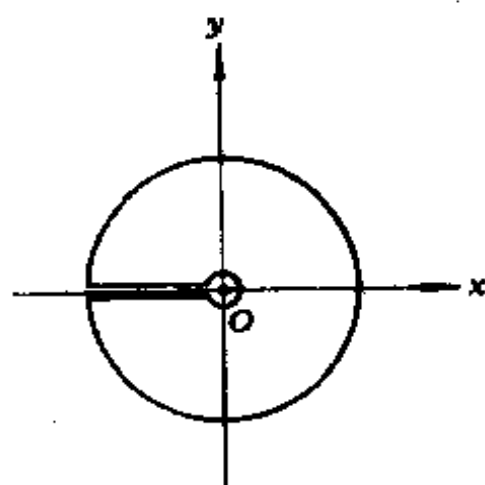


图 53

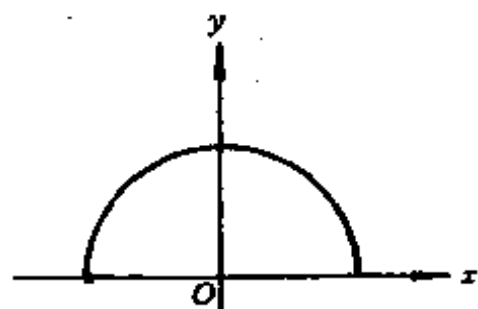


图 54

(5) $\frac{\pi}{2\operatorname{ch}\frac{\pi}{2}}$, 积分围道见图55;

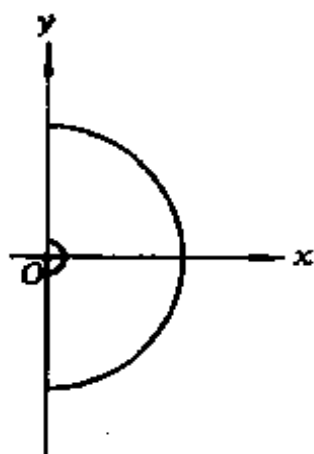


图 55

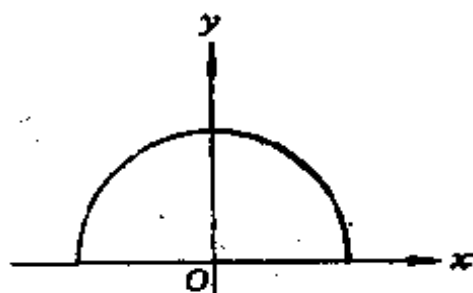


图 56

$$(6) \begin{cases} \frac{\pi}{4} \ln(1+r), & -1 < r < 1, \\ \frac{\pi}{4} \ln\left(1 + \frac{1}{r}\right), & r < -1 \text{ 或 } r > 1, \end{cases} \text{ 积分围}$$

道见图56.

$$150. (1) 2(1-m) \frac{\pi}{\sin m\pi}; \quad (2) \frac{\pi}{2 \sin \frac{m\pi}{2}}.$$

$$151. (\sqrt{2} - 1)\pi. \quad 152. \frac{1}{2c} \left(\ln \frac{1+c}{1-c} \right)^2.$$

习 题 八

$$157. (1) \operatorname{Re} z \geqslant \delta > 0; \quad (2) \delta \leqslant \operatorname{Re} z \leqslant 2 - \delta, \delta > 0; \\ (3) \operatorname{Re} z \geqslant \delta > 0; \quad (4) \operatorname{Re} z \geqslant \delta > 0.$$

$$159. (1) 2^n \Gamma(n+1); \quad (2) \frac{\Gamma(2n+1)}{2^n \Gamma(n+1)};$$

$$(3) \frac{\Gamma(n+\rho+1)}{\Gamma(\rho+1)},$$

$$(4) \frac{\Gamma(n+\rho+2)\Gamma(n-\rho+1)}{\Gamma(\rho+1)\Gamma(-\rho)} \\ = -\frac{1}{\pi} \sin \pi \rho \Gamma(n+\rho+2)\Gamma(n-\rho+1).$$

$$761. -1.$$

$$762. Y_n(z) = \frac{2}{\pi} J_n(z) \ln \frac{z}{2} \\ - \frac{1}{\pi} \sum_{k=0}^{n-1} \frac{(n-k-1)!}{k!} \left(\frac{z}{2}\right)^{2k-n} \\ - \frac{1}{\pi} \sum_{k=0}^{\infty} \frac{(-)^k}{k! (n+k)!} [\psi(n+k+1) \\ + \psi(k+1)] \left(\frac{z}{2}\right)^{2k+n},$$

$$n=0, 1, 2, \dots, |\arg z| < \pi,$$

当 $n=0$ 时, 应去掉第二项.

$$163. (1) \Gamma(1-a) \cos \frac{a\pi}{2}, \Gamma(1-a) \sin \frac{a\pi}{2};$$

$$(2) \Gamma(a) \cos a\theta, \Gamma(a) \sin a\theta.$$

166. (1) 提示: 在 $P_n(z)$ 中令 $t=n\tau$, 分部积分 n 次,

$$\text{并注意 } n^z = \prod_{m=1}^{n-1} \left(1 + \frac{1}{m}\right)^z;$$

(2) 提示: 在证明(1)的中间结果中, 代入

$$n^z = e^{z \ln n} = e^{z \left[\ln n - \sum_{m=1}^n \frac{1}{m} \right]} \prod_{m=1}^n e^{\frac{z}{m}}.$$

$$169. (1) 2^{p+q+1} B(p+1, q+1),$$

$$2^{2n+1} B(n+1, n+1) = 2^{2n+1} \frac{(n!)^2}{(2n+1)!};$$

$$(2) \frac{1}{2} B\left(\frac{1-a}{2}, \frac{1+a}{2}\right) = \frac{\pi}{2 \cos \frac{a\pi}{2}}.$$

$$170. (1) \frac{\Gamma(\alpha)\Gamma(\beta)\Gamma(\gamma)}{\Gamma(\alpha+\beta+\gamma+1)};$$

$$(2) \frac{a^\alpha b^\beta c^\gamma}{pqr} \frac{\Gamma\left(\frac{\alpha}{p}\right) \Gamma\left(\frac{\beta}{q}\right) \Gamma\left(\frac{\gamma}{r}\right)}{\Gamma\left(\frac{\alpha}{p} + \frac{\beta}{q} + \frac{\gamma}{r} + 1\right)}.$$

习 题 九

$$175. (1) \frac{n!}{p^{n+1}}; \quad (2) \frac{\Gamma(\alpha+1)}{p^{\alpha+1}};$$

$$(3) \frac{\omega}{(p+\lambda)^2 + \omega^2};$$

$$(4) -\frac{p}{2} \ln \frac{p^2 + \omega^2}{p^2} + \omega \operatorname{tg}^{-1} \frac{\omega}{p};$$

$$(5) \frac{1}{2p} \ln(1+p^2); \quad (6) \frac{e^{1-p} - 1}{1-p};$$

$$(7) \frac{\omega}{p^2 + \omega^2} \operatorname{cth} \frac{p\pi}{2\omega};$$

$$(8) \frac{1}{p^2} - \frac{a}{p} \frac{e^{-pa}}{1 - e^{-pa}}.$$

$$176. (1) 1 - e^{-at} \left(1 + at + \frac{1}{2} a^2 t^2 \right), \quad t > 0;$$

$$(2) \frac{1}{\omega} (1 - \cos \omega t), \quad t > 0;$$

$$(3) 1 + \frac{5}{3} e^{-t} + \frac{1}{3} e^{\frac{t}{2}} - 3e^{-\frac{t}{2}}, \quad t > 0;$$

$$(4) t \cos \omega t, \quad t > 0; \quad (5) t - \tau, \quad t > \tau;$$

$$(6) \sum_{n=1}^{\infty} \eta(t - na) = \left[\frac{t}{a} \right], \quad t > 0.$$

$$177. (1) \operatorname{ch} \omega t, \quad t > 0;$$

$$(2) \frac{1}{4\omega^3} [\operatorname{ch} \omega(t - \tau) \sin \omega(t - \tau) - \operatorname{sh} \omega(t - \tau) \cos \omega(t - \tau)], \quad t > \tau;$$

$$(3) \operatorname{erfc} \left(\frac{a}{2\sqrt{t}} \right) = \frac{2}{\sqrt{\pi}} \int_{\frac{a}{2\sqrt{t}}}^{\infty} e^{-x^2} dx, \quad t > 0;$$

$$(4) 1 - \frac{4}{\pi} \sum_{n=0}^{\infty} \frac{1}{2n+1} \times \sin \frac{2n+1}{2l} \frac{1}{\pi} x e^{-\frac{(2n+1)^2 \pi^2 t}{4l^2}} \\ = \sum_{n=0}^{\infty} (-)^n \operatorname{erfc} \left(\frac{2nl+x}{2\sqrt{t}} \right) - \sum_{n=1}^{\infty} (-)^n \operatorname{erfc} \left(\frac{2nl-x}{2\sqrt{t}} \right), \quad t > 0.$$

$$179. (1) \frac{\pi}{2} \operatorname{sgn} x; \quad (2) \int \frac{\pi}{2|t|} \operatorname{sgn} t;$$

$$(3) \frac{\pi}{2a} e^{-a|t|}; \quad (4) \frac{\pi}{2} (1 - e^{-|t|}) \operatorname{sgn} t.$$

$$180. (1) \begin{cases} \frac{E_0 \omega}{L(\omega^2 - \omega_1^2)} (\cos \omega_1 t - \cos \omega t), & \omega_1 = \frac{1}{\sqrt{LC}} \neq \omega, \\ \frac{E_0}{2L} t \sin \omega t, & \omega_1 = \omega; \end{cases}$$

$$(2) i(t) = \begin{cases} \frac{E}{R} (1 - A e^{-a_1 t} + B e^{-a_2 t}), & L > 4CR^2, \\ \frac{E}{R} \left(1 - e^{-\frac{t}{2RC}} - \frac{t}{4RC} e^{-\frac{t}{2RC}} \right), & L = 4CR^2, \\ \frac{E}{R} \left\{ 1 - e^{-\frac{t}{2RC}} \left[\cos \omega t + \left(\frac{1}{2RC} - \frac{R}{L} \right) \frac{\sin \omega t}{\omega} \right] \right\}, & L < 4CR^2, \end{cases}$$

其中

$$a_1 = \frac{1}{2RC} \left(1 - \sqrt{1 - \frac{4CR^2}{L}} \right),$$

$$a_2 = \frac{1}{2RC} \left(1 + \sqrt{1 - \frac{4CR^2}{L}} \right),$$

$$A = \frac{R/L - a_2}{a_1 - a_2}, \quad B = \frac{R/L - a_1}{a_1 - a_2},$$

$$\omega = \sqrt{\frac{1}{LC} - \frac{1}{4R^2C^2}};$$

$$(3) x(t) = \frac{1}{3} \cos t + \frac{2}{3} \operatorname{ch} \sqrt{2} t,$$

$$y(t) = \frac{1}{3} \cos t - \frac{1}{3} \operatorname{ch} \sqrt{2} t,$$

$$z(t) = \frac{1}{3} \cos t - \frac{1}{3} \operatorname{ch} \sqrt{2} t;$$

$$(4) \quad y(t) = ate^{-t};$$

$$(5) \quad y(t) = a \sqrt{\frac{b}{b-c}} \sin \sqrt{b(b-c)} t;$$

$$(6) \quad f(t) = 5e^{2t} + 4e^{-t} - 6te^{-t}.$$

$$181. \quad x(t) = e^{-\frac{1}{2}t^2}.$$

$$182. \quad N_1(t) = Ne^{-\lambda_1 t},$$

$$N_2(t) = \frac{N\lambda_1}{\lambda_2 - \lambda_1} (e^{-\lambda_1 t} - e^{-\lambda_2 t}),$$

$$N_3(t) = N\lambda_1\lambda_2 \left[\frac{1}{(\lambda_2 - \lambda_1)(\lambda_3 - \lambda_1)} e^{-\lambda_1 t} + \frac{1}{(\lambda_3 - \lambda_2)(\lambda_1 - \lambda_2)} e^{-\lambda_2 t} + \frac{1}{(\lambda_1 - \lambda_3)(\lambda_2 - \lambda_3)} e^{-\lambda_3 t} \right].$$

$$183. \quad (1) \quad J_0(t) = \frac{1}{\sqrt{p^2 + 1}}.$$

$$190. \quad (1) \quad y(x) = \begin{cases} x, & 0 \leq x < x_0, \\ x_0, & x_0 < x \leq 1; \end{cases}$$

$$(2) \quad y(x) = \begin{cases} \sin x \cos x_0, & 0 \leq x < x_0, \\ \cos x \sin x_0, & x_0 < x \leq \pi/2. \end{cases}$$

习 题 十

$$191. y_1 = \sum_{n=0}^{\infty} \frac{\Gamma(3/4)}{n! \Gamma(n+3/4)} \left(\frac{x}{2}\right)^{4n},$$

$$y_2 = \sum_{n=0}^{\infty} \frac{\Gamma(5/4)}{n! \Gamma(n+5/4)} \left(\frac{x}{2}\right)^{4n+1}.$$

$$192. y_1 = \sum_{n=0}^{\infty} \frac{\Gamma(2/3)}{n! \Gamma(n+2/3)} \frac{x^{3n}}{3^{2n}},$$

$$y_2 = \sum_{n=0}^{\infty} \frac{\Gamma(4/3)}{n! \Gamma(n+4/3)} \frac{x^{3n+1}}{3^{2n}}.$$

$$193. u_1 = \sum_{k=0}^{\infty} \frac{\Gamma(k-\lambda/2)}{(2k)! \Gamma(-\lambda/2)} (2x)^{2k},$$

$$u_2 = \sum_{k=0}^{\infty} \frac{\Gamma\left(k + \frac{1-\lambda}{2}\right)}{(2k+1)! \Gamma\left(\frac{1-\lambda}{2}\right)} (2x)^{2k+1}.$$

当 $\lambda = 2n$ 时, u_1 截断为多项式:

$$u_1 = \sum_{k=0}^n \frac{(-)^k n!}{(2k)! (n-k)!} (2x)^{2k},$$

当 $\lambda = 2n + 1$ 时, u_2 截断为多项式:

$$u_2 = \sum_{k=0}^n \frac{(-)^k n!}{(2k+1)!(n-k)!} (2x)^{2k+1}.$$

$$194. u_1 = F(\alpha, \beta, \gamma; z) = \sum_{n=0}^{\infty} \frac{(\alpha)_n (\beta)_n}{n! (\gamma)_n} z^n,$$

$$u_2 = z^{1-\gamma} F(\alpha - \gamma + 1, \beta - \gamma + 1, 2 - \gamma; z),$$

其中

$$(\lambda)_0 = 1, (\lambda)_n = \lambda(\lambda+1)\cdots(\lambda+n-1) = \frac{\Gamma(\lambda+n)}{\Gamma(\lambda)}.$$

$$195. y_1 = x, y_2 = x \ln x - 1 + \sum_{n=2}^{\infty} \frac{1}{(n-1)n!} x^n.$$

$$196. u_1 = \sum_{k=0}^{\infty} \frac{(-)^k}{(2k+1)!} (mz)^{2k} = \frac{\sin mz}{mz},$$

$$u_2 = \sum_{k=0}^{\infty} \frac{(-)^k}{(2k)!} (mz)^{2k-1} = \frac{\cos mz}{mz}.$$

$$197. u_1 = J_0(z) = \sum_{k=0}^{\infty} \frac{(-)^k}{(k!)^2} \left(\frac{z}{2}\right)^{2k},$$

$$u_2 = J_0(z) \ln z - \sum_{k=1}^{\infty} \frac{(-)^k}{(k!)^2} \left(\frac{1}{k} + \frac{1}{k-1} + \cdots + 1 \right) \left(\frac{z}{2}\right)^{2k},$$

$$198. u_1 = \sum_{n=0}^{\infty} \frac{\Gamma(\mu+n+1)}{(n!)^2 \Gamma(\mu-n+1)} \left(\frac{z-1}{2}\right)^n. \quad \text{当 } \mu = \text{正整数 } l \text{ 时, 此解截断为多项式,}$$

$$u_1 = \sum_{n=0}^l \frac{(l+n)!}{(n!)^2(l-n)!} \left(\frac{z-1}{2}\right)^n.$$

另一解在 $z=1$ 点无界.

$$199. u_1 = F(a, b, z) = \sum_{n=0}^{\infty} \frac{(a)_n}{n! (b)_n} z^n,$$

$$u_2 = z^{1-b} F(a-b+1, 2-b, z).$$

$$200. u_1 = J_0(imz),$$

$$u_2 = J_0(imz) \ln z - \sum_{k=1}^{\infty} \frac{1}{(k!)} z \left(\frac{1}{k} + \frac{1}{k-1} + \dots + 1 \right) \left(\frac{mz}{2} \right)^{2k}.$$

习 题 十 一

$$201. \frac{\partial^2 u}{\partial t^2} - a^2 \frac{\partial^2 u}{\partial x^2} = 0,$$

$$u|_{x=0} = 0, \quad \frac{\partial u}{\partial x} \Big|_{x=l} = 0,$$

$$u|_{t=0} = \frac{F}{ES} x, \quad \frac{\partial u}{\partial t} \Big|_{t=0} = 0.$$

其中 $a^2 = \frac{ES}{\rho}$, E 为杆的杨氏模量, ρ 为杆的线密度.

202. 纵振动方程同第 201 题, 边界条件及初始条件分别为

$$u|_{x=0} = 0, \quad \frac{\partial u}{\partial x} \Big|_{x=l} = \frac{P}{E},$$

$$u|_{t=0} = 0, \quad \left. \frac{\partial u}{\partial t} \right|_{t=0} = 0.$$

203. 采用平面极坐标系, 坐标原点在圆膜中心. 设膜半径为 R , 则方程及边界条件为

$$\frac{\partial^2 u}{\partial t^2} - a^2 \left\{ \frac{1}{r} \frac{\partial}{\partial r} \left(r \frac{\partial u}{\partial r} \right) + \frac{1}{r^2} \frac{\partial^2 u}{\partial \varphi^2} \right\} = 0, \quad u|_{r=R} = 0.$$

其中 $\frac{1}{r} \frac{\partial}{\partial r} \left(r \frac{\partial}{\partial r} \right) + \frac{1}{r^2} \frac{\partial^2}{\partial \varphi^2}$ 即为二维拉普拉斯算子.

$$204. \quad \frac{\partial u}{\partial t} - \kappa \frac{\partial^2 u}{\partial x^2} = f,$$

$$u|_{x=0} = 0, \quad u|_{x=l} = u_0,$$

$$u|_{t=0} = \frac{x}{l} u_0.$$

$$\text{其中 } \kappa = \frac{kS}{\rho C}, \quad f = \frac{0.24 I^2 R}{\rho l C},$$

k —— 杆的导热率, ρ —— 杆的线密度,
 C —— 杆的比热, R —— 杆的总电阻,
 I —— 电流强度, S —— 杆的横截面积.

$$205. \quad \frac{\partial u}{\partial t} = D \nabla^2 u + au, \quad D \text{ 称为扩散率.}$$

$$206. \quad u|_{x=0} = 0, \quad \left. \frac{\partial u}{\partial x} \right|_{x=l} = \frac{A}{ES} \sin \omega t.$$

$$207. \quad \left. \frac{\partial u}{\partial x} \right|_{x=0} = -\frac{q_1}{k}, \quad \left. \frac{\partial u}{\partial x} \right|_{x=l} = \frac{q_2}{k}.$$

208. 采用球坐标系. 坐标原点在球心, z 轴指向太阳. 边界条件为

$$\left[\frac{\partial u}{\partial r} + \frac{H}{k} u \right]_{r=a} = \begin{cases} \frac{M}{k} \cos \theta, & 0 \leq \theta \leq \frac{\pi}{2}, \\ 0, & \frac{\pi}{2} < \theta \leq \pi. \end{cases}$$

其中 H 是牛顿冷却定律中的比例常数 (即当物体表面与外界温度相差 1°C 时, 单位时间内从单位表面面积上散发出去的热量)。

$$209. \frac{\partial^2 u}{\partial t^2} - \frac{1}{2} \omega^2 \frac{\partial}{\partial x} \left[(l^2 - x^2) \frac{\partial u}{\partial x} \right] = 0.$$

210. 方程及边界条件为

$$\frac{\partial^2 u}{\partial t^2} - a^2 \frac{\partial^2 u}{\partial x^2} = 0, \quad x \in \frac{l}{2},$$

$$u|_{x=0} = 0, \quad u|_{x=l} = 0,$$

连接条件为

$$\lim_{\varepsilon \rightarrow 0} [u|_{x=\frac{l}{2}+\varepsilon} - u|_{x=\frac{l}{2}-\varepsilon}] = 0.$$

$$\lim_{\varepsilon \rightarrow 0} T \left[\frac{\partial u}{\partial x} \Big|_{x=\frac{l}{2}+\varepsilon} - \frac{\partial u}{\partial x} \Big|_{x=\frac{l}{2}-\varepsilon} \right] = Mg + M \frac{\partial^2 u}{\partial t^2} \Big|_{x=\frac{l}{2}}.$$

习 题 十 二

$$211. (1) u(x, y) = X(x)Y(y),$$

$$a_1(x)X'' + a_2(x)X' + \lambda X = 0,$$

$$b_1(y)Y'' + b_2(y)Y' - \lambda Y = 0;$$

$$(2) u(r, \varphi) = R(r)\Phi(\varphi),$$

$$\frac{1}{r} \frac{d}{dr} \left(r \frac{dR}{dr} \right) - \frac{\lambda}{r^2} R = 0,$$

$$\Phi'' + \lambda\Phi = 0;$$

$$(3) \quad u(r, \theta) = R(r)\Theta(\theta),$$

$$\frac{1}{r^2} \frac{d}{dr} \left(r^2 \frac{dR}{dr} \right) - \frac{\lambda}{r^2} R = 0,$$

$$\frac{1}{\sin \theta} \frac{d}{d\theta} \left(\sin \theta \frac{d\Theta}{d\theta} \right) + \lambda \Theta = 0;$$

$$(4) \quad u(\alpha, \beta, \varphi) = \sqrt{\operatorname{ch} \beta - \cos \alpha} \, v(\alpha, \beta, \varphi),$$

$$v(\alpha, \beta, \varphi) = A(\alpha)B(\beta)\Phi(\varphi),$$

$$\frac{1}{\sin \alpha} \frac{d}{d\alpha} \left(\sin \alpha \frac{dA}{d\alpha} \right) + \left(\lambda - \frac{\mu}{\sin^2 \alpha} \right) A = 0,$$

$$B'' - \left(\lambda + \frac{1}{4} \right) B = 0,$$

$$\Phi'' + \mu\Phi = 0.$$

$$212. \quad (1) \quad \lambda_n = \left(\frac{n\pi}{l} \right)^2, \quad n = 1, 2, 3, \dots,$$

$$X_n(x) = \sin \frac{n\pi}{l} x,$$

$$N_n = \frac{1}{\sqrt{\int_0^l X_n^2 dx}} = \sqrt{\frac{2}{l}},$$

$$(2) \quad \lambda_n = \left(\frac{2n+1}{2l} \pi \right)^2, \quad n = 0, 1, 2, \dots,$$

$$X_n(x) = \sin \frac{2n+1}{2l} \pi x,$$

$$N_n = \sqrt{\frac{2}{l}};$$

$$(3) \lambda_n = \left(\frac{n\pi}{l}\right)^2, \quad n=0,1,2,\dots$$

$$X_n(x) = \cos \frac{n\pi}{l}x,$$

$$N_n = \sqrt{\frac{2}{l(1+\delta_{n0})}};$$

$$(4) \lambda_n = \left(\frac{n\pi}{b-a}\right)^2, \quad n=1,2,3,\dots,$$

$$X_n(x) = \sin \frac{n\pi}{b-a}(x-a),$$

$$N_n = \sqrt{\frac{2}{b-a}};$$

(5) 本征值 λ_n 是方程 $\operatorname{tg} \sqrt{\lambda_n} l + \frac{\beta}{\alpha} \sqrt{\lambda_n} = 0$ 的第 n 个正根, $n=1,2,3,\dots$,

$$X_n(x) = \sin \sqrt{\lambda_n} x.$$

$$N_n = \sqrt{\frac{1}{\frac{l}{2} + \frac{1}{2} \frac{\alpha\beta}{\alpha^2 + \beta^2 \lambda_n}}};$$

(6) 本征值 λ_n 是方程

$$(\alpha_1\beta_2 - \alpha_2\beta_1)\sqrt{\lambda_n} + (\alpha_1\alpha_2 + \beta_1\beta_2\lambda_n)\operatorname{tg} \sqrt{\lambda_n} l = 0$$

的第 n 个正根, $n=1,2,3,\dots$,

$$X_n(x) = \sin \sqrt{\lambda_n}(x - \delta_n), \quad \delta_n = \frac{1}{\sqrt{\lambda_n}} \operatorname{tg}^{-1} \frac{\beta_1}{\alpha_1} \sqrt{\lambda_n},$$

$$N_n = \sqrt{\frac{l}{2} + \frac{1}{2} \left[\frac{a_2 \beta_2}{a_2^2 + \beta_2^2 \lambda_n} - \frac{a_1 \beta_1}{a_1^2 + \beta_1^2 \lambda_n} \right]}.$$

由此可见，即使本征值问题的微分方程相同，但因为边界条件不同，本征值和本征函数当然也就不同，所以，一般说来，本征函数的归一因子也不相同。

213. $a_n = \frac{2}{l} \int_0^l f(x) \sin \frac{n\pi}{l} x dx$, 这正是函数 $f(x)$ 按本征函数族 $\left\{ \sin \frac{n\pi}{l} x \right\}$ 展开的展开系数。

$$214. \quad u(x, t) = \frac{8Fl}{ES\pi^2} \sum_{n=0}^{\infty} \frac{(-)^n}{(2n+1)^2} \sin \frac{2n+1}{2l} \pi x \\ \times \cos \frac{2n+1}{2l} \pi at.$$

$$215. \quad u(x, t) = \frac{2hl^2}{\pi^2 c(l-c)} \sum_{n=1}^{\infty} \frac{1}{n^2} \sin \frac{n\pi}{l} c \sin \frac{n\pi}{l} x \\ \times \cos \frac{n\pi}{l} at.$$

$$216. \quad u(x, t) = \frac{4v_0 l}{\pi^2 a} \sum_{n=1}^{\infty} \frac{1}{n^2} \sin \frac{n\pi}{l} c \sin \frac{n\pi}{l} \delta \sin \frac{n\pi}{l} x \\ \times \sin \frac{n\pi}{l} at.$$

$$217. \quad u(x, t) = \frac{2I}{\pi \rho a} \sum_{n=1}^{\infty} \frac{1}{n} \sin \frac{n\pi}{l} c \sin \frac{n\pi}{l} x \sin \frac{n\pi}{l} at.$$

$$218. \quad u(x, t) = \frac{8\epsilon l}{\pi^2} \sum_{n=0}^{\infty} \frac{(-)^n}{(2n+1)^2} \sin \frac{2n+1}{2l} \pi x$$

$$\times \cos \frac{2n+1}{2l} \pi a t,$$

$$219. \quad u(x, t) = 2ku_0 \sum_{n=1}^{\infty} \frac{(-)^{n-1}}{l + \frac{h}{h^2 + \lambda_n}} \\ \times \frac{1}{\sqrt{\lambda_n(\lambda_n + h^2)}} e^{-\lambda_n t} \cos \sqrt{\lambda_n} x,$$

λ_n 是方程 $\sqrt{\lambda_n} \operatorname{tg} \sqrt{\lambda_n} l = h$ 的第 n 个正根, $n = 1, 2, 3, \dots$, h 是边界条件 $\left[\frac{\partial u}{\partial x} + hu \right]_{x=l} = 0$ 中的系数.

$$220. \quad u(x, t) = \frac{8b}{\pi^3} \sum_{n=0}^{\infty} \frac{1}{(2n+1)^3} e^{-\kappa \left(\frac{2n+1}{l} \pi \right)^2 t} \\ \times \sin \frac{2n+1}{l} \pi x.$$

$$221. \quad u(x, y) = \frac{b-2}{2a} u_0 x + u_0 - \frac{4bu_0}{\pi^2} \sum_{n=0}^{\infty} \frac{1}{(2n+1)^2} \\ \times \frac{\operatorname{sh} \frac{2n+1}{b} \pi x}{\operatorname{sh} \frac{2n+1}{b} \pi a} \cos \frac{2n+1}{b} \pi y.$$

$$222. \quad u(x, y) = \frac{2A}{\pi} \sum_{n=1}^{\infty} \frac{1}{n} e^{-\frac{n\pi}{a} y} \sin \frac{n\pi}{a} x \\ = \frac{2A}{\pi} \operatorname{tg}^{-1} \frac{e^{-\frac{n\pi}{a} y} \sin \frac{n\pi}{a} x}{1 - e^{-\frac{n\pi}{a} y} \cos \frac{n\pi}{a} x}.$$

$$223. \quad \text{临界厚度 } l_0 = \pi \sqrt{\frac{D}{a}}.$$

$$224. \quad u(x, t) = e^{-ht} \sum_{n=1}^{\infty} (A_n \sin \omega_n t + B_n \cos \omega_n t) \sin \frac{n\pi}{l} x,$$

$$A_n = \frac{h}{\omega_n} B_n + \frac{2}{l \omega_n} \int_0^l \psi(x) \sin \frac{n\pi}{l} x dx,$$

$$B_n = \frac{2}{l} \int_0^l \varphi(x) \sin \frac{n\pi}{l} x dx,$$

$$\omega_n = \sqrt{\left(\frac{n\pi}{l} a\right)^2 - h^2}.$$

$$225. \quad u(x, y, t) = \frac{64 A l^4}{\pi^6} \sum_{n=0}^{\infty} \sum_{m=0}^{\infty} \frac{1}{(2n+1)^3 (2m+1)^3}$$

$$\times \sin \frac{2n+1}{l} \pi x \sin \frac{2m+1}{l} \pi y \cos \omega_{nm} t.$$

$$\omega_{nm} = \sqrt{(2n+1)^2 + (2m+1)^2} \frac{\pi}{l} a.$$

$$226. \quad u(x, y, t) = \frac{16 \nu_0}{\pi^2} \sum_{n=0}^{\infty} \sum_{m=0}^{\infty} \frac{(-)^{n+m}}{(2n+1)(2m+1)\omega_{nm}}$$

$$\times \sin \frac{2n+1}{l} \pi \delta \sin \frac{2m+1}{l} \pi \delta$$

$$\times \sin \frac{2n+1}{l} \pi x \sin \frac{2m+1}{l} \pi y \sin \omega_{nm} t,$$

$$\omega_{nm} = \sqrt{(2n+1)^2 + (2m+1)^2} \frac{\pi}{l} a.$$

$$227. \quad u(x, y, t) = \frac{4I}{\rho l^2} \sum_{n=0}^{\infty} \sum_{m=0}^{\infty} \frac{(-)^{n+m}}{\omega_{nm}} \sin \frac{2n+1}{l} \pi x$$

$$\times \sin \frac{2m+1}{l} \pi y \sin \omega_{nm} t,$$

$$\omega_{nm} = \sqrt{(2n+1)^2 + (2m+1)^2} \frac{\pi}{l} a, \quad \rho \text{ 是膜的面密}$$

度。

228. (1) 本征值 λ_n 是方程 $\left(\frac{a}{c}\right)^2 \sqrt{\lambda_n} \operatorname{tg} \sqrt{\lambda_n} l = 1$ 的第 n 个正根, $n=1, 2, 3, \dots$, 本征函数为 $X_n(x) = \sin \sqrt{\lambda_n} x$;

$$(2) \int_0^l X_n(x) X_m(x) dx = \begin{cases} -\left(\frac{a}{c}\right)^2 \sin \sqrt{\lambda_n} l \sin \sqrt{\lambda_m} l, & m \neq n, \\ \frac{l}{2} - \frac{\left(\frac{a}{c}\right)^2}{2 \left[\left(\frac{a}{c}\right)^4 \lambda_n + 1 \right]}, & m = n, \end{cases}$$

$$(3) \int_0^l X'_n(x) X'_m(x) dx = \lambda_n \left\{ \frac{l}{2} + \frac{\left(\frac{a}{c}\right)^2}{2 \left[\left(\frac{a}{c}\right)^4 \lambda_n + 1 \right]} \right\} \delta_{nm}.$$

从以上结果可以看出, 本题中的本征函数本身并不是互相正交的, 然而, 它们的导数却是互相正交的。

$$229. u(x, t) = \sum_{n=1}^{\infty} (A_n \sin \sqrt{\lambda_n} at + B_n \cos \sqrt{\lambda_n} at) \times \sin \sqrt{\lambda_n} x,$$

$$A_n = \frac{N_n^2}{\lambda_n a} \int_0^l \psi'(x) \cos \sqrt{\lambda_n} x dx,$$

$$B_n = \frac{N_n^2}{\sqrt{\lambda_n}} \int_0^l \varphi'(x) \cos \sqrt{\lambda_n} x dx,$$

其中 λ_n 是方程 $\left(\frac{a}{c}\right)^2 \sqrt{\lambda_n} \operatorname{tg} \sqrt{\lambda_n} l = 1$ 的第 n 个正根,

$$N_n^2 = \frac{l}{2} + \frac{\left(\frac{a}{c}\right)^2}{2\left[\left(\frac{a}{c}\right)^4 \lambda_n + 1\right]}.$$

$$\begin{aligned} 230. \quad u(x, t) = & \sum_{n=1}^{\infty} \left[A_n \sin\left(\frac{n\pi}{l}\right)^2 at + B_n \cos\left(\frac{n\pi}{l}\right)^2 at \right] \\ & \times \sin \frac{n\pi}{l} x, \end{aligned}$$

$$A_n = \frac{2l}{(n\pi)^2 a} \int_0^l \psi(x) \sin \frac{n\pi}{l} x dx,$$

$$B_n = \frac{2}{l} \int_0^l \varphi(x) \sin \frac{n\pi}{l} x dx.$$

$$\begin{aligned} 231. \quad (1) \quad u(x, y) = & \frac{8a^2}{\pi^3} \sum_{n=0}^{\infty} \frac{1}{(2n+1)^3} \\ & \times \left\{ 1 - \frac{\operatorname{ch} \frac{2n+1}{a} \pi y}{\operatorname{ch} \frac{2n+1}{2a} \pi b} \right\} \sin \frac{2n+1}{a} \pi x \\ = & -x(x-a) - \frac{8a^2}{\pi^3} \sum_{n=0}^{\infty} \frac{1}{(2n+1)^3} \\ & \times \frac{\operatorname{ch} \frac{2n+1}{a} \pi y}{\operatorname{ch} \frac{2n+1}{2a} \pi b} \sin \frac{2n+1}{a} \pi x; \end{aligned}$$

$$\begin{aligned}
(2) \quad u(x, y) &= \frac{2a^4}{\pi^3} \sum_{n=1}^{\infty} \frac{(-)^{n+1}}{n^3} \\
&\times \left\{ y - \frac{b}{2} \frac{\operatorname{sh} \frac{n\pi}{a} y}{\operatorname{sh} \frac{n\pi}{2a} b} \right\} \sin \frac{n\pi}{a} x \\
&- \frac{8a^4}{\pi^5} \sum_{n=0}^{\infty} \frac{1}{(2n+1)^5} \left\{ y - \frac{b}{2} \frac{\operatorname{sh} \frac{2n+1}{a} \pi y}{\operatorname{sh} \frac{2n+1}{2a} \pi b} \right\} \sin \frac{2n+1}{a} \pi x \\
&= -\frac{1}{12} xy(x^3 - a^3) + \frac{a^4 b}{\pi^3} \sum_{n=1}^{\infty} \frac{(-)^n}{n^3} \frac{\operatorname{sh} \frac{n\pi}{a} y}{\operatorname{sh} \frac{n\pi}{2a} b} \sin \frac{n\pi}{a} x \\
&+ \frac{4a^4 b}{\pi^5} \sum_{n=0}^{\infty} \frac{1}{(2n+1)^5} \frac{\operatorname{sh} \frac{2n+1}{a} \pi y}{\operatorname{sh} \frac{2n+1}{2a} \pi b} \sin \frac{2n+1}{a} \pi x.
\end{aligned}$$

$$\begin{aligned}
232. \quad u(x, t) &= -\frac{8bl^4}{\pi^5 a^2} \sum_{n=0}^{\infty} \frac{1}{(2n+1)^5} \left(\cos \frac{2n+1}{l} \pi at - 1 \right) \\
&\times \sin \frac{2n+1}{l} \pi x \\
&= -\frac{b}{12a^2} x^2 (x-l)^2 + \frac{bl^2}{12a^2} x(x-l) \\
&- \frac{8bl^4}{\pi^5 a^2} \sum_{n=0}^{\infty} \frac{1}{(2n+1)^5} \sin \frac{2n+1}{l} \pi x \\
&\times \cos \frac{2n+1}{l} \pi at.
\end{aligned}$$

$$233. \quad u(x, t) = \frac{P}{E} x - \frac{8Pl}{E\pi^2} \sum_{n=0}^{\infty} \frac{(-)^n}{(2n+1)^2} \sin \frac{2n+1}{2l} \pi x \\ \times \cos \frac{2n+1}{2l} \pi at.$$

$$234. \quad u(x, t) = \frac{A}{ES} \frac{\sin \frac{\omega}{a} x}{\frac{\omega}{a} \cos \frac{\omega}{a} l} \sin \omega t \\ + \frac{4A\omega}{ES\pi a} \sum_{n=0}^{\infty} \frac{(-)^n}{2n+1} \frac{1}{\left(\frac{\omega}{a}\right)^2 - \left(\frac{2n+1}{2l}\pi\right)^2} \\ \times \sin \frac{2n+1}{2l} \pi x \sin \frac{2n+1}{2l} \pi at.$$

当 ω 正好是杆的一个固有频率 (例如, $\omega = \omega_m = \frac{2m+1}{2l} \pi a$) 时, 则应将上式中级数内的 $n=m$ 项和齐次化函数 (即上式中的第一项) 合并, 再利用洛必达法则求极限,

$$u(x, t) = \frac{6Al}{ES} \frac{(-)^m}{(2m+1)^2 \pi^2} \sin \frac{2m+1}{2l} \pi x \\ \times \sin \frac{2m+1}{2l} \pi at \\ + \frac{2A}{ES} \frac{(-)^{m+1}}{(2m+1)\pi} \left[x \cos \frac{2m+1}{2l} \pi x \right. \\ \times \sin \frac{2m+1}{2l} \pi at + at \sin \frac{2m+1}{2l} \pi x \\ \left. \times \cos \frac{2m+1}{2l} \pi at \right]$$

$$\begin{aligned}
& + \frac{8(2m+1)Al}{ES\pi^2} \times \sum_{n=0}^{\infty} \frac{(-)^n}{2n+1} \\
& \times \frac{1}{(2m+1)^2 - (2n+1)^2} \sin \frac{2n+1}{2l} \pi x \\
& \times \sin \frac{2n+1}{2l} \pi at,
\end{aligned}$$

其中 Σ' 表示和式中不含 $n=m$ 项。

$$235. \quad u(x, t) = \cos \frac{\pi}{l} x \cos \frac{\pi}{l} at + \frac{2l}{\pi a} \sin \frac{\pi}{2l} x \sin \frac{\pi}{2l} at.$$

$$\begin{aligned}
236. \quad u(x, t) &= A \frac{\sin \alpha(l-x)}{\sin \alpha l} e^{-\alpha^2 \kappa t} + B \frac{\sin \beta x}{\sin \beta l} e^{-\beta^2 \kappa t} \\
&+ \sum_{n=1}^{\infty} 2n\pi \left[\frac{A}{(\alpha l)^2 - (n\pi)^2} - \frac{(-)^n B}{(\beta l)^2 - (n\pi)^2} \right] \\
&\times \sin \frac{n\pi}{l} x e^{-(\frac{n\pi}{l})^2 \kappa t} \\
&= 2A\pi \sum_{n=1}^{\infty} \frac{n}{(\alpha l)^2 - (n\pi)^2} \sin \frac{n\pi}{l} x \\
&\times [e^{-(\frac{n\pi}{l})^2 \kappa t} - e^{-\alpha^2 \kappa t}] \\
&- 2B\pi \sum_{n=1}^{\infty} \frac{(-)^n n}{(\beta l)^2 - (n\pi)^2} \sin \frac{n\pi}{l} x \\
&\times [e^{-(\frac{n\pi}{l})^2 \kappa t} - e^{-\beta^2 \kappa t}].
\end{aligned}$$

$$237. \quad u(x, y) = u_1(x, y) + u_2(x, y),$$

$$u_1(x, y) = \sum_{n=1}^{\infty} \left[A_n \operatorname{sh} \frac{n\pi}{a} y + B_n \operatorname{sh} \frac{n\pi}{a} (b-y) \right]$$

$$\times \sin \frac{n\pi}{a} x,$$

$$A_n = \frac{2}{a \operatorname{sh} \frac{n\pi}{b}} \int_0^a \psi_2(x) \sin \frac{n\pi}{a} x dx,$$

$$B_n = \frac{2}{a \operatorname{sh} \frac{n\pi}{b}} \int_0^a \psi_1(x) \sin \frac{n\pi}{a} x dx,$$

$$u_2(x, y) = \sum_{n=1}^{\infty} \left[C_n \operatorname{sh} \frac{n\pi}{b} x + D_n \operatorname{sh} \frac{n\pi}{b} (a-x) \right] \times \sin \frac{n\pi}{b} y,$$

$$C_n = \frac{2}{b \operatorname{sh} \frac{n\pi}{a}} \int_0^b \varphi_2(y) \sin \frac{n\pi}{b} y dy,$$

$$D_n = \frac{2}{b \operatorname{sh} \frac{n\pi}{a}} \int_0^b \varphi_1(y) \sin \frac{n\pi}{b} y dy.$$

$$238. \quad u(x, y) = B \frac{\operatorname{sh} \frac{\pi}{a} (b-y)}{\operatorname{sh} \frac{\pi}{a} b} \sin \frac{\pi}{a} x$$

$$+ \frac{8Ab^2}{\pi^3} \sum_{n=0}^{\infty} \frac{1}{(2n+1)^3} \frac{\operatorname{sh} \frac{2n+1}{b} \pi (a-x)}{\operatorname{sh} \frac{2n+1}{b} \pi a} \sin \frac{2n+1}{b} \pi y.$$

$$239. \quad u(x, t) = \frac{u_0}{l} x + \frac{4fl^2}{\pi^3 \kappa} \sum_{n=0}^{\infty} \frac{1}{(2n+1)^3}$$

$$\begin{aligned} & \times \left[1 - e^{-(\frac{2n+1}{l}\pi)^2 \kappa t} \right] \sin \frac{2n+1}{l} \pi x \\ & = \frac{u_0}{l} x + \frac{l}{2\kappa} x(l-x) - \frac{4fl^2}{\pi^3 \kappa} \sum_{n=0}^{\infty} \frac{1}{(2n+1)^3} \\ & \quad \times e^{-(\frac{2n+1}{l}\pi)^2 \kappa t} \sin \frac{2n+1}{l} \pi x. \end{aligned}$$

$$240. \quad u(x, t) = \frac{1}{c^2} gx + \sum_{n=1}^{\infty} T_n(t) \sin \sqrt{\lambda_n} x,$$

$$\begin{aligned} T_n(t) &= \frac{\psi_n}{\sqrt{\lambda_n} a} \sin \sqrt{\lambda_n} at \\ &+ \left(\varphi_n - \frac{g}{c^2} \frac{N_n^2}{\lambda_n} \sin \sqrt{\lambda_n} l \right) \cos \sqrt{\lambda_n} at \\ &+ \frac{f_n}{\lambda_n a^2} (1 - \cos \sqrt{\lambda_n} at), \end{aligned}$$

其中本征值 λ_n 及本征函数 $\sin \sqrt{\lambda_n} x$ 见第228题, f_n, φ_n 及 ψ_n 分别是函数 $f(x)$ 、 $\varphi(x)$ 及 $\psi(x)$ 按 $\sin \sqrt{\lambda_n} x$ 展开的系数,

$$f_n = \frac{N_n^2}{\sqrt{\lambda_n}} \int_0^l f'(x) \cos \sqrt{\lambda_n} x dx,$$

$$\varphi_n = \frac{N_n^2}{\sqrt{\lambda_n}} \int_0^l \varphi'(x) \cos \sqrt{\lambda_n} x dx,$$

$$\psi_n = \frac{N_n^2}{\sqrt{\lambda_n}} \int_0^l \psi'(x) \cos \sqrt{\lambda_n} x dx,$$

归一因子 N_n 见第229题.

$$\begin{aligned} 241. \quad u(x, t) &= \frac{Mg}{2T} \left[\left| x - \frac{l}{2} \right| - \frac{l}{2} \right] \\ &+ \sum_{n=1}^{\infty} \left(A_n \sin \frac{2n\pi}{l} at + B_n \cos \frac{2n\pi}{l} at \right) \sin \frac{2n\pi}{l} x \end{aligned}$$

$$+ \sum_{n=1}^{\infty} (C_n \sin k_n a t + D_n \cos k_n a t) X_n(x),$$

其中 $k_n = \sqrt{\lambda_n} > 0$ 是 $\frac{M a^2}{2T} k \operatorname{tg} \frac{k l}{2} = 1$ 的解,

$$X_n(x) = \begin{cases} \sin k_n x, & 0 < x < l/2, \\ \sin k_n (l-x), & l/2 < x < l, \end{cases}$$

$$A_n = \frac{l}{2(n\pi)^2 a} \int_0^l \psi'(x) \cos \frac{2n\pi}{l} x dx,$$

$$B_n = \frac{1}{n\pi} \int_0^l \varphi'(x) \cos \frac{2n\pi}{l} x dx,$$

$$C_n = \frac{N_n^2}{k_n a} \int_0^l \psi'(x) X_n'(x) dx,$$

$$D_n = N_n^2 \left[\int_0^l \varphi'(x) X_n'(x) dx + \frac{2Mg}{T} \sin \frac{k_n l}{2} \right],$$

$$\frac{1}{N_n^2} = \int_0^l |X_n'(x)|^2 dx$$

$$= k_n^2 \left[\frac{l}{2} + \frac{2T M a^2}{(M k_n a^2)^2 + 4T^2} \right].$$

242. 设 $\sqrt{\left(\frac{\omega}{a}\right)^2 - i \frac{\omega h}{a^2}} = a - i\beta$, $a > 0$, $\beta \geq 0$, 则

$$u(x, t) = \operatorname{Re} \left\{ A \frac{\sin(a - i\beta)x}{\sin(a - i\beta)l} e^{i\omega t} \right\}$$

$$= \frac{A}{\sin^2 a l + \operatorname{sh}^2 \beta l} \{ (\sin a x \sin a l \operatorname{ch} \beta x \operatorname{ch} \beta l \\ + \cos a x \cos a l \operatorname{sh} \beta x \operatorname{sh} \beta l) \cos \omega t \\ - (\sin a x \cos a l \operatorname{ch} \beta x \operatorname{sh} \beta l \\ - \cos a x \sin a l \operatorname{sh} \beta x \operatorname{ch} \beta l) \sin \omega t \},$$

若 $h = 0$, 则 $\alpha = \frac{\omega}{a}$, $\beta = 0$,

$$u(x, t) = A \frac{\sin \frac{\omega}{a} x}{\sin \frac{\omega}{a} l} \cos \omega t.$$

$$\begin{aligned} 243. \quad u(x, t) &= \operatorname{Re} \left\{ A e^{-\sqrt{\frac{\omega}{2\kappa}}(1+i)x + i\omega t} \right\} \\ &= A e^{-\sqrt{\frac{\omega}{2\kappa}}x} \cos \left(\sqrt{\frac{\omega}{2\kappa}}x - \omega t \right). \end{aligned}$$

习 题 十 三

$$244. \quad (1) \quad ds^2 = a^2 \left\{ \frac{\xi^2 - \eta^2}{\xi^2 - 1} d\xi^2 + \frac{\xi^2 - \eta^2}{1 - \eta^2} d\eta^2 \right\} + dz^2,$$

$$\begin{aligned} \nabla^2 &= \frac{1}{a^2(\xi^2 - \eta^2)} \left\{ \sqrt{\xi^2 - 1} \frac{\partial}{\partial \xi} \left(\sqrt{\xi^2 - 1} \frac{\partial}{\partial \xi} \right) \right. \\ &\quad \left. + \sqrt{1 - \eta^2} \frac{\partial}{\partial \eta} \left(\sqrt{1 - \eta^2} \frac{\partial}{\partial \eta} \right) \right\} + \frac{\partial^2}{\partial z^2}; \end{aligned}$$

$$(2) \quad ds^2 = \frac{\lambda + \mu}{4} \left\{ \frac{d\lambda^2}{\lambda} + \frac{d\mu^2}{\mu} \right\} + dz^2,$$

$$\begin{aligned} \nabla^2 &= \frac{4}{\lambda + \mu} \left\{ \sqrt{\lambda} \frac{\partial}{\partial \lambda} \left(\sqrt{\lambda} \frac{\partial}{\partial \lambda} \right) \right. \\ &\quad \left. + \sqrt{\mu} \frac{\partial}{\partial \mu} \left(\sqrt{\mu} \frac{\partial}{\partial \mu} \right) \right\} + \frac{\partial^2}{\partial z^2}; \end{aligned}$$

$$(3) \quad ds^2 = dr^2 + \frac{r^2(\lambda + \mu)}{4} \left\{ \frac{d\lambda^2}{\lambda(a^2 - \lambda)(\beta^2 + \lambda)} \right.$$

$$+ \frac{d\mu^2}{\mu(\alpha^2 + \mu)(\beta^2 - \mu)} \Big\},$$

$$\nabla^2 = \frac{1}{r^2} \frac{\partial}{\partial r} \left(r^2 \frac{\partial}{\partial r} \right) + \frac{4}{r^2(\lambda + \mu)}$$

$$\times \left\{ \sqrt{\lambda(\alpha^2 - \lambda)(\beta^2 + \lambda)} \frac{\partial}{\partial \lambda} \left[\sqrt{\lambda(\alpha^2 - \lambda)(\beta^2 + \lambda)} \frac{\partial}{\partial \lambda} \right] \right.$$

$$+ \sqrt{\mu(\alpha^2 + \mu)(\beta^2 - \mu)}$$

$$\times \frac{\partial}{\partial \mu} \left[\sqrt{\mu(\alpha^2 + \mu)(\beta^2 - \mu)} \frac{\partial}{\partial \mu} \right] \Big\};$$

$$(4) \quad ds^2 = \frac{(\lambda - \mu)(\lambda - \nu)}{4\varphi(\lambda)} d\lambda^2 + \frac{(\mu - \nu)(\mu - \lambda)}{4\varphi(\mu)} d\mu^2$$

$$+ \frac{(\nu - \lambda)(\nu - \mu)}{4\varphi(\nu)} d\nu^2,$$

$$\nabla^2 = \frac{4}{(\lambda - \mu)(\lambda - \nu)(\mu - \nu)}$$

$$\times \left\{ (\mu - \nu) \sqrt{\varphi(\lambda)} \frac{\partial}{\partial \lambda} \left[\sqrt{\varphi(\lambda)} \frac{\partial}{\partial \lambda} \right] \right.$$

$$+ (\lambda - \nu) \sqrt{-\varphi(\mu)} \frac{\partial}{\partial \mu} \left[\sqrt{-\varphi(\mu)} \frac{\partial}{\partial \mu} \right]$$

$$+ (\lambda - \mu) \sqrt{\varphi(\nu)} \frac{\partial}{\partial \nu} \left[\sqrt{\varphi(\nu)} \frac{\partial}{\partial \nu} \right] \Big\},$$

其中 $\varphi(\theta) \equiv (a^2 + \theta)(b^2 + \theta)(c^2 + \theta)$.

245. 在本题中, 分离变数时引进的待定参数用 σ, τ 表示.

$$(1) \quad u(\xi, \eta, z) = \Xi(\xi)H(\eta)Z(z),$$

$$\sqrt{\xi^2 - 1} \frac{d}{d\xi} \left(\sqrt{\xi^2 - 1} \frac{dE}{d\xi} \right) + [\tau - \sigma a^2 (\xi^2 - 1)] E = 0,$$

$$\sqrt{1 - \eta^2} \frac{d}{d\eta} \left(\sqrt{1 - \eta^2} \frac{dH}{d\eta} \right) + [-\tau - \sigma a^2 (1 - \eta^2)] H = 0,$$

$$Z'' + \sigma Z = 0;$$

$$(2) \quad u(\lambda, \mu, z) = A(\lambda) M(\mu) Z(z),$$

$$\sqrt{\lambda} \frac{d}{d\lambda} \left(\sqrt{\lambda} \frac{dA}{d\lambda} \right) + \left(\tau - \frac{\sigma}{4} \lambda \right) A = 0,$$

$$\sqrt{\mu} \frac{d}{d\mu} \left(\sqrt{\mu} \frac{dM}{d\mu} \right) + \left(-\tau - \frac{\sigma}{4} \mu \right) M = 0,$$

$$Z'' + \sigma Z = 0;$$

$$(3) \quad u(r, \lambda, \mu) = R(r) A(\lambda) M(\mu),$$

$$\frac{d}{dr} \left(r^2 \frac{dR}{dr} \right) + \sigma R = 0,$$

$$\sqrt{\lambda(\alpha^2 - \lambda)(\beta^2 + \lambda)} \frac{d}{d\lambda} \left[\sqrt{\lambda(\alpha^2 - \lambda)(\beta^2 + \lambda)} \frac{dA}{d\lambda} \right]$$

$$+ \left(\tau - \frac{\sigma}{4} \lambda \right) A = 0,$$

$$\sqrt{\mu(\alpha^2 + \mu)(\beta^2 - \mu)} \frac{d}{d\mu} \left[\sqrt{\mu(\alpha^2 + \mu)(\beta^2 - \mu)} \frac{dM}{d\mu} \right]$$

$$+ \left(-\tau - \frac{\sigma}{4} \mu \right) M = 0,$$

$$(4) \quad u(\lambda, \mu, \nu) = A(\lambda) M(\mu) N(\nu),$$

$$\sqrt{\varphi(\lambda)} \frac{d}{d\lambda} \left[\sqrt{\varphi(\lambda)} \frac{dA}{d\lambda} \right] + (\tau - \sigma \lambda) A = 0,$$

$$\sqrt{-\varphi(\mu)} \frac{d}{d\mu} \left[\sqrt{-\varphi(\mu)} \frac{dM}{d\mu} \right] + (-\tau + \sigma \mu) M = 0,$$

$$\sqrt{\varphi(v)} \frac{d}{dv} \left[\sqrt{\varphi(v)} \frac{dN}{dv} \right] + (\tau - \sigma v) N = 0.$$

$$\begin{aligned} 246. \quad u(r, \varphi) &= \frac{4V}{\pi} \sum_{n=0}^{\infty} \frac{1}{2n+1} \left(\frac{r}{a} \right)^{2n+1} \times \sin(2n+1)\varphi \\ &= \frac{2V}{\pi} \operatorname{tg}^{-1} \frac{2ar \sin \varphi}{a^2 - r^2}. \end{aligned}$$

247. 不妨假设阳光垂直于柱轴. 取柱坐标系, z 轴即为柱轴, 阳光照射的半个柱面取为 $0 \leq \varphi \leq \pi$, 则定解问题为

$$\frac{1}{r} \frac{\partial}{\partial r} \left(r \frac{\partial u}{\partial r} \right) + \frac{1}{r^2} \frac{\partial^2 u}{\partial \varphi^2} = 0,$$

$$\left(\frac{\partial u}{\partial r} + hu \right)_{r=a} = \begin{cases} \frac{M}{k} \sin \varphi, & 0 \leq \varphi \leq \pi, \\ 0, & \pi < \varphi < 2\pi. \end{cases}$$

解之得

$$\begin{aligned} u(r, \varphi) &= \frac{M}{kh\pi} + \frac{1}{2} \frac{M}{k \left(\frac{1}{a} + h \right)} \frac{r}{a} \sin \varphi \\ &\quad - \frac{2M}{k\pi} \sum_{m=1}^{\infty} \frac{1}{\left(\frac{2m}{a} + h \right) (4m^2 - 1)} \left(\frac{r}{a} \right)^{2m} \cos 2m\varphi. \end{aligned}$$

248. 设

$$f(\varphi) = \sum_{m=0}^{\infty} (A_m \cos m\varphi + B_m \sin m\varphi),$$

$$g(\varphi) = \sum_{m=0}^{\infty} (C_m \cos m\varphi + D_m \sin m\varphi),$$

则

$$u(r, \varphi) = \sum_{m=0}^{\infty} \frac{\left(\frac{r}{b} \right)^m - \left(\frac{b}{r} \right)^m}{\left(\frac{a}{b} \right)^m - \left(\frac{b}{a} \right)^m} (A_m \cos m\varphi + B_m \sin m\varphi)$$

$$= \sum_{m=0}^{\infty} \frac{\left(\frac{r}{a}\right)^m - \left(\frac{a}{r}\right)^m}{\left(\frac{a}{b}\right)^m - \left(\frac{b}{a}\right)^m} (C_m \cos m\varphi + D_m \sin m\varphi).$$

$$249. \quad u(r, \varphi) = \sum_{n=1}^{\infty} A_n \left(\frac{r}{a}\right)^{\frac{n\pi}{a}} \sin \frac{n\pi}{a} \varphi,$$

$$A_n = \frac{2}{a} \int_0^a f(\varphi) \sin \frac{n\pi}{a} \varphi d\varphi.$$

$$250. \quad u(r, \varphi) = \frac{4A}{\pi} \sum_{n=0}^{\infty} \frac{1}{2n+1} \left(\frac{r}{a}\right)^{\frac{2n+1}{2}} \sin \frac{2n+1}{2} \varphi. \quad \text{且当}$$

$\varphi \rightarrow 0$ 及 $\varphi \rightarrow 2\pi$ 时, $u(r, \varphi)$ 均趋于 0, 而

$$\left. \frac{1}{r} \frac{\partial u}{\partial \varphi} \right|_{\varphi=0} = \frac{2A}{\pi a} \sum_{n=0}^{\infty} \left(\frac{r}{a}\right)^{\frac{2n-1}{2}} = \frac{2A}{\pi} \frac{1}{a-r} \sqrt{\frac{a}{r}},$$

$$\left. \frac{1}{r} \frac{\partial u}{\partial \varphi} \right|_{\varphi=2\pi} = -\frac{2A}{\pi a} \sum_{n=0}^{\infty} \left(\frac{r}{a}\right)^{\frac{2n-1}{2}} = -\frac{2A}{\pi} \frac{1}{a-r} \sqrt{\frac{a}{r}}.$$

$$251. \quad (1) \quad a^2 - r^2; \quad (2) \quad \frac{1}{2}(a^2 - r^2)r \sin \varphi;$$

$$(3) \quad \frac{1}{3}(a^2 - r^2)r^2 \sin 2\varphi.$$

$$252. \quad u(r, \varphi) = \frac{4V}{\pi} \varphi + \frac{2V}{\pi} \sum_{n=1}^{\infty} \frac{(-)^n}{n}$$

$$\times \frac{\left(\frac{r}{a}\right)^{4n} - \left(\frac{a}{r}\right)^{4n} + \left(\frac{b}{r}\right)^{4n} - \left(\frac{r}{b}\right)^{4n}}{\left(\frac{b}{a}\right)^{4n} - \left(\frac{a}{b}\right)^{4n}} \sin 4n\varphi$$

$$= \frac{4V}{\pi} \sum_{n=0}^{\infty} \frac{1}{2n+1} \frac{\operatorname{sh}\left(\frac{2n+1}{\ln b - \ln a} \pi \varphi\right)}{\operatorname{sh}\left(\frac{2n+1}{\ln b - \ln a} \frac{\pi^2}{4}\right)}$$

$$\times \sin \left[\frac{\ln r - \ln a}{\ln b - \ln a} (2n+1)\pi \right].$$

$$253. \quad u(r, t) = A \frac{\sin p\pi r}{r \sin p\pi} e^{-(p\pi)^2 \kappa t}$$

$$+ \frac{2A}{\pi} \sum_{n=1}^{\infty} (-)^n \frac{n}{n^2 - p^2} \frac{\sin n\pi r}{r} e^{-(n\pi)^2 \kappa t}.$$

当 $p = m$ (整数) 时, 应该用洛必达法则求其极限值,

$$\begin{aligned} u(r, t) = & (-)^m A \left[\frac{\sin m\pi r}{2m\pi r} + \cos m\pi r \right. \\ & \left. - \frac{2m\pi \kappa t \sin m\pi r}{r} \right] e^{-(m\pi)^2 \kappa t} \\ & + \frac{2A}{\pi} \sum'_{n=1}^{\infty} (-)^n \frac{n}{n^2 - m^2} \frac{\sin n\pi r}{r} e^{-(n\pi)^2 \kappa t}. \end{aligned}$$

其中 Σ' 表示和式中不含 $n = m$ 项.

习 题 十 四

$$254. \quad (1) \quad \frac{d}{dx} \left(x^2 \frac{dy}{dx} \right) + (\lambda x + x^2) y = 0;$$

$$(2) \quad \frac{d}{dx} \left(\sin x \frac{dy}{dx} \right) + \lambda \sin x y = 0;$$

$$(3) \quad \frac{d}{dx} \left[\left(\frac{x}{1-x} \right)^a (1-x)^b \frac{dy}{dx} \right]$$

$$+ \lambda \left(\frac{x}{1-x} \right)^{a-1} (1-x)^{b-2} y = 0;$$

$$(4) \quad \frac{d}{dx} \left(x e^{-x} \frac{dy}{dx} \right) + \lambda e^{-x} y = 0.$$

$$257. \lambda_n = \left(\frac{n\pi}{\ln b - \ln a} \right)^2, \quad R_n = \sin \left(\frac{\ln r - \ln a}{\ln b - \ln a} n\pi \right),$$

$$n = 1, 2, 3, \dots$$

260. 设这两段弦的密度分别为 ρ_1 和 ρ_2 , 位移分别为 $u_1(x, t)$ 及 $u_2(x, t)$, 则 $u_1(x, t)$ 及 $u_2(x, t)$ 满足的方程、边界条件及连接条件为

$$\begin{cases} \frac{\partial^2 u_1}{\partial t^2} - a_1^2 \frac{\partial^2 u_1}{\partial x^2} = 0, & 0 < x < l_1, \\ \frac{\partial^2 u_2}{\partial t^2} - a_2^2 \frac{\partial^2 u_2}{\partial x^2} = 0, & l_1 < x < l, \\ u_1(0, t) = 0, & u_2(l, t) = 0, \\ u_1(l_1, t) = u_2(l_1, t), & \frac{\partial^2 u_1}{\partial x^2} \Big|_{x=l_1} = \frac{\partial^2 u_2}{\partial x^2} \Big|_{x=l_1}, \end{cases}$$

其中 $l = l_1 + l_2$. 令 $u_1(x, t) = X_1(x)e^{i\omega t}$, $u_2(x, t) = X_2(x)e^{i\omega t}$, 代入分离变数, 即得

$$\begin{aligned} X_1'' + \left(\frac{\omega}{a_1} \right)^2 X_1 &= 0, & X_2'' + \left(\frac{\omega}{a_2} \right)^2 X_2 &= 0, \\ X_1(0) &= 0, & X_2(l) &= 0, \\ X_1(l_1) &= X_2(l_1), & X_1'(l_1) &= X_2'(l_1). \end{aligned}$$

这时需考虑下列两种可能:

1. $\sin \frac{\omega}{a_1} l_1 \neq 0$, $\sin \frac{\omega}{a_2} l_2 \neq 0$, 本征频率 ω_n 为方程

$$a_1 \operatorname{ctg} \frac{\omega}{a_1} l_1 + a_2 \operatorname{ctg} \frac{\omega}{a_2} l_2 = 0$$

的第 n 个正根, $n = 1, 2, 3, \dots$, 相应的本征函数是

$$X_n(x) = \begin{cases} X_1(x) = \frac{\sin \frac{\omega_n}{a_1} x}{\sin \frac{\omega_n}{a_1} l_1}, & 0 < x < l_1, \\ X_2(x) = \frac{\sin \frac{\omega_n}{a_2} (l - x)}{\sin \frac{\omega_n}{a_2} l_2}, & l_1 < x < l. \end{cases}$$

2. $\sin \frac{\omega}{a_1} l_1 = 0$, $\sin \frac{\omega}{a_2} l_2 = 0$, 这时应有

$$\frac{l_1}{l_2} \frac{a_2}{a_1} = \frac{l_1}{l_2} \sqrt{\frac{\rho_1}{\rho_2}} = \frac{r}{s},$$

r 和 s 为互质的整数, 本征频率为

$$\omega_n = \frac{nr\pi}{l_1} a_1 = \frac{ns\pi}{l_2} a_2, \quad n = 1, 2, 3, \dots,$$

相应的本征函数为

$$X_n(x) = \begin{cases} (-)^{nr} a_1 \sin \frac{\omega_n}{a_1} x, & 0 < x < l_1, \\ (-)^{ns+1} a_2 \sin \frac{\omega_n}{a_2} (l - x), & l_1 < x < l. \end{cases}$$

对应不同本征值(即不同本征频率)的本征函数在 $[0, l]$ 上以权重 $\rho(x)$ 正交, 即

$$\int_0^l X_m(x) X_n(x) \rho(x) dx = 0, \quad m \neq n$$

正交权重即为弦的线密度函数,

$$\rho(x) = \begin{cases} \rho_1, & 0 < x < l_1, \\ \rho_2, & l_1 < x < l. \end{cases}$$

261. 可以仿照上题讨论, 只是边界条件及连接条件应为

$$u_1|_{x=0} = 0, \quad \left. \frac{\partial u_2}{\partial x} \right|_{x=l} = 0,$$

$$u_1|_{x=l_1} = u_2|_{x=l_1}, \quad E_1 \left. \frac{\partial u_1}{\partial x} \right|_{x=l_1} = E_2 \left. \frac{\partial u_2}{\partial x} \right|_{x=l_1},$$

其中 $l = l_1 + l_2$,

$$a_1 = \sqrt{\frac{E_1}{\rho_1}}, \quad a_2 = \sqrt{\frac{E_2}{\rho_2}}.$$

现在也需要考虑两种可能:

1. 若 $\sin \frac{\omega}{a_1} l_1 \neq 0$, $\cos \frac{\omega}{a_2} l_2 \neq 0$, 则本征频率 ω_n 是超越

方程

$$\frac{E_1}{a_1} \operatorname{ctg} \frac{\omega}{a_1} l_1 = \frac{E_2}{a_2} \operatorname{tg} \frac{\omega}{a_2} l_2$$

的第 n 个正根, $n = 1, 2, 3, \dots$, 相应的本征函数为

$$X_n(x) = \begin{cases} \frac{\sin \frac{\omega_n}{a_1} x}{\sin \frac{\omega_n}{a_1} l_1}, & 0 < x < l_1, \\ \frac{\cos \frac{\omega_n}{a_2} (l - x)}{\cos \frac{\omega_n}{a_2} l_2}, & l_1 < x < l. \end{cases}$$

2. $\sin \frac{\omega}{a_1} l_1 = 0$, $\cos \frac{\omega}{a_2} l_2 = 0$, 即满足

$$\frac{l_1}{l_2} \frac{a_2}{a_1} = \frac{l_1}{l_2} \sqrt{\frac{E_2 \rho_1}{E_1 \rho_2}} = \frac{2r}{2s+1},$$

r 和 s 为整数, 且 $2r$ 与 $2s+1$ 互质. 此时本征频率为

$$\omega_n = (2n+1) \frac{\pi}{l_1} a_1 = (2n+1) \frac{(2s+1)\pi}{2l_2} a_2,$$

$$n = 1, 2, 3, \dots,$$

本征函数为

$$X_n = \begin{cases} \frac{(-)^r a_1}{E_1} \sin \frac{\omega_n}{a_1} x, & 0 < x < l_1, \\ \frac{(-)^{s+r} a_2}{E_2} \cos \frac{\omega_n}{a_2} (l-x), & l_1 < x < l. \end{cases}$$

$$267. \quad u(x, y) = \sum_{m=1}^{\infty} \sum_{n=1}^{\infty} \frac{A_{mn}}{\left(\frac{m\pi}{a}\right)^2 + \left(\frac{n\pi}{b}\right)^2} \sin \frac{m\pi}{a} x \\ \times \sin \frac{n\pi}{b} y,$$

$$A_{mn} = \frac{4}{ab} \int_0^a dx \int_0^b f(x, y) \sin \frac{m\pi}{a} x \sin \frac{n\pi}{b} y dy.$$

$$268. \quad (1) \quad u(x, y) = \frac{32}{\pi^2}$$

$$\times \sum_{m=0}^{\infty} \sum_{n=0}^{\infty} \frac{1}{(2m+1)(2n+1) \left[\left(\frac{2m+1}{a}\right)^2 + \left(\frac{2n+1}{b}\right)^2 \right]} \\ \times \sin \frac{m\pi}{a} x \sin \frac{n\pi}{b} y;$$

$$(2) \quad u(x, y) = \sum_{m=1}^{\infty} \sum_{n=1}^{\infty} \frac{A_{mn}}{\left(\frac{m\pi}{a}\right)^2 + \left(\frac{n\pi}{b}\right)^2} \\ \times \sin \frac{m\pi}{a} x \sin \frac{n\pi}{b} y,$$

$$A_{mn} = (-)^{m+n} \frac{4a^2b}{mn\pi^2} \left\{ -1 + \frac{4}{(n\pi)^2} [1 - (-)^n] \right\}.$$

习 题 十 五

275. 当 $k = l + 2n$, $n = 0, 1, 2, \dots$ 时, 积分为

$$2^{l+1} \frac{(l+n)! (l+2n)!}{n! (2l+2n+1)!}, \text{ 其它情况下积分均为 } 0.$$

283. (1) 当 $k = l + 2n + 1$, $n = 0, 1, 2, \dots$ 时, 积分均为 2, 其它情况下积分均为 0;

$$(2) \frac{2t^l}{1-t^2}.$$

$$288. (1) \frac{2l(l+1)}{2l+1} \delta_{kl};$$

(2) 不妨设 $k \geq l$. 当 $k-l$ 为偶数时, 积分为 $l(l+1)$; 当 $k-l$ 为奇数时, 积分为 0.

289. (1) 当 $k+l = \text{奇数}$ 时, 不妨设 $k = 2n$, $l = 2m+1$, 此时, 积分为

$$\frac{(-)^{m+n}}{(2m+1)(2m+2) - 2n(2n+1)} \frac{(2m+1)! (2n)!}{2^{2m+2n} (m! n!)^2};$$

当 $k+l = \text{偶数}$ 时, 积分为 $\frac{1}{2l+1} \delta_{kl}$;

$$(2) \frac{2(k+1)}{(2k+1)(2k+3)}; \quad (3) \frac{2(k+1)(k+2)}{(2k+1)(2k+3)(2k+5)};$$

$$(4) \frac{2(2k^2+2k-1)}{(2k-1)(2k+1)(2k+3)}.$$

$$290. (1) x^2 = \frac{1}{3} P_0(x) + \frac{2}{3} P_2(x),$$

$$(2) |x| = \sum_{k=0}^{\infty} (-)^{k+1} \frac{(2k)!}{(2^k k!)^2} \frac{4k+1}{2(2k-1)(k+1)} P_{2k}(x);$$

$$(3) f(x) = \frac{1}{2} P_1(x) + \sum_{k=0}^{\infty} (-)^{k+1} \frac{(2k)!}{(2^k k!)^2} \times \frac{4k+1}{4(2k-1)(k+1)} P_{2k}(x);$$

$$(4) \sqrt{1-2xt+t^2} = \sum_{k=0}^{\infty} \left(\frac{t^{k+2}}{2k+3} - \frac{t^k}{2k-1} \right) P_k(x).$$

$$291. (2) Q_0(x) = \frac{1}{2} \ln \frac{x+1}{x-1},$$

$$Q_1(x) = \frac{1}{2} x \ln \frac{x+1}{x-1} - 1,$$

$$Q_2(x) = \frac{1}{2} \left(\frac{3}{2} x^2 - \frac{1}{2} \right) \ln \frac{x+1}{x-1} - \frac{3}{2} x.$$

$$292 (1) \lambda_l = (2l+1)(2l+2),$$

$$y_l(x) = P_{2l+1}(x),$$

$$l = 0, 1, 2, \dots;$$

$$(2) \lambda_l = 2i(2l+1),$$

$$y_l(x) = P_{2l}(x), \quad l = 0, 1, 2, \dots.$$

$$293. u(r, \theta) = \frac{u_0}{2} (1 - \cos \alpha) + \frac{u_0}{2} \sum_{l=1}^{\infty} [P_{l-1}(\cos \alpha) - P_{l+1}(\cos \alpha)] \left(\frac{r}{a} \right)^l P_l(\cos \theta).$$

$$294. u(r, \theta) = \frac{M}{2} \frac{1}{H + \frac{k}{a}} \frac{r}{a} P_1(\cos \theta)$$

$$+ \frac{M}{2} \sum_{l=0}^{\infty} \frac{(-)^{l+1}}{H + 2l \frac{k}{a}} \frac{(2l)!}{(2^l l!)^2} \\ \times \frac{4l+1}{(2l-1)(2l+2)} \left(\frac{r}{a}\right)^{2l} P_{2l}(\cos \theta).$$

$$295. \quad u(r, \theta) = \frac{b-3a}{3(b-a)} u_0 + \frac{2b}{3(b-a)} \frac{a}{r} u_0 \\ + \frac{2}{3} \frac{b^3 a^2}{b^3 - a^2} \left[\left(\frac{r}{a}\right)^2 - \left(\frac{a}{r}\right)^3 \right] \\ \times u_0 P_2(\cos \theta).$$

$$296. \quad u(x, t) = \sum_{k=0}^{\infty} [A_k \cos \sqrt{(k+1)(2k+1)} \omega t \\ + B_k \sin \sqrt{(k+1)(2k+1)} \omega t] P_{2k+1}\left(\frac{x}{l}\right),$$

$$A_k = \frac{4k+3}{l} \int_0^1 \varphi(x) P_{2k+1}\left(\frac{x}{l}\right) dx,$$

$$B_k = \frac{4k+3}{\omega l \sqrt{(k+1)(2k+1)}} \\ \times \int_0^1 \psi(x) P_{2k+1}\left(\frac{x}{l}\right) dx.$$

$$297. \quad u(r, \theta) = \sum_{l=0}^{\infty} (-)^l \frac{4l+3}{2l+2} \frac{(2l)!}{(2^l l!)^2} \left(\frac{r}{a}\right)^{2l+1} \\ \times P_{2l+1}(\cos \theta)$$

$$\begin{aligned}
298. \quad u(r, \theta) = & \frac{2MG}{a} \left\{ 1 - \frac{r}{a} \left| P_1(\cos \theta) \right| \right. \\
& - \sum_{l=1}^{\infty} \frac{(-)^l}{2l-1} \frac{(2l)!}{(2^l l!)^2} \\
& \times \left(\frac{r}{a} \right)^{2l} P_{2l}(\cos \theta) \Big\}, \quad r < a, \\
& \frac{2MG}{a} \sum_{l=0}^{\infty} \frac{(-)^l}{2l+2} \frac{(2l)!}{(2^l l!)^2} \\
& \times \left(\frac{a}{r} \right)^{2l+1} P_{2l}(\cos \theta), \quad r > a.
\end{aligned}$$

$$299. \quad u(r, \theta) = \begin{cases} \frac{Q}{a} \sum_{l=0}^{\infty} \frac{(-)^l (2l)!}{(2^l l!)^2} \left\{ \left(\frac{r}{a} \right)^{2l} \right. \\ \left. - \left(\frac{a}{b} \right)^{2l+1} \left(\frac{r}{b} \right)^{2l} \right\} P_{2l}(\cos \theta), & r < a. \\ \frac{Q}{r} \sum_{l=0}^{\infty} \frac{(-)^l (2l)!}{(2^l l!)^2} \left\{ \left(\frac{a}{r} \right)^{2l} \right. \\ \left. - \left(\frac{a}{b} \right)^{2l} \left(\frac{r}{b} \right)^{2l+1} \right\} P_{2l}(\cos \theta), & r > a. \end{cases}$$

$$\begin{aligned}
300. \quad (1) \quad & \frac{2}{3} \sqrt{\pi} Y_{00}(\theta, \varphi) - \frac{2}{3} \sqrt{\frac{\pi}{5}} \times Y_{20}(\theta, \varphi) \\
& + \sqrt{\frac{2\pi}{15}} [Y_{22}(\theta, \varphi) + Y_{2-2}(\theta, \varphi)]; \\
(2) \quad & \sqrt{\frac{2\pi}{3}} [-Y_{11}(\theta, \varphi) + Y_{1-1}(\theta, \varphi)] \\
& + \sqrt{\frac{6\pi}{5}} [-Y_{21}(\theta, \varphi) + Y_{2-1}(\theta, \varphi)].
\end{aligned}$$

301. (1) $u(r, \theta, \varphi) = A_{00} + \sum_{l=1}^{\infty} \sum_{m=-l}^l A_{lm} r^l Y_{lm}(\theta, \varphi)$,
 A_{00} 任意 (这是因为 $u(r, \theta, \varphi)$ 的基准值可以任意选取), 且

$$A_{lm} = \frac{1}{l! a^{l+1}} \int_0^{2\pi} d\varphi \int_0^\pi f(\theta, \varphi) Y_{lm}^*(\theta, \varphi) \sin\theta d\theta;$$

$$(2) u(r, \theta, \varphi) = A_{00} + \sum_{l=0}^{\infty} \sum_{m=-l}^l B_{lm} r^{-l-1} Y_{lm}(\theta, \varphi),$$

A_{00} 任意, 且

$$B_{lm} = -\frac{a^{l+2}}{l+1} \int_0^{2\pi} d\varphi \int_0^\pi f(\theta, \varphi) Y_{lm}^*(\theta, \varphi) \sin\theta d\theta.$$

$$\begin{aligned} 302. (1) u(r, \theta, \varphi) &= \frac{r}{a} P_1^1(\cos\theta) \cos\varphi \\ &= \frac{r}{a} \sin\theta \cos\varphi; \end{aligned}$$

$$\begin{aligned} (2) u(r, \theta, \varphi) &= \frac{1}{3} \left(\frac{r}{a}\right)^2 P_2^1(\cos\theta) \cos\varphi \\ &= \left(\frac{r}{a}\right)^2 \cos\theta \sin\theta \cos\varphi. \end{aligned}$$

$$\begin{aligned} 303. u(r, \theta, \varphi) &= \frac{1}{6} A(r^2 - a^2) \\ &\quad + \frac{1}{21} Br^2(r^2 - a^2) P_2^1(\cos\theta) \cos\varphi \\ &= \frac{1}{6} A(r^2 - a^2) \\ &\quad + \frac{1}{14} Br^2(r^2 - a^2) \sin 2\theta \cos\varphi. \end{aligned}$$

习 题 十 六

$$304. -\frac{2}{\pi x} \sin \nu \pi, \quad \frac{2}{\pi x}.$$

$$305. (1) -\frac{\pi}{2 \sin \nu \pi} \cdot \frac{J_{-\nu}(x)}{J_{\nu}(x)} + C = \frac{\pi}{2} \frac{Y_{\nu}(x)}{J_{\nu}(x)} + C';$$

$$(2) -\frac{\pi}{2} \frac{J_{\nu}(x)}{Y_{\nu}(x)} + C; \quad (3) \frac{\pi}{2} \ln \frac{Y_{\nu}(x)}{J_{\nu}(x)} + C;$$

$$(4) \frac{\pi}{2} \lg^{-1} \frac{Y_{\nu}(x)}{J_{\nu}(x)} + C.$$

$$307. (1) u(z) = C_1 z^{\frac{1}{2}} J_{\frac{1}{b+2}} \left(\frac{2\sqrt{a}}{b+2} z^{\frac{b+2}{2}} \right)$$

$$+ C_2 z^{\frac{1}{2}} Y_{\frac{1}{b+2}} \left(\frac{2\sqrt{a}}{b+2} z^{\frac{b+2}{2}} \right);$$

$$(2) u(z) = C_1 z^{\frac{3}{2}} J_{5/4}(z^2) + C_2 z^{-\frac{3}{2}} Y_{5/4}(z^2);$$

$$(3) u(z) = C_1 z^2 J_2(z) + C_2 z^2 Y_2(z);$$

$$(4) u(z) = C_1 z J_{1/2}(z^2) + C_2 z Y_{1/2}(z^2);$$

$$(5) u(z) = C_1 J_{1/2}(iz) + C_2 Y_{1/2}(iz)$$

$$= C'_1 I_{1/2}(z) + C'_2 K_{1/2}(z);$$

$$(6) u(z) = C_1 z I_1(z) + C_2 z K_1(z);$$

$$(7) u(z) = C_1 z^{1/2} I_{1/2} \left(\frac{1}{2} z^2 \right)$$

$$+ C_2 z^{\frac{1}{2}} K_{\frac{1}{2}} \left(\frac{1}{2} z^2 \right);$$

$$(8) \quad \theta(t) = \frac{\pi}{2} \theta_0 \sqrt{\frac{a}{a+bt}} \left[A J_1 \left(\frac{2}{b} \sqrt{g(a+bt)} \right) + B Y_1 \left(\frac{2}{b} \sqrt{g(a+bt)} \right) \right],$$

$$A = -Y_1 \left(\frac{2}{b} \sqrt{ga} \right) + \frac{2}{b} \sqrt{ga} Y_1' \left(\frac{2}{b} \sqrt{ga} \right),$$

$$B = J_1 \left(\frac{2}{b} \sqrt{ga} \right) - \frac{2}{b} \sqrt{ga} J_1' \left(\frac{2}{b} \sqrt{ga} \right).$$

$$309. \quad \cos(x \sin \theta) = J_0(x) + 2 \sum_{n=1}^{\infty} J_{2n}(x) \cos 2n\theta;$$

$$\sin(x \sin \theta) = 2 \sum_{n=0}^{\infty} J_{2n+1}(x) \sin(2n+1)\theta.$$

$$310. \quad \sqrt{\pi^2 - x^2} = \frac{1}{4} \pi^2 + \sum_{n=1}^{\infty} \frac{\pi}{n} J_1(n\pi) \cos nx.$$

$$312. \quad \frac{1}{2} [J_n'(\mu_i)]^2.$$

$$313. \quad \frac{1}{2} \left(1 - \frac{n^2}{\mu_i^2} \right) J_n^2(\mu_i).$$

$$315. \quad (1) \frac{1}{2^n n!} - \frac{1}{x^n} J_n(x); \quad (2) a^3 J_1(a) - 2a^2 J_2(a);$$

$$(3) \frac{1}{a} e^{-\frac{b}{4a}}; \quad (4) 2 \sin \frac{t}{2}.$$

$$321. \quad u(r, t) = \frac{u_0}{2} - 4u_0 \sum_{i=1}^{\infty} \frac{J_0\left(\frac{\mu_i}{a} r\right)}{\mu_i^2 J_0(\mu_i)} e^{-(\frac{\mu_i}{a})^2 \pi t}, \quad \text{其中}$$

μ_i 是 $J_1(x)$ 的零点, $i = 0, 1, 2, \dots$, 且 $\mu_{i+1} > \mu_i > \dots > \mu_0 = 0$.

显然, 当 $t \rightarrow \infty$ 时, $u(r, t) \rightarrow \frac{u_0}{2}$.

$$322. \quad u(r, t) = 8H \sum_{i=1}^{\infty} \left(\frac{1}{\mu_i} \right)^3 \frac{J_0\left(\frac{\mu_i}{R}r\right)}{J_1(\mu_i)} \cos \frac{\mu_i}{R} at, \mu_i \text{ 是 } J_0(x)$$

的第 i 个正零点, $i = 1, 2, 3, \dots$.

$$323. \quad u(r, \theta, t) = 4u_0 \sum_{i=1}^{\infty} \frac{1}{\mu_i^4} \frac{4 - (\mu_i^2 + 4)J_0(\mu_i)}{J_0^2(\mu_i)} \\ \times J_2\left(\frac{\mu_i}{a}r\right) \sin 2\theta e^{-(\frac{\mu_i}{a})^2 \pi t},$$

μ_i 是 $J_2(x)$ 的第 i 个正零点, $i = 1, 2, 3, \dots$.

$$324. \quad u(r, z, t) = \sum_{i=1}^{\infty} B_i J_0(\mu_i r) \sin n z e^{-(\mu_i^2 + n^2) \pi t},$$

$$B_i = \frac{2}{J_1^2(\mu_i)} \int_0^1 f(r) J_0(\mu_i r) r dr,$$

μ_i 是 $J_0(x)$ 的第 i 个正零点.

$$325. \quad u(r, t) = \pi u_0 \sum_{i=1}^{\infty} \frac{J_0(\mu_i b)}{J_0(\mu_i a) + J_0(\mu_i b)} [J_0(\mu_i r) Y_0(\mu_i a) \\ - J_0(\mu_i a) Y_0(\mu_i r)] e^{-\frac{\mu_i^2}{2} \pi t}, \mu_i \text{ 是超越方程 } J_0(\mu a) Y_0(\mu b) \\ - J_0(\mu b) Y_0(\mu a) = 0 \text{ 的第 } i \text{ 个正根.}$$

$$326. \quad (1) \quad u(r, t) = 2A \sum_{i=1}^{\infty} \frac{J_0\left(\frac{\mu_i}{R}r\right)}{\left[\left(\frac{\mu_i}{R}a\right)^2 - \omega^2\right] \mu_i J_1(\mu_i)} \\ \times \left[\sin \omega t - \frac{R\omega}{\mu_i a} \sin \frac{\mu_i}{R} at \right],$$

μ_i 是 $J_0(x)$ 的第 i 个正零点. 当 ω 正好是圆膜的某一本征频率 (例如, $\omega = \frac{\mu_i}{R}a$) 时, 可用洛必达法则求其极限值,

$$u(r, t) = -\frac{AR}{a} \frac{J_0\left(\frac{\mu_j}{R}r\right)}{\mu_j^2 J_1(\mu_j)} \left(t \cos \frac{\mu_j}{R} at - \frac{R}{\mu_j a} \sin \frac{\mu_j}{R} at \right) \\ + \frac{2AR^2}{a^2} \sum_{i=1}^{\infty}{}' \frac{1}{\mu_i^2(\mu_i^2 - \mu_j^2)} \frac{J_0\left(\frac{\mu_i}{R}r\right)}{J_1(\mu_i)} \\ \times \left(\mu_i \sin \frac{\mu_i}{R} at - \mu_j \sin \frac{\mu_j}{R} at \right),$$

其中 Σ' 表示和式中不含 $i=j$ 项;

$$(2) \quad u(r, t) = 8A \sum_{i=1}^{\infty} \frac{1}{\left(\frac{\mu_i}{R}a\right)^2 - \omega^2} \frac{J_0\left(\frac{\mu_i}{R}r\right)}{\mu_i^4 J_1(\mu_i)}$$

$\times \left(\mu_i \sin \omega t - \frac{\omega R}{a} \sin \frac{\mu_i}{R} at \right)$, μ_i 是 $J_0(x)$ 的第 i 个正零点. 而

若 ω 正好是圆膜的某一本征频率 (例如, $\omega = \frac{\mu_j}{R}a$) 时, 则有

$$u(r, t) = -\frac{4AR^2}{a^2} \frac{J_0\left(\frac{\mu_j}{R}r\right)}{\mu_j^5 J_1(\mu_j)} \left(\frac{\mu_j}{R} at \cos \frac{\mu_j}{R} at - \sin \frac{\mu_j}{R} at \right) \\ + \frac{8AR^2}{a^2} \sum_{i=1}^{\infty}{}' \frac{1}{\mu_i^4(\mu_i^2 - \mu_j^2)} \frac{J_0\left(\frac{\mu_i}{R}r\right)}{J_1(\mu_i)} \\ \times \left(\mu_i \sin \frac{\mu_i}{R} at - \mu_j \sin \frac{\mu_j}{R} at \right),$$

其中 Σ' 表示和式中不含 $i=j$ 项.

327. 临界半径 $a_c = 2.405 \sqrt{\frac{D}{\beta}}$.

$$328. \quad u(x, t) = \sum_{i=1}^{\infty} \left(A_i \cos \sqrt{\frac{g}{4l}} \mu_i^2 - \omega^2 t \right. \\ \left. + B_i \sin \sqrt{\frac{g}{4l}} \mu_i^2 - \omega^2 t \right) J_0 \left(\mu_i \sqrt{\frac{x}{l}} \right),$$

μ_i 是 $J_0(x)$ 的第 i 个正零点,

$$A_i = \frac{1}{l J_1^2(\mu_i)} \int_0^l \varphi(x) J_0 \left(\mu_i \sqrt{\frac{x}{l}} \right) dx,$$

$$B_i = \frac{1}{l \sqrt{\frac{g}{4l}} \mu_i^2 - \omega^2 J_1^2(\mu_i)} \int_0^l \psi(x) J_0 \left(\mu_i \sqrt{\frac{x}{l}} \right) dx.$$

$$329. \quad u(x, t) = x^{-\frac{m}{2}} \sum_{i=1}^{\infty} \left(A_i \cos \frac{\mu_i}{2} \sqrt{\frac{g}{(m+1)l}} t \right. \\ \left. + B_i \sin \frac{\mu_i}{2} \sqrt{\frac{g}{(m+1)l}} t \right) J_m \left(\mu_i \sqrt{\frac{x}{l}} \right),$$

μ_i 是 $J_m(x)$ 的第 i 个正零点,

$$A_i = \frac{1}{l J_{m+1}^2(\mu_i)} \int_0^1 x^{\frac{m}{2}} \varphi(x) J_m \left(\mu_i \sqrt{\frac{x}{l}} \right) dx,$$

$$B_i = \frac{1}{l J_{m+1}^2(\mu_i)} \frac{2}{\mu_i} \sqrt{\frac{(m+1)l}{g}} \int_0^1 x^{\frac{m}{2}} \psi(x) J_m \left(\mu_i \sqrt{\frac{x}{l}} \right) dx.$$

$$332. \quad u(x, t) = 2u_0 \sum_{n=1}^{\infty} (-)^{n+1} j_0 \left(\frac{n\pi}{a} r \right) e^{-\left(\frac{n\pi}{a}\right)^2 x t}$$

$$= \frac{2u_0 a}{\pi r} \sum_{n=1}^{\infty} \frac{(-)^{n+1}}{n} \sin \frac{n\pi}{a} r e^{-\left(\frac{n\pi}{a}\right)^2 x t}.$$

$$333. \quad \text{临界半径 } a_c = \pi \sqrt{\frac{D}{\beta}}$$

$$336. u(r, z) = u_0 \frac{I_0\left(\frac{2\pi}{h} r\right)}{I_0\left(\frac{2\pi}{h} a\right)} \sin \frac{2\pi}{h} z.$$

习 题 十 七

$$340. (1) G(r, r') = \frac{1}{|r - r'|} - \frac{a}{r'} \frac{1}{\left|r - \left(\frac{a}{r'}\right)^2 r'\right|},$$

(2) 为了简单起见, 我们取点电荷所在的方向为 z 轴方向. 这时, 球面上感应电荷密度为

$$\sigma(\theta, \varphi) = \frac{1}{4\pi} \frac{\partial G}{\partial r} \Big|_{r=a} = -\frac{1}{4\pi a^2} \frac{1 - \left(\frac{r'}{a}\right)^2}{\left[1 + \left(\frac{r'}{a}\right)^2 - 2\frac{r'}{a} \cos \theta\right]^{3/2}};$$

(3) 感应电荷在球内一点 $r(r, \theta, \varphi)$ 处的电势为

$$\iint \frac{\sigma(\theta_0, \varphi_0) a^2 \sin \theta_0 d\theta_0 d\varphi_0}{\sqrt{a^2 + r^2 - 2ar \cos \gamma}},$$

$$\cos \gamma = \cos \theta \cos \theta_0 + \sin \theta \sin \theta_0 \cos(\varphi - \varphi_0).$$

将 $(a^2 + r^2 - 2ar \cos \gamma)^{-1/2}$ 展开, 逐项积分后再求和, 即可得到感应电荷在 $r(r, \theta, \varphi)$ 点的电势, 它正好就是

$$-\frac{a}{r'} \frac{1}{\left|r - \left(\frac{a}{r'}\right)^2 r'\right|}.$$

积分时用到第 283 题的结果.

$$342. G(r, r') = \frac{e^{ik|r-r'|}}{|r-r'|}.$$

$$343. G(x, t; x_0, t_0) = \frac{I}{2\rho a} \eta\left(t - t_0 - \frac{|x - x_0|}{a}\right), \text{ 其中,}$$

$$\eta(t) = \begin{cases} 0, & t < 0, \\ 1, & t > 0. \end{cases}$$

$$344. G(x, t; x_0, t_0) = \frac{2I}{\rho \pi a} \sum_{n=1}^{\infty} \frac{1}{n} \sin \frac{n\pi}{l} x_0 \sin \frac{n\pi}{l} x \\ \times \sin \frac{n\pi}{l} a(t - t_0) \eta(t - t_0).$$

$$345. G(x, t; x_0, t_0) = \frac{1}{2\sqrt{\pi \kappa(t - t_0)}} e^{-\frac{(x - x_0)^2}{4\kappa(t - t_0)}} \\ \times \eta(t - t_0).$$

$$347. u(x, t) = \frac{1}{2} [\varphi(x + at) + \varphi(x - at)] \\ + \frac{1}{2a} \int_{x-at}^{x+at} \psi(\xi) d\xi.$$

$$348. u(x, t) = \frac{2hl^2}{\pi^2 c(l - c)} \sum_{n=1}^{\infty} \frac{1}{n^2} \sin \frac{n\pi}{l} c \sin \frac{n\pi}{l} x \\ \times \cos \frac{n\pi}{l} at.$$

$$349. u(x, t) = \frac{1}{2\sqrt{\pi \kappa t}} \int_{-\infty}^{\infty} \varphi(x') e^{-\frac{(x - x')^2}{4\kappa t}} dx'.$$

350. 对于波动方程,

$$G(\mathbf{r}, t; \mathbf{r}', t) = \frac{\delta\left(\frac{|\mathbf{r} - \mathbf{r}'|}{a} - t + t'\right)}{|\mathbf{r} - \mathbf{r}'|};$$

对于热传导方程,

$$C(r, t; r', t') = \frac{1}{8[\pi\kappa(t-t_0)]^{3/2}} e^{-\frac{|r-r'|^2}{4\kappa(t-t')}} \eta(t-t').$$

习 题 十 八

$$351. \quad U(x, p) = \frac{u_0}{p} e^{-\sqrt{\frac{p}{\kappa}} x}, u(x, t) = u_0 \operatorname{erfc} \frac{x}{2\sqrt{\kappa t}}.$$

$$353. \quad U(x, p) = \begin{cases} \frac{u_0}{2p} e^{\sqrt{\frac{p}{\kappa}} x}, & x < 0, \\ \frac{u_0}{p} - \frac{u_0}{2p} e^{-\sqrt{\frac{p}{\kappa}} x}, & x > 0; \end{cases}$$

$$u(x, t) = \begin{cases} \frac{u_0}{2} \operatorname{erfc} \left(-\frac{x}{2\sqrt{\kappa t}} \right), & x < 0, \\ u_0 - \frac{u_0}{2} \operatorname{erfc} \left(\frac{x}{2\sqrt{\kappa t}} \right), & x > 0. \end{cases}$$

$$354. \quad U(x, p) = \frac{A}{p + \alpha^2 \kappa} \frac{\operatorname{sh} \sqrt{\frac{p}{\kappa}} (l-x)}{\operatorname{sh} \sqrt{\frac{p}{\kappa}} l} + \frac{B}{p + \beta^2 \kappa} \frac{\operatorname{sh} \sqrt{\frac{p}{\kappa}} x}{\operatorname{sh} \sqrt{\frac{p}{\kappa}} l},$$

$$\begin{aligned} u(x, t) = & A \frac{\sin \alpha(l-x)}{\sin \alpha l} e^{-\alpha^2 \kappa t} + B \frac{\sin \beta x}{\sin \beta l} e^{-\beta^2 \kappa t} \\ & + \sum_{n=1}^{\infty} 2n\pi \left[\frac{A}{(\alpha l)^2 - (n\pi)^2} - \frac{(-)^n B}{(\beta l)^2 - (n\pi)^2} \right] \\ & \times \sin \frac{n\pi}{l} x e^{-\left(\frac{n\pi}{l}\right)^2 \kappa t}. \end{aligned}$$

$$355. \quad u(x, t) = \frac{u_0 a}{2\sqrt{\pi}} \int_{-\infty}^{\infty} e^{-\left(\frac{ka}{2}\right)^2} \cos kct e^{ikx} dk.$$

$$= \frac{u_0}{2} \left[e^{-\left(\frac{x+ct}{a}\right)^2} + e^{-\left(\frac{x-ct}{a}\right)^2} \right].$$

$$\begin{aligned} 356. \quad u(x, t) = & \frac{1}{2} [\varphi(x+at) + \varphi(x-at)] \\ & + \frac{1}{2a} \int_{x-at}^{x+at} \psi(\xi) d\xi. \end{aligned}$$

$$357. \quad u(x, t) = A \sin\left(t - \frac{x}{a}\right) \eta\left(t - \frac{x}{a}\right).$$

$$358. \quad u(r, z) = \frac{2V_0}{\pi} \int_0^\infty \frac{I_0(kr)}{I_0(ka)} \frac{\sin kz}{k} dk.$$

$$359. \quad u(r, z) = \frac{2V_0}{\pi} \int_0^\infty e^{-pz} J_0(rp) \frac{\sin p}{p} dp.$$

$$360. \quad (2) \quad u(\mu, \zeta) = \frac{2V_0}{\pi} \operatorname{ctg}^{-1} \zeta.$$

习 题 十 九

361. (1) 沿正实轴割开的 ζ 平面, 即 $0 < \arg \zeta < 2\pi$;
 (2) 沿正实轴割开的单位圆, 即 $|\zeta| < 1, 0 < \arg \zeta < 2\pi$;

- (3) 单位圆 $|\zeta| < 1$; (4) 圆 $\left|\zeta - \frac{1}{2}\right| < \frac{1}{2}$.

$$363. \quad W = -i \frac{z-i}{z+i}.$$

$$364. \quad W = \left(\frac{\sqrt{z}+1}{\sqrt{z}-1}\right)^2 \text{ 或 } W = -\left(\frac{\sqrt{z}-1}{\sqrt{z}+1}\right)^2$$

$$\text{或 } W = \frac{2\sqrt{z}}{1+z}.$$

$$365. W = e^{i\varphi} \frac{z^2 - a}{z^2 - a^*}, \quad \operatorname{Im} \varphi = 0, \quad \operatorname{Im} a > 0.$$

$$366. \frac{V_1}{\pi} \left[\operatorname{tg}^{-1} \frac{2\operatorname{arsin} \theta}{a^2 - r^2} + \operatorname{tg}^{-1} \frac{2\operatorname{arccos} \theta}{a^2 - r^2} \right].$$

$$367. \frac{V_0}{\pi} \left[\operatorname{tg}^{-1} \frac{a^2 + y^2 - x^2}{2xy} + \operatorname{tg}^{-1} \frac{x^2 - y^2}{2xy} \right] \\ = V_0 + \frac{V_0}{\pi} \operatorname{arg} \frac{a^2 - z^2}{z^2}, \quad z = x + iy,$$

$$368. 2\rho \ln \left| \frac{cz - a^2}{a(z - c)} \right| = \rho \ln \frac{(cx - a)^2 + c^2 y^2}{a^2 [(x - c)^2 + y^2]}.$$

$$369. u = V_0 \frac{\ln \left| \frac{z + ib}{z - ib} \right|}{\ln \frac{a}{h - b}} \\ = \frac{V_0}{2} \frac{\ln [x^2 + (y + b)^2] - \ln [x^2 + (y - b)^2]}{\ln a - \ln (h - b)},$$

$$b = \sqrt{h^2 - a^2}.$$

习 题 二 十

371. (1) 双曲型. 令 $\xi = y - 3x$, $\eta = y + x$, 则化为

$$\frac{\partial^2 u}{\partial \xi \partial \eta} - \frac{1}{2} \frac{\partial u}{\partial \eta} = 0.$$

也可令 $\alpha = y - x$, $\beta = 2x$, 而将方程化为

$$\frac{\partial^2 u}{\partial \alpha^2} - \frac{\partial^2 u}{\partial \beta^2} - \frac{\partial u}{\partial \alpha} - \frac{\partial u}{\partial \beta} = 0;$$

(2) 椭圆型. 令 $\xi = y - 2x, \eta = x$, 方程化为

$$\frac{\partial^2 u}{\partial \xi^2} + \frac{\partial^2 u}{2\eta^2} + \frac{\partial u}{\partial \eta} = 0;$$

(3) 当 $y > 0$ 时为椭圆型, 可令 $\xi = x, \eta = 2\sqrt{y}$, 方程化为

$$\frac{\partial^2 u}{\partial \xi^2} + \frac{\partial^2 u}{\partial \eta^2} = 0;$$

当 $y < 0$ 时为双曲型, 令 $\xi = x, \eta = 2\sqrt{-y}$, 则化为

$$\frac{\partial^2 u}{\partial \xi^2} - \frac{\partial^2 u}{\partial \eta^2} = 0;$$

(4) 椭圆型. 令 $\xi = \operatorname{sh}^{-1} x, \eta = \operatorname{sh}^{-1} y$, 方程化为

$$\frac{\partial^2 u}{\partial \xi^2} + \frac{\partial^2 u}{\partial \eta^2} = 0;$$

(5) 抛物型. 令 $\xi = y \sin x, \eta = y \cos x$, 方程化为

$$(\xi^2 + \eta^2) \frac{\partial^2 u}{\partial \eta^2} - \xi \frac{\partial u}{\partial \xi} + \eta \frac{\partial u}{\partial \eta} = 0.$$

372. (2) $u(x, y) = e^{-(ax-by)} v(x, y).$

373. (1) $u(x, y) = f(3x + y) + g(x - y);$

(2) $u(x, y) = f(x + y) + g(y);$

(3) $u(x, t) = f(x + (a + b)t) + g(x - (a - b)t);$

(4) $u(x, y) = f(x + y + ix) + g(x + y - ix).$

374. $u(x, y) = f(xy) \ln x + g(xy).$

375. $u(x, t) = \frac{1}{2} [\varphi(x + at) + \varphi(x - at)]$

$$+ \frac{1}{2} \frac{at}{h-x} [\varphi(x + at) - \varphi(x - at)]$$

$$+ \frac{1}{2a} \frac{1}{h-x} \int_{x-at}^{x+at} \psi(\xi)(h-\xi) d\xi.$$

$$376. u(x, t) = \varphi\left(\frac{x+at}{2}\right) + \psi\left(\frac{x-at}{2}\right) - \varphi(0).$$

习题二十一

382. 在球内

$$u(r, t) = \begin{cases} u_0, & 0 \leq t < \frac{R-r}{a}, \\ u_0 \frac{r-at}{2r}, & \frac{R-r}{a} < t < \frac{R+r}{a}, \\ 0, & t > \frac{R+r}{a}, \end{cases}$$

$$\text{在球外 } u(r, t) = \begin{cases} 0, & 0 \leq t < \frac{r-R}{a}, \\ u_0 \frac{r-at}{2r}, & \frac{r-R}{a} < t < \frac{r+R}{a}, \\ 0, & t > \frac{r+R}{a}. \end{cases}$$

$$383. (1) u(x, y, z, t) = \frac{1}{2} [\varphi(x+at) + \varphi(x-at)]$$

$$+ \frac{1}{2a} \int_{x-at}^{x+at} \psi(\xi) d\xi;$$

$$(2) \quad u(r, \theta, \varphi, t) = \begin{cases} \frac{1}{2r} [(r+at)\varphi(r+at) \\ + (r-at)\varphi(r-at)] \\ + \frac{1}{2ar} \int_{r-at}^{r+at} \xi \psi(\xi) d\xi, & r > at, \\ \frac{1}{2r} [(r+at)\varphi(r+at) \\ - (at-r)\varphi(at-r)] \\ + \frac{1}{2ar} \int_{at-r}^{at+r} \xi \psi(\xi) d\xi, & r < at. \end{cases}$$

384. $G(\rho, t; \rho', t')$

$$= \begin{cases} \frac{2}{\sqrt{(t-t')^2 - \frac{|\rho - \rho'|^2}{a^2}}}, & |\rho - \rho'| < a(t-t'), \\ 0, & |\rho - \rho'| > a(t-t'); \end{cases}$$

$$u(\rho, t) = \frac{1}{2\pi a^2} \left\{ \iint_{|\rho - \rho'| < at} \frac{\psi(\rho')}{\sqrt{t^2 - \frac{|\rho - \rho'|^2}{a^2}}} d\rho' \right. \\ \left. + \frac{\partial}{\partial t} \iint_{|\rho - \rho'| < at} \frac{\varphi(\rho')}{\sqrt{t^2 - \frac{|\rho - \rho'|^2}{a^2}}} d\rho' \right\},$$

其中 $\varphi(\rho)$ 和 $\psi(\rho)$ 分别是初位移和初速度,

$$u|_{t=0} = \varphi(\rho), \quad \frac{\partial u}{\partial t} \Big|_{t=0} = \psi(\rho).$$

$$386. \quad u(x, y) = \frac{1}{2} \varphi(xy) + \frac{y}{2} \varphi\left(\frac{x}{y}\right) + \frac{\sqrt{xy}}{4} \int_{xy}^x \xi^{-\frac{3}{2}} \\ \times \varphi(\xi) d\xi - \frac{\sqrt{xy}}{2} \int_{xy}^x \xi^{-\frac{3}{2}} \psi(\xi) d\xi.$$

387. (1) 令 $\xi = y + 2\sqrt{x}$, $\eta = y - 2\sqrt{x}$, 方程化为

$$\frac{\partial^2 u}{\partial \xi \partial \eta} - \frac{1}{2} \frac{1}{\xi - \eta} \frac{\partial u}{\partial \xi} + \frac{1}{2} \frac{1}{\xi - \eta} \frac{\partial u}{\partial \eta} = 0,$$

其黎曼函数为

$$R(\xi, \eta; \xi_0, \eta_0) = (\eta_0 - \xi)^{-\frac{1}{2}} (\eta - \xi_0)^{-\frac{1}{2}} (\eta - \xi) \\ \times F\left(\frac{1}{2}, \frac{1}{2}, 1; \tau\right),$$

其中

$$\tau = \frac{(\xi - \xi_0)(\eta - \eta_0)}{(\xi - \eta_0)(\eta - \xi_0)},$$

$F(\alpha, \beta, \gamma, z)$ 是超几何函数 (参见第194题),

$$F(\alpha, \beta, \gamma, z) = \frac{\Gamma(\gamma)}{\Gamma(\alpha)\Gamma(\beta)} \sum_{n=0}^{\infty} \frac{\Gamma(\alpha+n)\Gamma(\beta+n)}{n!\Gamma(\gamma+n)} z^n;$$

(2) 作变换 $\xi = \frac{1}{2}(y + \cos^{-1}x)$, $\eta = \frac{1}{2}(y - \cos^{-1}x)$,

$u = \frac{v}{\sqrt{1-x^2}}$, 则方程变为

$$\frac{\partial^2 v}{\partial \xi \partial \eta} - \frac{1}{4} \frac{1}{\sin^2(\xi - \eta)} v = 0,$$

相应的黎曼函数为

$$R(\xi, \eta; \xi_0, \eta_0) = F\left(\frac{1}{2}, \frac{1}{2}, 1, \frac{\sin(\xi - \xi_0)\sin(\eta - \eta_0)}{\sin(\xi - \eta)\sin(\xi_0 - \eta_0)}\right).$$

习题二十二

391. 应考虑泛函

$$\begin{aligned} J[u] &= \int_0^t (T - V) dt \\ &= \int_0^t dt \int_a^b \left[\frac{1}{2} \rho \left(\frac{\partial u}{\partial t} \right)^2 - \frac{1}{2} T \left(\frac{\partial u}{\partial x} \right)^2 \right] dx. \end{aligned}$$

393. $y = x$.

394. 极值曲线 (短程线) 为 $\varphi = \text{常数 } \varphi_1$, 即过 $A(0,0)$ 及 $B(\theta_1, \varphi_1)$ 的大圆. 若 A 点坐标不取为 $(0,0)$, 则极值曲线为

$$\varphi = \alpha + \sin^{-1} \frac{c}{\sqrt{1-c^2}} \operatorname{ctg} \theta,$$

常数 c 及 α 由端点坐标决定.

395. 应考虑泛函

$$J = \int_A^B \frac{\sqrt{dx^2 + dy^2}}{\sqrt{v_0^2 + 2g(y_1 - y)}}.$$

它取极值的必要条件 (欧勒-拉格朗日方程) 是

$$\frac{y''}{1 + y'^2} + \frac{g}{v_0^2 + 2g(y_1 - y)} = 0.$$

但由于泛函表达式中被积函数不显含 x , 根据第 392 题, 必要条件可以写成一阶微分方程

$$\frac{1}{\sqrt{v_0^2 + 2g(y_1 - y)}} \frac{y'^2}{\sqrt{1 + y'^2}} - \frac{\sqrt{1 + y'^2}}{\sqrt{v_0^2 + 2g(y_1 - y)}} = C,$$

即

$$\frac{1}{\sqrt{1+y'^2}} = -C\sqrt{v_0^2 + 2g(y_1 - y)}.$$

397. $y''y - (1 + y'^2) = 0$ 或 $\frac{y}{\sqrt{1+y'^2}} = C.$

398. 相应的泛函极值问题是条件极值问题

$$J[u] = \iiint_V (\nabla u)^2 d\tau + \frac{\alpha}{\beta} \iint_{\Sigma} u^2 d\sigma,$$

$$\left(\alpha u + \beta \frac{\partial u}{\partial n} \right)_\Sigma = 0,$$

$$\iiint_V u^2 d\tau = 1.$$

399. 若取逼近函数为 $C_1 \sin \pi x + C_2 \sin 2\pi x$, 则最低的本征频率近似值为 $2.559\sqrt{T}$; 若取逼近函数为 $x(1-x)(C_1 + C_2 x)$, 则为 $2.576\sqrt{T}$.

400. (1) $\lambda_1 = 2.5$, $\lambda_2 = 10.5$;

(2) $\lambda = 14 \mp \sqrt{133} = 2.467, 25.533$.

这两种试探函数得到的 λ_1 是相近的, 但 λ_2 相差甚远. 事实上, 这个问题的精确解是

$$\lambda_n = \left(\frac{1}{2} n\pi \right)^2, \quad y_n = \sin \frac{n\pi}{2} (1+x), \quad n=1, 2, 3, \dots$$

当 $n = \text{奇数}$ 时, y_n 为偶函数; 当 $n = \text{偶数}$ 时, y_n 为奇函数. 因此, 当采用第二种形式的试探解时, 求得的应是 $n=1$ 与 $n=3$ 时 λ_n 的近似值.

第三部分 附 录

一 拉普拉斯变换表

| 编 号 | 原函数 $f(t)$ | 像函数 $F(p)$ |
|-----|---|---|
| 1 | 1 | $\frac{1}{p}$ |
| 2 | $t^n, n = 0, 1, 2, \dots$ | $\frac{n!}{p^{n+1}}$ |
| 3 | $t^\alpha, \operatorname{Re} \alpha > -1$ | $\frac{\Gamma(\alpha+1)}{p^{\alpha+1}}$ |
| 4 | e^{-at} | $\frac{1}{p-a}$ |
| 5 | $\sin \omega t$ | $\frac{\omega}{p^2 + \omega^2}$ |
| 6 | $\cos \omega t$ | $\frac{p}{p^2 + \omega^2}$ |
| 7 | $\sinh \omega t$ | $\frac{\omega}{p^2 - \omega^2}$ |
| 8 | $\cosh \omega t$ | $\frac{p}{p^2 - \omega^2}$ |
| 9 | $\frac{1}{2\omega^3}(\sin \omega t - \omega t \cos \omega t)$ | $\frac{1}{(p^2 + \omega^2)^2}$ |

| 编 号 | 原函数 $f(t)$ | 像函数 $F(p)$ |
|-----|---|---|
| 10 | $\frac{t}{2\omega} \sin \omega t$ | $\frac{p}{(p^2 + \omega^2)^2}$ |
| 11 | $\frac{1}{2\omega} (\sin \omega t + \omega t \cos \omega t)$ | $\frac{p^2}{(p^2 + \omega^2)^2}$ |
| 12 | $t \cos \omega t$ | $\frac{p^2 - \omega^2}{(p^2 + \omega^2)^2}$ |
| 13 | $e^{-at} \sin \omega t$ | $\frac{\omega}{(p+a)^2 + \omega^2}$ |
| 14 | $e^{-at} \cos \omega t$ | $\frac{p+a}{(p+a)^2 + \omega^2}$ |
| 15 | $e^{-at} t^a, \operatorname{Re} a > -1$ | $\frac{\Gamma(a+1)}{(p+a)^{a+1}}$ |
| 16 | $\frac{1}{2\omega^3} (\operatorname{sh} \omega t - \sin \omega t)$ | $\frac{1}{p^4 - \omega^4}$ |
| 17 | $\frac{1}{2\omega^2} (\operatorname{ch} \omega t - \cos \omega t)$ | $\frac{p}{p^4 - \omega^4}$ |
| 18 | $\frac{1}{2\omega} (\operatorname{sh} \omega t + \sin \omega t)$ | $\frac{p^2}{p^4 - \omega^4}$ |
| 19 | $\frac{1}{2} (\operatorname{ch} \omega t + \cos \omega t)$ | $\frac{p^3}{p^4 - \omega^4}$ |
| 20 | $\frac{1}{2\omega^2} \operatorname{sh} \omega t \sin \omega t$ | $\frac{p}{p^4 + 4\omega^4}$ |
| 21 | $\operatorname{ch} \omega t \sin \omega t - \operatorname{sh} \omega t \cos \omega t$ | $\frac{4\omega^3}{p^4 + 4\omega^4}$ |

| 编 号 | 原函数 $f(t)$ | 像函数 $F(p)$ |
|-----|--|---|
| 22 | $\frac{1}{\sqrt{\pi t}} e^{-\frac{a^2}{4t}}$ | $\frac{1}{\sqrt{p}} e^{-a\sqrt{p}}$ |
| 23 | $\frac{1}{\sqrt{\pi t}} e^{-2a\sqrt{t}}$ | $\frac{1}{\sqrt{p}} e^{\frac{a^2}{p}} \operatorname{erfc} \frac{a}{\sqrt{p}}$ |
| 24 | $\frac{1}{\sqrt{\pi a}} \sin 2\sqrt{at}$ | $\frac{1}{p\sqrt{p}} e^{-\frac{a}{p}}$ |
| 25 | $\frac{1}{\sqrt{\pi t}} \cos 2\sqrt{at}$ | $\frac{1}{\sqrt{p}} e^{-\frac{a}{p}}$ |
| 26 | $\operatorname{erf} \sqrt{at}$ | $\frac{1}{p} \sqrt{\frac{a}{p+a}}$ |
| 27 | $\operatorname{erfc} \left(\frac{a}{2\sqrt{t}} \right)$ | $\frac{1}{p} e^{-a\sqrt{p}}$ |
| 28 | $e^t \operatorname{erfc} \sqrt{t}$ | $\frac{1}{p + \sqrt{p}}$ |
| 29 | $\frac{1}{\sqrt{\pi t}} - e^t \operatorname{erfc} \sqrt{t}$ | $\frac{1}{1 + \sqrt{p}}$ |
| 30 | $\frac{1}{\sqrt{\pi t}} e^{-at} + \sqrt{a} \operatorname{erf} \sqrt{at}$ | $\frac{\sqrt{p+a}}{p}$ |
| 31 | $J_0(t)$ | $\frac{1}{\sqrt{p^2+1}}$ |
| 32 | $J_n(t)$ | $\frac{(\sqrt{p^2+1}-p)^n}{\sqrt{p^2+1}}$ |
| 33 | $\frac{J_n(at)}{t}$ | $\frac{1}{na^n} (\sqrt{p^2+a^2}-p)^n$ |

[illegible]

| 編 号 | 原函数 $f(t)$ | 像函数 $F(p)$ |
|-----|--|--|
| 44 | $\begin{cases} \frac{t}{b}, & 0 \leq t < b \\ 2 - \frac{t}{b}, & b \leq t \leq 2b \\ 0, & t > 2b \end{cases}$ | $\frac{1}{b} \left(\frac{1 - e^{-bp}}{p} \right)^2$ |
| 45 | $\begin{cases} \sin \omega t, & 0 \leq t \leq \frac{\pi}{\omega} \\ 0, & t > \frac{\pi}{\omega} \end{cases}$ | $\frac{\omega}{p^2 + \omega^2} \left(1 + e^{-\frac{\pi p}{\omega}} \right)$ |
| 46 | $\begin{cases} 1, & 2na < t < (2n+1)a, \\ -1, & (2n+1)a < t < (2n+2)a, \\ n = 0, 1, 2, \dots \end{cases}$ | $\frac{1}{p} \operatorname{th} \frac{ap}{2}$ |
| 47 | $\frac{t}{a} - \left[\frac{t}{a} \right]$ | $\frac{1}{ap^2} - \frac{e^{-ap}}{p(1 - e^{-ap})}$ |
| 48 | $\begin{cases} \frac{t}{a} - \left[\frac{t}{a} \right], & 2na < t < (2n+1)a, \\ 2 - \frac{t}{a} + \left[\frac{t}{a} \right], & (2n+1)a < t < (2n+2)a, \\ n = 0, 1, 2, \dots \end{cases}$ | $\frac{1}{p^2} \operatorname{th} \frac{ap}{2}$ |
| 49 | $\frac{1}{2} [\sin \omega t + \sin \omega t]$ | $\frac{\omega}{(p^2 + \omega^2)(1 - e^{-\frac{\pi p}{\omega}})}$ |
| 50 | $ \sin \omega t $ | $\frac{\omega}{p^2 + \omega^2} \operatorname{cth} \frac{\pi p}{2\omega}$ |

二 傅里叶变换表

| 编 号 | 原函数 $f(x)$ | 像函数 $C(\omega)$ |
|-----|--|--|
| 1 | 1 | $\sqrt{2\pi}\delta(\omega)$ |
| 2 | $\delta(x)$ | $\frac{1}{\sqrt{2\pi}}$ |
| 3 | $\operatorname{sgn} x$ | $-i\sqrt{\frac{2}{\pi}}\frac{1}{\omega}$ |
| 4 | $\frac{1}{ x }$ | $\frac{1}{ \omega }$ |
| 5 | $\frac{1}{ x ^{1-a}}, 0 < \operatorname{Re} a < 1$ | $\sqrt{\frac{1}{2\pi}} \frac{\Gamma(a) \cos \frac{a}{2}\pi}{ \omega ^a}$ |
| 6 | $\frac{1}{a^2+x^2}, a > 0$ | $\sqrt{\frac{\pi}{2}} \frac{1}{a} e^{-a \omega }$ |
| 7 | $\frac{a^2-x^2}{(a^2+x^2)^2}, a > 0$ | $\sqrt{\frac{\pi}{2}} \omega e^{-a \omega }$ |
| 8 | $\sqrt{\frac{a+\sqrt{a^2+x^2}}{a^2+x^2}}, a > 0$ | $\frac{1}{\sqrt{\omega}} e^{-a\omega}$ |
| 9 | $e^{-\frac{x^2}{4a^2}}, a > 0$ | $\sqrt{2a} e^{-a^2\omega^2}$ |
| 10 | $\sin\left(\frac{x^2}{4a} - \frac{\pi}{4}\right), a > 0$ | $\sqrt{2a} \sin a\omega^2$ |
| 11 | $\cos\left(\frac{x^2}{4a} - \frac{\pi}{4}\right), a > 0$ | $\sqrt{2a} \cos a\omega^2$ |

| 编 号 | 原函数 $f(x)$ | 像函数 $C(\omega)$ |
|-----|---|---|
| 12 | $\frac{\sin \frac{\pi a}{b}}{\operatorname{ch} \frac{\pi x}{b} + \cos \frac{\pi a}{b}}, 0 < a < b$ | $\sqrt{\frac{2}{\pi}} \frac{b \operatorname{sh} a\omega}{\operatorname{sh} b\omega}$ |
| 13 | $\frac{\operatorname{sh} \frac{\pi x}{b}}{\operatorname{ch} \frac{\pi x}{b} + \cos \frac{\pi a}{b}}, 0 < a < b$ | $-i \sqrt{\frac{2}{\pi}} \frac{b \operatorname{ch} a\omega}{\operatorname{sh} b\omega}$ |
| 14 | $\begin{cases} 1, & x < a, \\ 0, & x > a \end{cases}$ | $\sqrt{\frac{2}{\pi}} \frac{\sin a\omega}{\omega}$ |
| 15 | $\frac{e^{\pi x}}{(1 + e^{\pi x})^2}$ | $\sqrt{\frac{\pi^3}{2}} \frac{\omega}{\operatorname{sh} \omega}$ |

三 Γ 函数的多项式近似

在数值计算中, Γ 函数值可用以下近似公式求得:

$$1. \Gamma(x+1) = 1 + a_1 x + a_2 x^2 + \cdots + a_5 x^5 + \varepsilon(x),$$

$$0 \leq x \leq 1, |\varepsilon(x)| \leq 5 \times 10^{-5},$$

其中

$$a_1 = -0.5748646, \quad a_2 = 0.9512363,$$

$$a_3 = -0.6998588, \quad a_4 = 0.4245549,$$

$$a_5 = -0.1010678.$$

$$2. \Gamma(x+1) = 1 + a_1 x + a_2 x^2 + \cdots + a_8 x^8 + \varepsilon(x),$$

$$0 \leq x \leq 1, |\varepsilon(x)| \leq 3 \times 10^{-7},$$

其中

$$a_1 = -0.577191652, a_2 = 0.988205891,$$

$$a_3 = -0.897056937, a_4 = 0.918206857,$$

$$a_5 = -0.756704078, a_6 = 0.482199394,$$

$$a_7 = -0.193527818, a_8 = 0.035868343.$$

反复应用递推公式 $\Gamma(x+1) = x\Gamma(x)$, 即可由以上结果推出 x 为任意实数时的 $\Gamma(x)$ 值.

四 柱函数的多项式近似

整数阶柱函数有以下近似公式:

$$\begin{aligned} 1. J_0(x) = & 1 - 2.2499997t^2 + 1.2656208t^4 \\ & - 0.3163866t^6 + 0.0444479t^8 \\ & - 0.0039444t^{10} + 0.0002100t^{12} + \varepsilon, \end{aligned}$$

$$t = \frac{x}{3}, \quad -3 \leq x \leq 3, \quad |\varepsilon| < 5 \times 10^{-8}.$$

$$\begin{aligned} 2. Y_0(x) = & \frac{2}{\pi} J_0(x) \ln \frac{x}{2} + 0.36746691 \\ & + 0.60559366t^2 - 0.74350384t^4 \\ & + 0.25300117t^6 - 0.04261214t^8 \\ & + 0.00427916t^{10} - 0.00024846t^{12} + \varepsilon, \end{aligned}$$

$$t = \frac{x}{3}, \quad 0 \leq x \leq 3, \quad |\varepsilon| < 1.4 \times 10^{-8}.$$

$$\begin{aligned} 3. J_0(x) = & x^{-\frac{1}{2}} f_0 \cos \theta_0, \quad Y_0(x) = x^{-\frac{1}{2}} f_0 \sin \theta_0, \\ f_0 = & 0.79788456 - 0.00000077t^{-1} - 0.00552740t^{-2} \end{aligned}$$

$$-0.00009512t^{-3} + 0.00137237t^{-4} - 0.00072805t^{-5} \\ + 0.00014476t^{-6} + \varepsilon,$$

$$t = \frac{x}{3}, \quad 3 \leq x < \infty, \quad |\varepsilon| < 1.6 \times 10^{-6},$$

$$\theta_0 = x - 0.78539816 - 0.04166397t^{-1} - 0.00003954t^{-2} \\ + 0.00262573t^{-3} - 0.00054125t^{-4} - 0.00029333t^{-5} \\ + 0.00013558t^{-6} + \varepsilon,$$

$$t = \frac{x}{3}, \quad 3 \leq x < \infty, \quad |\varepsilon| < 7 \times 10^{-8}.$$

$$4. \quad x^{-1}J_1(x) = \frac{1}{2} - 0.56249985t^2 + 0.21093573t^4 \\ - 0.03954289t^6 + 0.00443319t^8 \\ - 0.00031761t^{10} + 0.00001109t^{12} + \varepsilon,$$

$$t = \frac{x}{3}, \quad -3 \leq x \leq 3, \quad |\varepsilon| < 1.3 \times 10^{-8}.$$

$$5. \quad xY_1(x) = \frac{2x}{\pi}J_1(x)\ln \frac{x}{2} - 0.6366198 \\ + 0.2212091t^2 + 2.1682709t^4 \\ - 1.3164827t^6 + 0.3123951t^8 \\ - 0.0400976t^{10} + 0.0027873t^{12} + \varepsilon,$$

$$t = \frac{x}{3}, \quad 0 \leq x \leq 3, \quad |\varepsilon| < 1.1 \times 10^{-7}.$$

$$6. \quad J_1(x) = x^{-\frac{1}{2}}f_1 \cos \theta_1, \quad Y_1(x) = x^{-\frac{1}{2}}f_1 \sin \theta_1, \\ f_1 = 0.79788456 + 0.00000156t^{-1} + 0.01659667t^{-2} \\ + 0.00017105t^{-3} - 0.00249511t^{-4} + 0.00113653t^{-5} \\ - 0.00020033t^{-6} + \varepsilon,$$

$$t = \frac{x}{3}, \quad 3 \leq x < \infty, \quad |\varepsilon| < 4 \times 10^{-8},$$

$$\theta_1 = x - 2.35619449 + 0.12499612t^{-1} + 0.00005650t^{-2} \\ - 0.00637879t^{-3} + 0.00074348t^{-4} + 0.00079824t^{-5} \\ - 0.00029166t^{-6} + \varepsilon,$$

$$t = \frac{x}{3}, \quad 3 \leq x < \infty, \quad |\varepsilon| < 9 \times 10^{-6}.$$

$$7. \quad I_0(x) = 1 + 3.5156229t^2 + 3.0899424t^4 \\ + 1.2067492t^6 + 0.2659732t^8 + 0.0360768t^{10} \\ + 0.0045813t^{12} + \varepsilon,$$

$$t = \frac{x}{3.75}, \quad -3.75 \leq x \leq 3.75, \quad |\varepsilon| < 1.6 \times 10^{-7}.$$

$$8. \quad x^{\frac{1}{2}}e^{-x}I_0(x) = 0.39894228 + 0.01328592t^{-1} \\ + 0.00225319t^{-2} - 0.00157565t^{-3} \\ + 0.00916281t^{-4} - 0.02057706t^{-5} \\ + 0.02635537t^{-6} - 0.01647633t^{-7} \\ + 0.00392377t^{-8} + \varepsilon,$$

$$t = \frac{x}{3.75}, \quad 3.75 \leq x < \infty, \quad |\varepsilon| < 1.9 \times 10^{-7}.$$

$$9. \quad x^{-1}I_1(x) = \frac{1}{2} + 0.87890594t^2 + 0.51498869t^4 \\ + 0.15084934t^6 + 0.02658733t^8 \\ + 0.00301532t^{10} + 0.00032411t^{12} + \varepsilon,$$

$$t = \frac{x}{3.75}, \quad -3.75 \leq x \leq 3.75, \quad |\varepsilon| < 8 \times 10^{-9}.$$

$$10. \quad x^{\frac{1}{2}}e^{-x}I_1(x) = 0.39894228 - 0.03988024t^{-1} \\ - 0.00362018t^{-2} + 0.00163801t^{-3} \\ - 0.01031555t^{-4} + 0.02282967t^{-5} \\ - 0.02895312t^{-6} + 0.01787654t^{-7}$$

$$-0.00420059t^{-8} + \varepsilon,$$

$$t = \frac{x}{3.75}, \quad 3.75 \leq x < \infty, \quad |\varepsilon| < 2.2 \times 10^{-7}.$$

$$\begin{aligned} 11. \quad K_0(x) = & -I_0(x) \ln \frac{x}{2} - 0.57721566 \\ & + 0.42278420t^2 + 0.23069756t^4 \\ & + 0.03488590t^6 + 0.00262698t^8 \\ & + 0.00010750t^{10} + 0.00000740t^{12} + \varepsilon, \end{aligned}$$

$$t = \frac{x}{2}, \quad 0 \leq x \leq 2, \quad |\varepsilon| < 1 \times 10^{-8}.$$

$$\begin{aligned} 12. \quad x^{\frac{1}{2}} e^x K_0(x) = & 1.25331414 - 0.07832358t^{-1} \\ & + 0.02189568t^{-2} - 0.01062446t^{-3} \\ & + 0.00587872t^{-4} - 0.00251540t^{-5} \\ & + 0.00053208t^{-6} + \varepsilon, \end{aligned}$$

$$t = \frac{x}{2}, \quad 2 \leq x < \infty, \quad |\varepsilon| < 1.9 \times 10^{-7}.$$

$$\begin{aligned} 13. \quad xK_1(x) = & xI_1(x) \ln \frac{x}{2} + 1 + 0.15443144t^2 \\ & - 0.67278579t^4 - 0.18156897x^6 \\ & - 0.01919402x^8 - 0.00110404t^{10} \\ & - 0.00004686t^{12} + \varepsilon, \end{aligned}$$

$$t = \frac{x}{2}, \quad 0 \leq x \leq 2, \quad |\varepsilon| < 8 \times 10^{-9}.$$

$$\begin{aligned} 14. \quad x^{\frac{1}{2}} e^x K_1(x) = & 1.25331414 + 0.23498619t^{-1} \\ & - 0.03655620t^{-2} + 0.01504268t^{-3} \\ & - 0.00780353t^{-4} + 0.00325614t^{-5} \\ & - 0.00068245t^{-6} + \varepsilon, \end{aligned}$$

$$t = \frac{x}{2}, \quad 2 \leq x < \infty, \quad |e| < 2.2 \times 10^{-7}.$$

对于其它整数阶的柱函数，可应用递推关系化为阶数为 0 及 1 的柱函数。